

**UNIVERSIDADE ESTADUAL PAULISTA – UNESP
CÂMPUS DE JABOTICABAL**

**MODULAÇÃO DO EGFR EM COMPLEXOS CUMULUS-OÓCITOS
BOVINOS CULTIVADOS *in vitro* E SEUS EFEITOS SOBRE O
METABOLISMO, MATURAÇÃO E AQUISIÇÃO DA COMPETÊNCIA
OOCITÁRIA E A TRANSCRIÇÃO GÊNICA DAS CÉLULAS DO
CUMULUS E DOS EMBRIÕES**

**Priscila Chediek Dall' Acqua
Médica Veterinária**

2018

**UNIVERSIDADE ESTADUAL PAULISTA – UNESP
CÂMPUS DE JABOTICABAL**

**MODULAÇÃO DO EGFR EM COMPLEXOS CUMULUS-OÓCITOS
BOVINOS CULTIVADOS *in vitro* E SEUS EFEITOS SOBRE O
METABOLISMO, MATURAÇÃO E AQUISIÇÃO DA COMPETÊNCIA
OOCITÁRIA E A TRANSCRIÇÃO GÊNICA DAS CÉLULAS DO
CUMULUS E DOS EMBRIÕES**

**Discente: Priscila Chediek Dall' Acqua
Orientadora: Dra. Gisele Zoccal Mingoti**

**Tese apresentada à Faculdade de Ciências
Agrária e Veterinárias – Unesp, Câmpus de
Jaboticabal, como parte das exigências
para a obtenção do título de Doutor em
Medicina Veterinária, área de Reprodução
Animal**

2018

D144m

Dall'Acqua, Priscila Chediek

Modulação do EGFR em complexos cumulus-oócitos bovinos cultivados in vitro e seus efeitos sobre o metabolismo, maturação e aquisição da competência oocitária e a transcrição gênica das células do cumulus e dos embriões / Priscila Chediek Dall'Acqua. -- Jaboticabal, 2018

135 p. : il., tabs.

Tese (doutorado) - Universidade Estadual Paulista (Unesp), Faculdade de Ciências Agrárias e Veterinárias, Jaboticabal

Orientadora: Gisele Zoccal Mingoti

1. lipídios. 2. embriologia. 3. maturação in vitro. I. Título.

Sistema de geração automática de fichas catalográficas da Unesp. Biblioteca da Faculdade de Ciências Agrárias e Veterinárias, Jaboticabal. Dados fornecidos pelo autor(a).

Essa ficha não pode ser modificada.

CERTIFICADO DE APROVAÇÃO

TÍTULO DA TESE: MODULAÇÃO DO EGFR EM COMPLEXOS CUMULUS-OÓCITOS BOVINOS CULTIVADOS *in vitro* E SEUS EFEITOS SOBRE O METABOLISMO, MATURAÇÃO E AQUISIÇÃO DA COMPETÊNCIA OOCITÁRIA E A TRANSCRIÇÃO GÊNICA DAS CÉLULAS DO CUMULUS E DOS EMBRIÕES

AUTORA: PRISCILA CHEDIEK DALL' ACQUA

ORIENTADORA: GISELE ZOCCAL MINGOTI

Aprovada como parte das exigências para obtenção do Título de Doutora em MEDICINA VETERINÁRIA, área: Reprodução Animal pela Comissão Examinadora:


Profa. Dra. GISELE ZOCCAL MINGOTI
Departamento de Apoio, Produção e Saúde Animal / FMVA/UNESP - Araçatuba


Prof. Dr. FELIPE PERECIN
Departamento de Medicina Veterinária-FZEA/USP / Pirassununga/SP


Profa. Dra. MARIA EMILIA FRANCO OLIVEIRA
Depto de Medicina Veterinária Preventiva e Reprodução Animal / FCAV / UNESP - Jaboticabal


Profa. Dra. CLAUDIA LIMA VERDE LEAL
Departamento de Medicina Veterinária-FZEA/USP / Pirassununga/SP


Profa. Dra. MARICY APARECIDO FERREIRA
Depto de Medicina Veterinária Preventiva e Reprodução Animal / FCAV / UNESP - Jaboticabal

Jaboticabal, 27 de agosto de 2018

DADOS CURRICULARES DO AUTOR

Priscila Chediek Dall'Acqua – nascida em Araraquara-SP, aos 22 dias do mês de Julho de 1989. Concluiu o ensino médio no *Collegium Sapiens*, na cidade de Araraquara-SP, em dezembro de 2006. Ingressou no curso de Graduação em Medicina Veterinária, na Universidade Estadual do Norte do Paraná – UENP, Câmpus Luiz Meneghel, na cidade de Bandeirantes-PR, em março de 2008. Concluiu o ensino superior em Medicina Veterinária em dezembro de 2012. Coursou Pós-graduação em Medicina Veterinária, nível de Mestrado e área de concentração de Reprodução Animal, na Faculdade de Ciências Agrárias e Veterinárias, da Universidade Estadual Paulista “Júlio de Mesquita Filho” – UNESP Campus de Jaboticabal-SP, de março de 2013 à fevereiro de 2015, sob orientação da Profa. Adj. Gisele Zoccal Mingoti, com bolsa da Capes. Ingressou no curso de Pós-graduação em Medicina Veterinária, nível de Doutorado e área de concentração de Reprodução Animal, na Faculdade de Ciências Agrárias e Veterinárias, da Universidade Estadual Paulista “Júlio de Mesquita Filho” – UNESP Campus de Jaboticabal-SP, em março de 2015, sob orientação da Profa. Adj. Gisele Zoccal Mingoti, obteve bolsa da Capes.

EPÍGRAFE

“Foi o tempo que dedicaste à tua
rosa que a fez tão importante”

Antoine de Saint-Exupéry

DEDICO

Dedico este trabalho à minha mãe
pelo apoio incondicional.

AGRADECIMENTOS

À professora Gisele Mingoti, pela confiança, orientação e inspiração para seguir o caminho da pesquisa e da docência.

À toda minha família pelo apoio constante. Especialmente minha mãe, meus padrinhos, minha tia Denise e meu primo-irmão Thiago.

Às minhas amigas, Giovana Nunes, Beatriz Leão, Nathália Rocha-Frigoni, Melissa Meneghel e Luana Rodrigues que acompanharam de perto e de uma forma ou de outra auxiliaram na realização deste trabalho.

Às estagiárias que acompanharam e participaram de alguma parte deste trabalho: Cíntia Rodrigues, Maria Isabela Azeredo e Luana Rillo. E à Juliana Viegas que esteve sempre torcendo por mim.

Ao funcionário Alexandre Teixeira pelo auxílio na manutenção do laboratório, por estar sempre presente, pelos pães de queijo e patês, pelo carinho e por sempre cuidar de mim e dar meninas.

Ao funcionário Adão Custódio pela atenção e por providenciar o material para a realização do experimento.

À todos que fizeram ou fazem parte do Laboratório de Fisiologia da Reprodução (#labfisiorep).

Aos meus amigos da pós-graduação Thiago Grassi, Erivelto Junior e Leandro Garcia pelo apoio e incentivo constante.

Aos amigos de sempre, Marina Cervato, Bruna Bombarda, Luciana Barrancos, Bruno Faglioni e Vitor Rossi, pelo apoio e pela amizade de longa data.

Ao professor Marcelo Nogueira e à Patrícia Fontes pela colaboração.

À professora Flávia Lopes e seus alunos pelo auxílio nas análises.

Às professoras Lindsay Gimenes e Maricy Apparício pelas contribuições no Exame Geral de Qualificação.

Aos professores Felipe Perecin, Cláudia Leal, Maricy Apparício e Maria Emília Oliveira por aceitarem participar da banca examinadora e pelas contribuições.

À Capes pela bolsa de doutorado e pela bolsa de doutorado sanduíche.

À toda a equipe do RedBiolab da Universidade de Milão, em especial ao professor Alberto Luciano e à professora Valentina Lodde por me receberem tão

bem e por estarem sempre dispostos a ensinar e compartilhar suas experiências. À Federica Franciosi pelos ensinamentos. À Laura Terzaghi pela ajuda diária nos experimentos, pelo companheirismo e pelo passeio do *canyoning*. À Cecilia Dieci por compartilhar suas experiências e pela companhia no abatedouro.

À FCAV-Unesp pela oportunidade de realizar o doutorado e à FMVA-Unesp pela disponibilização das instalações para a realização do experimento.

APOIO FINANCEIRO

O presente trabalho foi realizado com apoio da Coordenação de Aperfeiçoamento de Pessoal de Nível Superior – Brasil (CAPES) – Código de Financiamento 001.

SUMÁRIO

	Página
CERTIFICADO DA COMISSÃO DE ÉTICA NO USO DE ANIMAIS.....	iv
RESUMO.....	vi
ABSTRACT.....	vii
CAPÍTULO 1 – Considerações gerais.....	1
1 Introdução.....	1
2 Revisão de literatura.....	3
2.1 Desenvolvimento oocitário.....	3
2.2 Maturação oocitária.....	5
2.2.1 Maturação nuclear.....	5
2.2.2 Maturação citoplasmática.....	7
2.3 Papel do EGFR na maturação oocitária.....	8
2.4 Modulação do bloqueio meiótico.....	10
3 Referências.....	12
CAPÍTULO 2 – A modulação da sinalização do receptor do fator de crescimento epidermal durante a pré-maturação altera a cinética do remodelamento da cromatina e o perfil de transcritos de complexos cumulus-oócito bovinos.....	22
Resumo.....	22
1 Introdução.....	23
2 Material e métodos.....	26
2.1 Obtenção e seleção de COC.....	26
2.2 Pré-maturação e MIV.....	26
2.3 Avaliação da configuração da cromatina, sua cinética e da distribuição dos microfilamentos de actina.....	28
2.4 Quantificação do conteúdo lipídico intraoocitário.....	29
2.5 Avaliação da expansão das células do cumulus.....	29
2.6 Avaliação da funcionalidade das junções gap.....	30
2.7 Extração do RNA e transcrição reversa.....	30

2.8 Análise da expressão gênica por RT-qPCR.....	31
2.9 Análise estatística.....	34
3 Resultados.....	35
3.1 Maturação nuclear.....	35
3.2 Expansão das células do cumulus.....	38
3.3 Funcionalidade das junções <i>gap</i>	38
3.4 Distribuição dos microfilamentos.....	39
3.5 Quantificação de lipídios com Nile Red.....	40
3.6 Abundância relativa de transcritos nas células do cumulus.....	42
4 Discussão.....	50
5 Referências.....	55

CAPÍTULO 3 – Differences in embryonic gene expression and quality indicate the benefit of epidermal growth factor receptor inhibitor during prematuration to improve competence in bovine oocytes.....64

1 Title page.....	64
2 Abstract	65
3 Introduction.....	66
4 Materials and Methods.....	68
COC collection and selection.....	68
Prematuration and IVM.....	69
In vitro embryo production.....	69
Assessment of apoptosis.....	70
Quantification of intracellular lipid content.....	70
RNA extraction and messenger RNA reverse transcription.....	71
Gene expression analysis by RT-qPCR	71
Statistical analysis.....	73
5 Results.....	73
Prematuration with EGFR inhibitor do not affect oocyte competence for the production of bovine embryos.....	73
<i>Apoptosis index is decreased in blastocysts produced from oocytes prematured with EGFR inhibitor.....</i>	<i>74</i>

Intracellular lipid content is not altered in blastocysts produced from oocytes prematured with EGFR inhibitor.....	74
<i>Prematuration with EGFR alters the relative transcript abundance in blastocysts.....</i>	74
Functional analysis of differentially expressed genes.....	75
6 Discussion.....	75
7 Declaration of interest.....	80
8 Funding.....	80
9 Acknowledgements.....	80
10 References.....	80
11 Figure legends.....	89
12 Tables.....	91
13 Figures.....	97



UNIVERSIDADE ESTADUAL PAULISTA
"JÚLIO DE MESQUITA FILHO"
Câmpus de Jaboticabal



CEUA – COMISSÃO DE ÉTICA NO USO DE ANIMAIS

CERTIFICADO

Certificamos que o Protocolo nº 12354/15 do trabalho de pesquisa intitulado **“Modulação do bloqueio meiótico sob diferentes condições de transporte de complexos *Cumulus-oócitos* bovinos e seus efeitos na produção *in vitro* de embriões”**, sob a responsabilidade da Dr^a Gisele Zoccal Mingoti, está de acordo com os Princípios Éticos na Experimentação Animal adotado pelo Conselho Nacional de Controle de Experimentação Animal (CONCEA) e foi aprovado pela COMISSÃO DE ÉTICA NO USO DE ANIMAIS (CEUA), em reunião ordinária de 06 de julho de 2015.

Jaboticabal, 06 de julho de 2015.

Prof^a Dr^a Paola Castro Moraes
Coordenadora – CEUA

CEUA – COMISSÃO DE ÉTICA NO USO DE ANIMAIS

DECLARAÇÃO

Declaramos que o trabalho de pesquisa intitulado "Modulação do bloqueio meiótico sob diferentes condições de transporte de complexos *Cumulus*-oócitos bovinos e seus efeitos na produção *in vitro* de embriões", sob orientação da Prof.^a Dr.^a Gisele Zoccal Mingoti e Certificado CEUA protocolo nº 12354/15, aprovado em reunião ordinária em 06 de julho de 2015, teve o título alterado para "**Modulação do EGFR em complexos cumulus-oócitos bovinos cultivados *in vitro* e seus efeitos sobre o metabolismo, maturação e aquisição de competência oocitária e a transcrição gênica das células do cumulus e dos embriões**" aprovado em reunião ordinária de 08 de março de 2018.

Jaboticabal, 08 de março de 2018.



Prof.^a Dr.^a Fabiana Pilarski

Coordenadora – CEUA

MODULAÇÃO DO EGFR EM COMPLEXOS CUMULUS-OÓCITOS BOVINOS CULTIVADOS *IN VITRO* E SEUS EFEITOS SOBRE O METABOLISMO, MATURAÇÃO E AQUISIÇÃO DA COMPETÊNCIA OOCITÁRIA E A TRANSCRIÇÃO GÊNICA DAS CÉLULAS DO CUMULUS E DOS EMBRIÕES

RESUMO – O receptor do fator de crescimento epidermal (EGFR) está relacionado com a retomada da meiose induzida por estímulo gonadotrófico. Nós utilizamos um inibidor do EGFR (AG1478) para inibir a retomada da meiose durante a pré-maturação (PMIV). No experimento I, foi avaliada a maturação oocitária, a expansão das células do cumulus, a funcionalidade das junções *gap*, a distribuição dos microfilamentos de actina e o conteúdo lipídico em oócitos e, a expressão gênica nas células do cumulus. No experimento II, foi avaliado o desenvolvimento embrionário, a taxa de eclosão, o número total de células, a taxa de apoptose, o conteúdo lipídico e expressão gênica nos embriões. No experimento I, os COC foram PMIV por 8h em meio com 1 μ M de AG1478, inibidor do EGFR, (EGFR-PreIVM), em seguida foram MIV por 22h (EGFR-IVM); foram feitos 4 grupos controle: oócitos imaturos imediatamente após sua remoção do folículo (Control_Immat), oócitos MIV por 8h (Control_PreIVM), por 22h (Control_IVM_22h) e por 30h (Control_IVM_30h). No experimento II, os COC foram PMIV por 8h em meio com 1 μ M do inibidor do EGFR, em seguida foram MIV por 22h (EGFR-); os COC do grupo controle foram MIV por 22h (Control). Em seguida, os oócitos foram FIV e cultivados por até 9 dias. No experimento I, o grupo EGFR-PreIVM apresentou 53,1% dos oócitos em GV, com a maioria em GV1 (42,9%; $P>0,05$) ou em GV3 [28,6%, semelhante ao grupo Control_Immat ($P>0,05$) e menor que o grupo Control_PreIVM ($P<0,05$)]; após a MIV não foram encontradas diferenças ($P>0,05$) entre os grupos nas taxas de MII, mas o grupo Control_IVM_30h (9,1%) teve maiores ($P<0,05$) taxas de oócitos degenerados. A expansão das células do cumulus foi menor ($P<0,05$) no grupo EGFR-PreIVM e as junções *gap* se mantiveram funcionais ($P<0,05$). Os microfilamentos de actina não diferiram entre os grupos ($P>0,05$) e estavam em sua maioria na categoria normal. O conteúdo lipídico foi menor ($P<0,05$) no grupo EGFR-PreIVM comparado com Control_Immat, mas após a MIV foi maior ($P<0,05$) no grupo EGFR-IVM do que no Control_IVM. Diferenças na expressão dos genes de maturação oocitária, expansão das células do cumulus, metabolismo, metabolismo lipídico, qualidade e desenvolvimento embrionário, regulação epigenética, estresse do retículo endoplasmático, defesa antioxidante e apoptose foram observadas após a PMIV e; nos genes de expansão das células do cumulus, metabolismo e qualidade embrionária após a MIV. No experimento II, as taxas de blastocistos, de eclosão, o número total de células e o conteúdo lipídico não diferiram ($P>0,05$) nos embriões avaliados. A apoptose foi menor ($P<0,05$) no grupo EGFR-. Os genes *NANOG*, *RPLP0*, *H2AFZ*, *HMGCS1*, *ACSL1*, *GPAT3*, *FADS2*, *FASN*, *FDX1*, *BID*, *GPX4* e *HIF1A* foram mais expressos ($P<0,05$) no grupo EGFR-. Em conclusão o tratamento com inibidor do EGFR proporcionou bloqueio parcial da meiose com manutenção das junções *gap* funcionais, que foi relacionado com maior potencial de desenvolvimento dos oócitos, devido à redução da apoptose nos embriões e ao aumento na expressão de genes relacionados com desenvolvimento, sugerindo melhor qualidade embrionária.

Palavras-chave: conteúdo lipídico, desenvolvimento embrionário, maturação oocitária *in vitro*, sinalização do EGFR

EGFR MODULATION IN BOVINE *IN VITRO*-CULTURED CUMULUS-OOCYTE COMPLEXES AND THE EFFECTS ON OOCYTE METABOLISM, MATURATION, COMPETENCE AND GENE TRANSCRIPTION IN CUMULUS CELLS AND EMBRYOS

ABSTRACT – Epidermal growth factor receptor (EGFR) is related with meiosis resumption by gonadotropic stimulus. We used an EGFR inhibitor (AG1478) to block meiosis resumption during prematuration (PIVM). In experiment I, was evaluated oocyte maturation, cumulus cells expansion, gap junctions functionality, microfilaments distribution and lipid content in oocytes and, gene expression in cumulus cells. In experiment II, was assessed embryo development, hatching rates, total cell number, apoptosis, lipid content and gene expression in embryos. For experiment I, COC were PIVM for 8h in medium supplemented with 1 μ M of AG1478, an EGFR inhibitor, (EGFR-*_PreIVM*), followed by 22h IVM (EGFR-*_IVM*); four control groups were evaluated: immature oocytes immediately after follicle removal (Control-*_Immat*), oocytes IVM for 8h (Control-*_PreIVM*), oocytes IVM for 22h (Control-*_IVM_22h*) and oocytes IVM for 30h (Control-*_IVM_30h*). For experiment II, COC were PIVM for 8h in medium supplemented with 1 μ M of EGFR inhibitor, followed by 22h IVM (EGFR-); COC from control group were matured for 22h (Control). After that, oocytes were IVF and zygotes were cultured up to 9 days. In experiment I, EGFR-*_PreIVM* group had 53.1% of the oocytes blocked in GV, the majority in GV1 (42.9%; $P>0.05$) or in GV3 [28.6%, similar to Control-*_Immat* ($P>0.05$) and lower than Control-*_PreIVM* ($P<0.05$)]. After IVM, no differences ($P>0.05$) were found between groups in MII rates, but Control-*_IMV_30h* (9.1%) had higher ($P<0.05$) rates of degenerated oocytes. Cumulus cells expansion was lower ($P<0.05$) in EGFR-*_PreIVM* and gap junctions maintained the functionality ($P<0.05$). Actin microfilaments were mostly distributed in normal category after PIVM and after IVM, and no differences were found ($P>0.05$). Lipid content was lower ($P<0.05$) in EGFR-*_PreIVM* in comparison to Control-*_Immat*, but after IVM was higher ($P<0,05$) in EGFR-*_IVM* than Control-*_IVM*. After PIVM differences ($P>0,05$) were found in genes for oocyte maturation, cumulus cells expansion, metabolism, lipid metabolism, embryo quality, embryo development, epigenetic regulation, endoplasmic reticulum stress, antioxidant defense and apoptosis; after IVM, the differences ($P<0,05$) were in genes for cumulus cells expansion, metabolism and embryo quality. In experiment II, blastocyst, hatching rates, lipid content and cell number did not differ between treatments ($P>0.05$). Apoptosis was lower ($P<0.05$) in EGFR-. The genes *NANOG*, *RPLP0*, *H2AFZ*, *HMGCS1*, *ACSL1*, *GPAT3*, *FADS2*, *FASN*, *FDX1*, *BID*, *GPX4* and *HIF1A* were upregulated ($P<0.05$) in EGFR-. In conclusion, treatment with EGFR inhibitor lead to partial meiotic block with functional gap junctions, related to higher oocyte developmental potential, due to the lower apoptotic index and the increased expression of genes related do development, suggesting better embryo quality.

Keywords: lipid content, embryo development, oocyte in vitro maturation, EGFR signaling

CAPÍTULO 1 – Considerações gerais

1 Introdução

O processo de maturação oocitária é regulado por mecanismos endócrinos, parácrinos e autócrinos que atuam em conjunto no folículo ovariano de forma a coordenar a interação entre as células da granulosa, o oócito e as células do cumulus ao seu redor (Sun *et al.*, 2009).

O controle da maturação oocitária é mediado por segundo mensageiros, especialmente o monofosfato de adenosina cíclica (AMPc) e monofosfato de guanosina cíclica (GMPc), os quais são produzidos principalmente nas células do cumulus e transportados para o oócito através de junções *gap* (Shuhaibar *et al.*, 2015). No interior do oócito, o GMPc inibe a fosfodiesterase 3A (PDE3A), enzima que degrada o AMPc (Norris *et al.*, 2009; Vaccari *et al.*, 2009). Assim, as altas concentrações intraoocitárias de AMPc mantêm a inativação do fator promotor da maturação (MPF), mantendo o bloqueio meiótico (Dekel, 2005; Gilchrist, 2011).

Durante o bloqueio meiótico, a integridade da comunicação entre o oócito e as células somáticas adjacentes, via junções *gap*, é essencial para a aquisição da competência oocitária (Gilchrist *et al.*, 2016). No entanto, no momento em que os oócitos são recuperados de folículos antrais para serem utilizados em procedimentos de maturação *in vitro* (MIV), os mecanismos de controle da retomada da meiose, acima citados, são desequilibrados (Blondin *et al.*, 1997; Bilodeau-Goeseels, 2011). O fechamento precoce das junções *gap*, com consequente diminuição das concentrações intraoocitárias de AMPc, culminam na retomada da meiose, o que leva a uma menor eficiência de MIV quando comparada à que ocorre *in vivo* (Blondin *et al.*, 1997; Bilodeau-Goeseels, 2011). Desta forma, como a maioria dos oócitos ainda está em processo de aquisição de competência meiótica e de competência para ser adequadamente fertilizado e prosseguir o desenvolvimento embrionário, a capacidade dos oócitos MIV pode ser comprometida (Luciano *et al.*, 2018).

Com o intuito de melhorar a competência dos oócitos MIV, inibidores da meiose podem ser adicionados em uma etapa prévia à MIV, denominada pré-

maturação (Hendriksen *et al.*, 2000), visando modular, principalmente, as concentrações de AMPc (revisado por Gilchrist *et al.*, 2016). Para tanto, já foram utilizadas drogas inibidoras de fosfodiesterases (PDE), como a cilostamida, milrinona ou 3-isobutil-1-metil-xantina (IBMX), drogas ativadoras da adenilato-ciclase, como a forskolina, ou ainda drogas que aumentam o GMPc através do precursor do peptídeo natriurético do tipo C (NPPC; Melhmann, 2005; Albuz *et al.*, 2010; Franciosi *et al.*, 2014; Dieci *et al.*, 2016; Dall'Acqua *et al.*, 2017; Razza *et al.*, 2018). Porém, nenhum destes estudos demonstrou benefícios substanciais para a produção *in vitro* de embriões (PIV) com relação ao aumento da taxa de blastocistos e da qualidade dos embriões. Nesse sentido, o estudo de novas substâncias e estratégias é necessário.

A inibição do receptor do fator de crescimento epidermal (EGFR) durante o cultivo de pré-maturação pode ser uma alternativa interessante e pouco estudada em bovinos, na tentativa de melhorar o entendimento dos fatores responsáveis pela aquisição de competência oocitária e o controle da meiose, já que a via do EGFR é responsável por modular a passagem dos nucleotídeos cíclicos para o oócito por meio das junções *gap*. Assim, o bloqueio do EGFR e, conseqüentemente, da maturação nuclear, associado ao estudo da expressão gênica das células do cumulus, pode evidenciar vias de regulação envolvidas na maturação oocitária desencadeada pelo EGFR, além de proporcionar ao oócito maior tempo para o acúmulo de transcritos, com conseqüente melhoria na aquisição de competência para o desenvolvimento embrionário. Adicionalmente, o estudo da expressão gênica dos embriões derivados de oócitos pré-maturados com inibidor do EGFR poderá demonstrar se a possível melhoria da competência do oócito afeta a qualidade e o metabolismo dos embriões.

Este trabalho teve como objetivo principal avaliar os efeitos do cultivo de complexos cumulus-oócitos bovinos por 8 horas em meio contendo AG1478, um bloqueador específico do EGFR, sobre: (1) bloqueio da meiose e sua reversibilidade; (2) expressão gênica das células do cumulus; (3) competência oocitária para o subsequente desenvolvimento embrionário *in vitro*; (4) qualidade e (5) expressão gênica embrionária.

2 Revisão de literatura

2.1 Desenvolvimento oocitário

A meiose nas células germinativas femininas é iniciada durante a vida fetal, porém é bloqueada na fase de diplóteno da prófase I, que é caracterizada pela estrutura nuclear envolta por uma membrana, cuja configuração é denominada vesícula germinativa (GV; Dekel, 2005). A meiose permanece bloqueada em GV até que o folículo que contenha este oócito seja ativado e se desenvolva até se tornar dominante, anteriormente ao pico pré-ovulatório de gonadotrofinas (revisado por Conti e Franciosi, 2018). O folículo primordial ativado e seu oócito incluso crescem paralelamente, porém o oócito atinge seu tamanho máximo (aproximadamente 120 μm) quando o folículo atinge 3 mm de diâmetro (revisado por Fair, 2003), encerrando então sua fase de crescimento. A partir de então, o folículo continua seu crescimento e o oócito inicia sua fase de diferenciação. Nessa fase, a cromatina em GV sofre remodelação progressiva, que indica as fases de diferenciação do oócito (Luciano *et al.*, 2011; Lodde *et al.*, 2013). Em bovinos, as fases de GV progridem de GV0 à GV3, havendo um aumento progressivo da condensação da cromatina (Lodde *et al.*, 2007), que por sua vez estão relacionadas com alterações morfológicas nos compartimentos nuclear e citoplasmático e com a diminuição da atividade transcricional (Lodde *et al.*, 2007). A competência oocitária para o desenvolvimento embrionário subsequente pode ser relacionada com a categoria de GV (Luciano *et al.*, 2011; Lodde *et al.*, 2013), sendo que a competência para o desenvolvimento é maior nos oócitos em GV2 e GV3 (Lodde *et al.*, 2007). A capacidade dos oócitos em GV0 de retomar e completar a meiose é limitada, no entanto, a atividade transcricional é elevada nessa fase.

Embora oócitos em GV0 possuam níveis elevados de síntese de RNA mensageiro (RNAm), tem baixa capacidade de desenvolvimento, pois ainda estão acumulando moléculas necessárias para o posterior desenvolvimento (Lodde *et al.*, 2008). No entanto, a quantidade total de RNAm não difere entre as configurações de GV no oócito bovino (Labrecque *et al.*, 2015), provavelmente porque as células do cumulus transferem RNAm para os oócitos. Uma grande quantidade de RNAm é

transcrita em oócitos inclusos em folículos antrais iniciais, enquanto que alguns deles são traduzidos em proteínas durante a fase final de crescimento (Labrecque *et al.*, 2015), demonstrando uma correlação clara entre o aumento da condensação da cromatina e o silenciamento global na atividade de transcrição, possivelmente modulado pelas células do cumulus (Lodde *et al.*, 2008). Desta forma, a transcriptômica das células do cumulus pode trazer informações relevantes sobre o status metabólico em diferentes estágios de desenvolvimento oocitário (Luciano *et al.*, 2014).

Estudos recentes do transcriptoma das células do cumulus e de oócitos bovinos com diferentes padrões de condensação da cromatina (Dieci *et al.*, 2016) e oriundos de folículos de diferentes diâmetros revelaram alterações na abundância relativa de transcritos durante a foliculogênese, as quais podem ser correlacionadas com a aquisição de competência oocitária (Labrecque *et al.*, 2016). Isso sugere que possam haver alguns marcadores biológicos envolvidos na aquisição de competência oocitária, além de vias e mecanismos importantes nas células somáticas que alteram a qualidade oocitária, com potencial utilidade para decifrar os mecanismos específicos dos genes no processo de condensação progressiva da cromatina e na aquisição de competência para o desenvolvimento (Dieci *et al.*, 2016).

Assim sendo, os estudos disponíveis na literatura disponível demonstram que durante o crescimento oocitário, a atividade transcricional é intensa, mas é parcialmente interrompida com a retomada da meiose, o que compromete a aquisição de competência oocitária (Sirard, 2001). O controle do desenvolvimento oocitário até a ativação do genoma embrionário é realizado através da tradução de RNAm e não da transcrição, pois a atividade transcricional é quiescente nos oócitos que já completaram o seu crescimento (Martins e Conti, 2018). Por isso, as ações para melhorar a maturação devem ser realizadas antes da retomada da meiose (Sirard, 2001).

2.2 Maturação oocitária

A maturação do oócito depende de sua interação e desenvolvimento coordenado com as células somáticas ao seu redor (revisado por Conti e Franciosi, 2018), as quais estão conectadas entre si e com o oócito por meio de junções *gap*.

A maturação oocitária compreende alterações nucleares, citoplasmáticas e moleculares que garantem a capacidade do oócito para ser adequadamente fertilizado e prosseguir o desenvolvimento embrionário inicial (Ferreira *et al.*, 2009). Esse processo, é regulado por fatores parácrinos e hormonais que interagem por meio da comunicação entre o oócito e as células da granulosa e do cumulus ao seu redor (revisado por Conti e Franciosi, 2018).

2.2.1 Maturação nuclear

A maturação nuclear refere-se à progressão da meiose a partir da fase de diplóteno da prófase I, fase de GV, até a fase de metáfase II (MII), quando ocorre um novo bloqueio que se estende até a fertilização (Hurk e Zhao, 2005; Melhmann, 2005).

O controle da maturação oocitária é mediado pelos segundo mensageiros AMPc e GMPc, os quais são produzidos nas células do cumulus em resposta ao estímulo do hormônio folículo estimulante (FSH) e transportados para o oócito através de junções *gap* (Shuhaibar *et al.*, 2015). Embora a maior parte do AMPc no oócito seja proveniente das células do cumulus, também é produzido pelo próprio oócito em decorrência da ativação do receptor acoplado à proteína G com atividade adenilato-ciclase, estimulado pelo FSH (Gilchrist *et al.*, 2016).

No interior do oócito, altas concentrações de AMPc ativam a proteína cinase A (PKA) que por sua vez mantém a inativação do MPF que, conseqüentemente, mantém o bloqueio meiótico e a estrutura nuclear permanece em GV (Melhmann, 2005; Dekel, 2005; Gilchrist, 2011). Para que as concentrações intraocitárias de AMPc permaneçam altas, a PDE3A, enzima específica do oócito que degrada o AMPc no oócito, é inibida pelo GMPc (Norris *et al.*, 2009; Vaccari *et al.*, 2009). O

GMPc é produzido nas células do cumulus, via interação dos peptídeos natriuréticos tipo B (BNP) e tipo C (CNP) com o receptor do peptídeo natriurético do tipo 2 (NPR2; Zhang *et al.*, 2014), sendo posteriormente transferido para o oócito onde vai inibir a atividade da PDE3A (Norris *et al.*, 2009).

Para a retomada da meiose e consequente quebra da vesícula germinativa (GVBD) com progressão até MII, a concentração intraoocitária de AMPc diminui, resultando em redução da atividade da PKA, desfosforilação da ciclina dependente de cinase do tipo 1 (CDK1) e ativação do MPF (Dekel, 2005; Bilodeau-Goeseels, 2011; Gilchrist, 2011; Gilchrist *et al.*, 2016). O MPF ativo fosforila tanto as proteínas que formam o envelope nuclear quanto as envolvidas na condensação da cromatina e reorganização do citoesqueleto. Desta forma, a meiose é retomada e progride até a fase de MII, sendo então concluída a maturação nuclear (Hurk e Zhao, 2005).

In vivo, a retomada da meiose é desencadeada a partir do estímulo do hormônio luteinizante (LH) que ocorre antes da ovulação. A ativação dos receptores de LH localizados nas células da granulosa murais induz à produção de fatores de crescimento semelhantes ao fator de crescimento epidermal (EGF-like), os quais ativam o EGFR (Park *et al.*, 2004). Consequentemente, há ativação da via das proteínas cinases ativadas por mitógenos (MAPK), ocorre a fosforilação da conexina 43 e o fechamento das junções *gap* (Norris *et al.*, 2008), culminando em GVBD e expansão das células do cumulus (Reizel *et al.*, 2010; Park *et al.*, 2004; Jamnongjit *et al.*, 2005).

Paralelamente à todas essas alterações, a expressão de NPR2 é também reduzida, assim como a produção dos peptídeos natriuréticos nas células do cumulus. Consequentemente, a transferência de GMPc para o oócito é interrompida, provocando um rápido decréscimo dos níveis de GMPc que culminam com a retomada da meiose (Norris *et al.*, 2009; Norris *et al.*, 2010; Zhang *et al.*, 2014).

Na situação *in vitro*, a retomada da meiose não ocorre pela ativação por LH, mas espontaneamente em decorrência da remoção do oócito do ambiente folicular e subsequente cultivo *in vitro* em meio e condições apropriadas (Blondin *et al.*, 1997; Bilodeau-Goeseels, 2011). A maturação espontânea pode alterar a sequência fisiológica e sincronizada dos eventos nucleares, citoplasmáticos e moleculares, comprometendo a aquisição de competência oocitária. Isso porque o bloqueio meiótico imposto pelo folículo permite que o oócito adquira, durante o crescimento folicular, as diferenciações necessárias que o permitam sustentar o desenvolvimento

embrionário inicial. Por isso, o processo de aquisição da competência oocitária é finalizado somente quando os folículos antrais atingem o tamanho pré-ovulatório (revisado por Conti e Franciosi, 2018).

2.2.2 Maturação citoplasmática

Paralelamente à maturação nuclear, ocorre a maturação citoplasmática, a qual engloba alterações na disposição, morfologia e função das organelas citoplasmáticas (Hurk e Zhao, 2005; Melhmann, 2005), além do acúmulo de transcritos (Ferreira *et al.*, 2009).

A alteração na disposição das organelas ocorre de acordo com as necessidades metabólicas do oócito e é dependente do citoesqueleto, composto de microtúbulos e microfilamentos (Ferreira *et al.*, 2009). Por exemplo, as mitocôndrias são organelas responsáveis pelo fornecimento de energia através da fosforilação oxidativa (Cummins, 2004; Tarazona *et al.*, 2006; Mao *et al.*, 2014) e, durante a maturação oocitária, se movimentam para áreas de alto consumo de energia (Mao *et al.*, 2014). Dessa forma, enquanto distribuem-se na periferia de oócitos imaturos, as mitocôndrias tomam uma posição mais central e ficam agrupadas ao redor de gotas de lipídeos no oócito maduro (Stojkovic *et al.*, 2001). Esse padrão de atividade e de distribuição das mitocôndrias está relacionado com a competência oocitária (Tarazona *et al.*, 2006; Jeseta *et al.*, 2014).

O citoesqueleto também está envolvido com a maturação nuclear, participando da divisão meiótica na formação das fibras do fuso e na extrusão do corpúsculo polar (Li *et al.*, 2005). Os microfilamentos, compõem a maior parte do citoesqueleto (Kim *et al.*, 2000) e estão sempre dispostos na região cortical do oócito, formando um anel (Li *et al.*, 2005). Anormalidades na disposição cortical dos microfilamentos estão associadas com baixa competência oocitária (Somfai *et al.*, 2011) e apoptose (Roth e Hansen, 2005).

Apesar de já ser bem descrita a importância da maturação nuclear e citoplasmática para determinar o sucesso da maturação oocitária, os componentes moleculares ainda precisam ser melhor investigados para determinar, de forma mais clara, o papel de cada um dos inúmeros fatores já identificados na aquisição da

competência do oócito para o desenvolvimento embrionário (revisado por Conti e Franciosi, 2018).

2.3 Papel do EGFR na maturação oocitária

A aquisição de competência oocitária durante a foliculogênese parece estar relacionada, dentre outros fatores já descritos anteriormente, com a ativação do EGFR, um receptor transmembrana do tipo tirosina quinase (Richani e Gilchrist, 2017). Em suínos, foi verificado que o RNAm desse receptor é expresso nas células do cumulus e nas granulosa de folículos antrais pequenos (<4 mm) e médios (> 4 mm), mas a proteína é encontrada somente nos folículos antrais médios, demonstrando a ausência de resposta do receptor nos folículos menores (Ritter *et al.*, 2015; Sugimura *et al.*, 2015). Assim, ocorre uma aquisição progressiva da capacidade de ativação do EGFR de acordo com o crescimento folicular, o que coincide com a aquisição da competência oocitária (Ritter *et al.*, 2015; Sugimura *et al.*, 2015). Portanto, a capacidade das células do cumulus responderem à ativação da via do EGFR está inter-relacionada com a aquisição da competência oocitária para o desenvolvimento, mediada principalmente pelo FSH, AMPc e PKA, mas também por fatores secretados pelo oócito (Richani e Gilchrist, 2017).

A ativação do EGFR está envolvida na retomada da meiose pelo estímulo do LH, o qual se liga a receptores de membrana específicos (LHCGR) para promover suas ações, dentre elas, a retomada da meiose, a síntese de componentes da matriz extracelular pelas células do cumulus e a luteinização da células da granulosa murais; acompanhadas ainda pelas alterações na expressão de RNAm, síntese proteica e produção de hormônios (Prochazka *et al.*, 2017). Uma vez que o oócito e as células do cumulus possuem poucos ou nenhum receptor de LH, a ação do mesmo é mediada por segundo mensageiros que trafegam a partir das células da granulosa murais para o oócito através das junções *gap* (Park *et al.*, 2004; Jamnongjit *et al.*, 2005), principalmente o AMPc, que é produzido a partir da ligação do LH ao LHCGR, receptor acoplado à proteína G, com atividade adenilato-ciclase (Conti *et al.*, 2002).

O AMPc induz à produção de fatores EGF-like (epirregulina, ampirregulina e betacelulina) nas células da granulosa (Park *et al.*, 2014), os quais ativam a tirosina quinase intrínseca do receptor, promovendo a auto-fosforilação de resíduos de tirosina específicos no domínio citoplasmático. Em seguida, proteínas-alvo são fosforiladas e/ou recrutadas para a ativação de outras vias (Pangione *et al.*, 2008) que regulam a maturação oocitária, a expansão das células do cumulus e a ovulação (Park *et al.*, 2014).

Nas células da granulosa e do cumulus, as MAPK [também denominada quinases reguladoras de sinais extracelulares (ERK), que são proteínas serina/treonina quinase, com as isoformas ERK1 e ERK 2 envolvidas na meiose] necessitam de fosforilação para tornarem-se ativas (Fan e Sun, 2004), a qual é dependente da atividade contínua do EGFR (Reizel *et al.*, 2010). Porém, apesar da dependência do EGFR ativo, outros mecanismos regulam a atividade da MAPK, uma vez que o bloqueio do EGFR reduz apenas 60% da fosforilação da MAPK (Pangione *et al.*, 2008). Além disso, sua ativação ocorre ao mesmo tempo ou logo após a GVBD, demonstrando que apesar de seu papel na maturação nuclear, ela não é necessária para a ativação do MPF e pra a GVBD (Fan e Sun, 2004).

A ativação do EGFR nas células do cumulus induz a expressão de genes necessários para a expansão das células do cumulus (Prochazka *et al.*, 2012), caracterizada pela produção de uma matriz extracelular rica em proteoglicanos que é essencial para a ovulação e captura do oócito pelo infundíbulo (Sugimura *et al.*, 2015). Essa expansão leva ao fechamento das junções *gap* pela fosforilação da conexina 43, desencadeada pela MAPK (Norris *et al.*, 2008; Prochazka *et al.*, 2017). Esse mecanismo foi anteriormente confirmado pelo bloqueio do EGFR, que diminuiu a expressão de genes relacionados com a expansão das células do cumulus e a ovulação (Ashkenazi *et al.*, 2005; Park *et al.*, 2004; Reizel *et al.*, 2010).

Sabe-se que a manutenção da integridade das junções *gap* durante o bloqueio meiótico é benéfica para a aquisição de competência oocitária (Gilchrist *et al.*, 2016). Portanto, uma vez demonstrado o envolvimento do EGFR no fechamento das junções *gap*, pode-se especular que o uso de substâncias capazes de bloquear a ativação do receptor parece ser uma alternativa interessante para melhorar a competência oocitária. O bloqueio da tirosina quinase do EGFR por AG1478 impede a fosforilação do EGFR e a conseqüente maturação oocitária em cultivo de folículos ovarianos, mesmo que estimulados pelo LH (Ashkenazi *et al.*, 2005; Norris *et al.*,

2010). Esse bloqueio da meiose também ocorre no cultivo de oócitos, mesmo que estimulados com fatores EGF-like ou com o próprio LH (Park *et al.*, 2004; Reizel *et al.*, 2010).

Recentemente, foi demonstrado que a expressão do EGFR parece ser regulada pelo AMPc, uma vez que esta foi aumentada em oócitos tratados com um análogo do AMPc e um inibidor de fosfodiesterase (dbcAMP e IBMX). Além disso, foi verificado aumento da expressão de genes relacionados à expansão das células do cumulus (*HAS2*, *TNFAIP6* e *PTGS2*) que são ativados pela via do EGFR e as maiores taxas de desenvolvimento embrionário obtidas com o tratamento não foram evidenciadas quando os oócitos foram tratados com um inibidor do EGFR, o AG1478 (Sugimura *et al.*, 2018). Desta forma, o estudo da via do EGFR é fundamental no entendimento do processo de aquisição de competência oocitária. Porém, é necessário investigar o quão conservada ela é entre as espécies (Zhang *et al.*, 2014), uma vez que a maioria dos estudos foram feitos em camundongos. Além disso, é uma alternativa para melhorar os sistemas de cultivo de oócitos que foram desenvolvidos antes dos estudos que evidenciaram a importância da via do EGFR na maturação e qualidade oocitária (Richani e Gilchrist, 2017).

2.4 Modulação do bloqueio meiótico

A MIV compromete a competência oocitária em comparação com a maturação *in vivo*, possivelmente porque oócitos maturados *in vivo* são provenientes de folículos pré-ovulatórios, enquanto que a maioria dos oócitos destinados para a MIV são recuperados de folículos ainda em fase de crescimento, com diâmetro entre 2 e 8 mm (Rizos *et al.*, 2002). Os oócitos inclusos nestes folículos estão bloqueados em GV e possuem competência meiótica para atingir o estágio de MII (Gilchrist *et al.*, 2016), porém apresentam diferentes graus de condensação da cromatina e variada competência de desenvolvimento subsequente (Luciano *et al.*, 2011; Lodde *et al.*, 2013). Assim, essa heterogeneidade de oócitos, obtidos de uma população folicular heterogênea, pode ser responsável pela menor competência dos oócitos MIV.

Dessa forma, a PIV ainda não atingiu o mesmo patamar de eficiência quando comparado à produção *in vivo*, pois a maturação, qualidade e quantidade de oócitos são fatores limitantes para o sucesso de tecnologias reprodutivas (Gilchrist *et al.*, 2016). Apesar das tentativas de manipular as condições de cultivo dos complexos cumulus-oócito (COC), visando aumentar a competência oocitária, somente 32% dos oócitos maturados e fertilizados *in vitro* se desenvolvem até o estágio de blastocisto (Perry, 2018).

Portanto, na tentativa de aumentar a competência dos oócitos MIV, o controle da meiose pode ser feito através do uso de inibidores da maturação nuclear em uma etapa denominada pré-maturação, com o intuito de permitir mais tempo em cultura para que a competência oocitária seja maior ao término do processo (Hendriksen *et al.*, 2000). Essa estratégia visa manter a integridade da comunicação entre o oócito e as células do cumulus durante a pré-maturação (Gilchrist, 2011), visto que a quebra prematura da comunicação entre o oócito e as células do cumulus, quando da remoção do oócito do ambiente folicular para os procedimentos de PIV, ocasiona a condensação rápida e prematura da cromatina e interrompe a atividade transcricional, diminuindo a competência oocitária (Luciano *et al.*, 2011; Lodde *et al.*, 2013). Portanto, a manutenção da comunicação por um período maior durante o cultivo de pré-maturação permite melhor diferenciação do oócito, aumentando o potencial para o desenvolvimento embrionário (Lodde *et al.*, 2013).

O bloqueio meiótico no cultivo de pré-maturação pode ser alcançado através do uso de drogas com diversos mecanismos de ação (revisado por Melhmann, 2005): os inibidores de PDE, como a cilostamida (Albuz *et al.*, 2010; Franciosi *et al.*, 2014; Dieci *et al.*, 2016; Dall'Acqua *et al.*, 2017), milrinona (Dall'Acqua *et al.*, 2017) ou IBMX (Albuz *et al.*, 2010; Dall'Acqua *et al.*, 2017; Razza *et al.*, 2018), mantém as concentrações de AMPc elevadas por impedir a degradação do mesmo pela inativação das PDE; os ativadores da adenilato-ciclase, como a forskolina (Albuz *et al.*, 2010; Dall'Acqua *et al.*, 2017; Razza *et al.*, 2018), estimulam a síntese de AMPc; o NPPC (Franciosi *et al.*, 2014) reduz as concentrações de AMPc indiretamente, pelo aumento de GMPc que inibe a ativação das PDE; e, mais recentemente, foi proposto o uso de inibidores do EGFR que ainda foi pouco estudado em bovinos (Da Rosa *et al.*, 2017).

Apesar de estarem descritos na literatura diversos estudos que utilizaram os bloqueadores da meiose com os diferentes mecanismos de ação descritos acima,

nenhum deles demonstrou haver benefícios substanciais para a PIV em bovinos, o que nos encoraja a estudar outras substâncias que podem ser utilizadas com esse intuito e têm potencial para melhoria da competência oocitária.

3 Referências

Albuz FK, Sasseville M, Lane M, Armstrong DT, Thompson JG, Gilchrist RB (2010) Simulated physiological oocyte maturation (SPOM): a novel in vitro maturation system that substantially improves embryo yield and pregnancy outcomes. **Human Reproduction** 25:2999-3011. doi: 10.1093/humrep/deq246.

Ashkenazi H, Cao X, Motola S, Popliker M, Conti M, Tsafiri A (2005) Epidermal growth factor family members: endogenous mediators of the ovulatory response. **Endocrinology** 146:77-84. doi:0.1210/en.2004-0588.

Bilodeau-Goeseels S (2011) Cows are not mice: The role of cyclic AMP, phosphodiesterases, and adenosine monophosphate-activated protein kinase in the maintenance of meiotic arrest in bovine oocytes. **Molecular Reproduction and Development** 78:734-743. doi: 10.1002/mrd.21337.

Blondin P, Coenen K, Guilbault LA, Sirard MA (1997) In vitro production of bovine embryos: developmental competence is acquired before maturation. **Theriogenology** 47:1061-1075. doi: 10.1016/S0093-691X(97)00063-0.

Conti M, Andersen CB, Richard F, Mehats C, Chun SY, Horner K, Jin C, Tsafiri A (2002) Role of cyclic nucleotide signaling in oocyte maturation. **Molecular and Cellular Endocrinology** 187:153-159. doi: 10.1016/S0303-7207(01)00686-4.

Conti M, Franciosi F (2018) Acquisition of oocyte competence to develop as an embryo: integrated nuclear and cytoplasmic events. **Human Reproduction Update** 24:245-266. doi:10.1093/humupd/dmx040.

Cummins JM (2004) The role of mitochondria in the establishment of oocyte functional competence. **European Journal of Obstetrics & Gynecology and Reproductive Biology** 115S:S23-S29. doi: 10.1016/j.ejogrb.2004.01.011.

Dekel N (2005) Cellular, biochemical and molecular mechanism regulating oocyte maturation. **Molecular and Cellular Endocrinology** 234:19-25. doi: 10.1016/j.mce.2004.09.010.

Da Rosa PRA, De Cesaro MP, Dau AMP, Duggavathi R, Bordignon V, Gonçalves PBD (2017) Reversible meiotic arrest of bovine oocytes by EGFR inhibition and follicular hemisections. **Theriogenology** 99:53-62. doi: 10.1016/j.theriogenology.2017.05.014.

Dall'Acqua PC, Leão BCS, Rocha-Frigoni NAS, Gottardi FP, Mingoti GZ (2017) Delaying meiotic resumption during transportation of bovine cumulus-oocyte complexes: effects on development, apoptosis and caspases activity of in vitro-produced embryos. **Zygote** 25:740-450. doi: 10.1017/S0967199417000636.

Dieci C, Lodde V, Labreque R, Dufort I, Tessaro I, Sirard MA, Luciano AM (2016) Differences in cumulus cell gene expression indicate the benefit of a pre-maturation step to improve in-vitro bovine embryo production. **Molecular Human Reproduction** 22:882–897. doi: 10.1093/molehr/gaw005.

Fair T (2003). Follicular oocyte growth and acquisition of developmental competence. **Animal Reproduction Science** 78:203–216. doi:10.1016/S0378- 4320(03)00091-5.

Fan HY, Sun QY (2004) Involvement of mitogen-activated protein kinase cascade during oocyte maturation and fertilization in mammals. **Biology of Reproduction** 70:535-547. doi: 10.1095/biolreprod.103.022830.

Ferreira EM, Vireque AA, Adona PR, Meirelles FV, Ferriani RA, Navarro PAAS (2009) Cytoplasmic maturation of bovine oocytes: Structural and biochemical modifications and acquisition of developmental competence. **Theriogenology** 71:836-848. doi: 10.1016/j.theriogenology.2008.10.023.

Franciosi F, Coticchio G, Lodde V, Tessaro I, Modena SC, Fadini R, Dal Canto M, Renzini MM, Albertini DF, Luciano AM (2014) Natriuretic peptide precursor C delays meiotic resumption and sustains gap junction-mediated communication in bovine cumulus-enclosed oocytes. **Biology of Reproduction** 91:61 doi: 10.1095/biolreprod.114.118869.

Gilchrist (2011) Recent insights into oocyte-follicle cell interactions provide opportunities for the development of new approaches to in vitro maturation. **Reproduction, Fertility and Development** 23:23-31. doi: 10.1071/RD10225.

Gilchrist RB, Luciano AM, Richani D, Zeng HT, Wang X, De Vos M, Sugimura S, Smitz J, Richard FJ, Thompson JG (2016) Oocyte maturation and quality: role of cyclic nucleotides. **Reproduction** 152:R143-R157. doi: 10.1530/REP-15-0606.

Hendriksen PJM, Vos PLAM, Steenweg WNM, Bevers NM, Dieleman SJ (2000) Bovine follicular development and its effect on the in vitro competence of oocytes. **Theriogenology** 53:11-20. doi: 10.1016/S0093-691X(99)00236-8.

Hurk VDR, Zhao J (2005) Formation of mammalian oocytes and their growth, differentiation and maturation within ovarian follicles. **Theriogenology** 63:1717-1751. doi: 10.1016/j.theriogenology.2004.08.005.

Jamnongjit M, Gill A, Hammes SR (2005) Epidermal growth factor receptor signaling is required for normal ovarian steroidogenesis and oocyte maturation. **PNAS** 102:16257-16262. doi: 10.1073/pnas.0508521102.

Jeseta M, Knitlova DC, Hanzalova K, Hulinska P, Hanulakova S, Milakovic I, Nemcova L, Kanka J, Machatkova M (2014) Mitochondrial patterns in bovine oocytes with different meiotic competence related to their in vitro maturation. **Reproduction in Domestic Animals** 49:469-475. doi: 10.1111/rda.12313.

Kim N, Cho SK, Choi SH, Kim EY, Park SP, Lim JH (2000) The distribution and requirements of microtubules and microfilaments in bovine oocytes during in vitro maturation. **Zygote** 8:25-32.

Labrecque R, Lodde V, Dieci C, Tessaro I, Luciano AM, Sirard MA (2015) Chromatin remodeling and histone mRNA accumulation in bovine germinal vesicle oocytes. **Molecular Reproduction and Development** 82:450-462. doi: 10.1002/mrd.22494.

Labrecque R, Fournier E, Sirard MA (2016) Transcriptome analysis of bovine oocytes from distinct follicle sizes: Insights from correlation network analysis. **Molecular Reproduction and Development** 83:558-569. doi: 10.1002/mrd.22651

Li G, Liu Y, Bunch TD, White KL, Aston KI (2005) Asymmetric division of spindle microtubules and microfilaments during bovine meiosis from metaphase I to metaphase III. **Molecular Reproduction and Development** 71:220-226. doi: 10.1002/mrd.20255.

Lodde V, Modina S, Galbusera C, Franciosi F, Luciano AM (2007) Large-scale chromatin remodeling in germinal vesicle bovine oocytes: interplay with gap junction functionality and developmental competence. **Molecular Reproduction and Development** 74:740–749. doi: 10.1002/mrd.20639.

Lodde V, Modina S, Hyttel PM, Franciosi F, Lauria A, Luciano AM (2008) Oocyte morphology and transcriptional silencing in relation to chromatin remodeling during the final phases of bovine oocyte growth. **Molecular Reproduction and Development** 75:915-924. doi: 10.1002/mrd.20824.

Lodde V, Franciosi F, Tessaro I, Modina SC, Luciano AM (2013) Role of gap junction-mediated communication in regulating large-scale chromatin remodeling and embryonic developmental competence acquisition in fully grown bovine oocyte. **Journal of Assisted Reproduction and Genetics** 30:1219-1226. doi: 10.1007/s10815-013-0061-7.

Luciano AM, Franciosi F, Dieci C, Lodde V (2014) Changes in large-scale chromatin structure and function during oogenesis: A journey in company with follicular cells. **Animal Reproduction Science** 149:3-10. doi: 10.1016/j.anireprosci.2014.06.026.

Luciano AM, Franciosi F, Modina SC, Lodde V (2011) Gap junction-mediated communications regulate chromatin remodeling during bovine oocyte growth and differentiation through cAMP-dependent mechanism(s). **Biology of Reproduction** 85:1252-1259. doi: 10.1095/biolreprod.111.092858.

Luciano AM, Franciosi F, Barros RG, Dieci C, Lodde V (2018) The variable success of in vitro maturation: can we do better? **Animal Reproduction** 15:727-736. doi: 10.21451/1984-3143-AR2018-0021.

Mao L, Lou H, Lou Y, Wang N, Jin F (2014) Behaviour of cytoplasmic organelles and cytoskeleton during oocyte maturation. **Reproductive BioMedicine Online** 28:284-299. doi: 10.1016/j.rbmo.2013.10.016.

Mehlmann LM (2005) Stops and starts in mammalian oocytes: recent advances in understanding the regulation of meiotic arrest and oocyte maturation. **Reproduction** 130:791-799. doi: 10.1530/rep.1.00793.

Martins JPS, Conti M (2018) Profiling maternal mRNA translation during oocyte development. **Methods in Molecular Biology** 1818:43-50. doi: 10.1007/978-1-4939-8603-3_6.

Norris RP, Freudzon M, Mehlmann LM, Cowan AE, Simon AM, Paul DL, Lampe PD, Jaffe LA (2008) Luteinizing hormone causes MAP kinase-dependent phosphorylation and closure of connexin 43 gap junctions in mouse ovarian follicles: one of two paths to meiotic resumption. **Development** 135:3229-3238. doi: 10.1242/dev.025494.

Norris RP, Freudzon M, Nikolaev VO, Jaffe LA (2010) EGF receptor kinase activity is required for gap junction closure and for part of the decrease in ovarian follicle cGMP in response to luteinizing hormone. **Reproduction** 140:655-662. doi: 10.1530/REP-10-0288.

Norris RP, Ratzan WJ, Freudzon M, Mehlmann LM, Krall J, Movsesian MA, Wang H, Ke H, Nikolaev VO, Jaffe LA (2009) Cyclic GMP from the surrounding somatic cells regulates cyclic AMP and meiosis in the mouse oocyte. **Development** 136:1869-1878. doi: 10.1242/dev.035238.

Pangione S, Hsieh M, Fu M, Persani L, Conti M (2008) Luteinizing hormone signaling in preovulatory follicles involves early activation of the epidermal growth factor receptor pathway. **Molecular Endocrinology** 22:924-936. doi: 10.1210/me.2007-0246.

Park JY, Su YQ, Ariga M, Law E, Jin SL, Conti M (2004) EGF-like growth factors as mediators of LH action in the ovulatory follicle. **Science** 303:682–684. doi: 10.1126/Science.1092463.

Perry G (2018) 2016 Statistics of embryo collection and transfer in domestic farm animals. **Embryo Transfer Newsletter**. doi:10.13140/RG.2.2.24793.42087.

Prochazka R, Blaha M, Nemcova L (2012) Signaling pathways regulating FSH- and amphiregulin-induced meiotic resumption and cumulus cell expansion in the pig. **Reproduction** 144:535-546. doi: 10.1530/REP-12-0191.

Prochazka R, Blaha M, Němcová L (2017) Significance of epidermal growth factor receptor signaling for acquisition of meiotic and developmental competence in mammalian oocytes. **Biology of Reproduction** 97:537-549. doi: 10.1093/biolre/iox112.

Razza EM, Sudano MJ, Fontes PK, Franchi FF, Belaz KRA, Santos PH, Castilho ACS, Rocha DFO, Eberlin MN, Machado MF, Nogueira MF (2018) Treatment with cyclic adenosine monophosphate modulators prior to in vitro maturation alters the lipid composition and transcript profile of bovine cumulus-oocyte complexes and blastocysts. **Reproduction, Fertility and Development** Apr 23. doi: 10.1071/RD17335.

Reizel Y, Elbaz J, Dekel N (2010) Sustained activity of the EGF receptor is an absolute requisite for LH-induced oocyte maturation and cumulus expansion. **Molecular Endocrinology** 24:402-411. doi: 10.1210/me.2009-0267.

Richani D, Gilchrist, RB (2017) The epidermal growth factor network: role in oocyte growth, maturation and developmental competence. **Human Reproduction Update** 24:1-14. doi: 10.1093/humupd/dmx029.

Ritter LJ, Sugimura S, Gilchrist RB (2015) Oocyte induction of EGFR responsiveness in somatic cells is associated with the acquisition of porcine oocyte developmental competence. **Endocrinology** 156:2299-2312. doi: 10.1210/en.2014-1884.

Rizos D, Ward F, Duffy P, Boland MP, Lonergan P (2002) Consequences of bovine oocyte maturation, fertilization or early embryo development in vitro versus in vivo: Implications for blastocyst yield and blastocyst quality. **Molecular Reproduction and Development** 61:234-248. doi: 10.1002/mrd.1153.

Roth Z, Hansen PJ (2005) Disruption of nuclear maturation and rearrangement of cytoskeletal elements in bovine oocytes exposed to heat shock during maturation. **Reproduction** 129:235-244. doi: 10.1530/rep.1.00394.

Shuhaibar LC, Egbert JR, Norris RP, Lampe PD, Nikolaev VO, Thunemann M, Wen L, Feil R, Jaffe LA (2015) Intercellular signaling via cyclic GMP diffusion through gap junctions restarts meiosis in mouse ovarian follicles. **PNAS** 112:5527-5532. doi: 10.1073/pnas.1423598112.

Sirard MA (2011) Follicle environment and quality of in vitro matured oocytes. **Journal of Assisted Reproduction and Genetics** 28:483-488. doi: 10.1007/s10815-011-9554-4.

Somfai T, Kikuchi K, Kaneda M, Akagi S, Watanabe S, Mizutani E, Haraguchi S, Dang-Nguyen TQ, Inaba Y, Geshi M, Nagai T (2011) Cytoskeletal abnormalities in relation with meiotic competence and ageing in porcine and bovine oocytes during in vitro maturation. **Journal of Veterinary Medicine** 40:335-344. doi: 10.1111/j.1439-0264.2011.01079.x.

Stojkovic M, Machado SA, Stojkovic P, Zakhartchenko V, Hutzler P, Gonçalves PB, Wolf E (2001) Mitochondrial distribution and adenosine triphosphate content of bovine oocytes before and after in vitro maturation: correlation with morphological criteria and developmental capacity after in vitro fertilization and culture. **Biology of Reproduction** 64:904-909. doi: 10.1095/biolreprod64.3.904.

Sugimura S, Ritter LJ, Rose RD, Thompson JG, Smitz J, Mottershead DG, Gilchrist RB (2015) Promotion of EGF receptor signaling improves the quality of low developmental competence oocytes. **Developmental Biology** 403:139-149. doi: 10.1016/j.ydbio.2015.05.008.

Sugimura S, Yamanouchi T, Palmerini MG, Hashiyada Y, Imai K, Gilchrist RB (2018) Effect of pre-in vitro maturation with cAMP modulators on the acquisition of oocyte developmental competence in cattle. **Journal of Reproduction and Development** 64:233-241. doi: 10.1262/jrd.2018-009.

Sun QY, Miao YL, Schatten H (2009) Towards a new understanding on the regulation of mammalian oocyte meiosis resumption. **Cell Cycle** 8:17,2741-2747. doi: 10.4161/cc.8.17.9471.

Tarazona AM, Rodríguez JI, Restrepo LF, Olivera-Angel M (2006) Mitochondrial activity, distribution and segregation in bovine oocytes and in embryos produced in vitro. **Reproduction in Domestic Animals** 41:5-11. doi: 10.1111/j.1439-0531.2006.00615.x.

Vaccari S, Weeks II JL, Hsieh M, Menniti FS, Conti M (2009) Cyclic GMP signaling is involved in the luteinizing hormone-dependent meiotic maturation of mouse oocytes. **Biology of Reproduction** 81:595-604. doi: 10.1095/biolreprod.109.077768.

Zhang W, Chen Q, Yang Y, Liu W, Zhang M, Xia G, Wang C (2014) Epidermal growth factor-network signaling mediates luteinizing hormone regulation of BNP and CNP and their receptor NPR2 during porcine oocyte meiotic resumption. **Molecular Reproduction and Development** 81:1030-1041. doi: 10.1002/mrd.22424.

CAPÍTULO 2 – A modulação da sinalização do receptor do fator de crescimento epidermal durante a pré-maturação altera a cinética do remodelamento da cromatina e o perfil de transcritos de complexos cumulus-oócito bovinos

Resumo

A retomada da meiose ocorre por intermédio da ativação do receptor do fator de crescimento epidermal (EGFR), o qual é ativado por estímulo gonadotrófico. Para inibir a retomada precoce da meiose durante o cultivo de pré-maturação (PMIV), foi utilizado um inibidor do EGFR, AG1478, e foi avaliado o bloqueio e a reversibilidade da meiose, a expansão das células do cumulus, a funcionalidade das junções gap, a distribuição dos microfilamentos de actina e o conteúdo lipídico em oócitos bovinos e, a expressão gênica nas células do cumulus destes oócitos. Os COC foram PMIV por 8h em meio com 1 μ M de AG1478, (EGFR-PreIVM), em seguida foram MIV por 22h (EGFR-IVM); foram feitos 4 grupos controle: oócitos imaturos imediatamente após a remoção do folículo (Control_Immat), oócitos MIV por 8h (Control_PreIVM), oócitos MIV por 22h (Control_IVM_22h) e oócitos MIV por 30h (Control_IVM_30h). O grupo EGFR-PreIVM apresentou 42,9% dos oócitos em GV1 ($P>0,05$) e 28,6% em GV3, semelhante ao grupo Control_Immat (67,6% e 12,4%, respectivamente; $P>0,05$) e menor que o grupo Control_PreIVM (20,7% e 52,1%, respectivamente; $P<0,05$). Após a MIV os grupos não diferiram na taxa de MII ($P>0,05$), mas o grupo Control_IVM_30h (9,1%) apresentou maiores ($P<0,05$) taxas de oócitos degenerados comparado com o grupo EGFR-IVM (2,3%). O grau de expansão das células do cumulus foi menor ($P<0,05$) no grupo EGFR-PreIVM e não houve diferença ($P>0,05$) entre os grupos após a MIV. As junções gap permaneceram abertas após a PMIV no grupo EGFR-PreIVM (85,7%), não diferindo ($P<0,05$) do grupo Control_Immat (88,9%), enquanto que menores ($P<0,05$) taxas foram encontradas no grupo Control_PreIVM (35,7%). Os microfilamentos de actina estavam em sua maioria na categoria normal após a PMIV e após a MIV, sem diferença entre os grupos ($P>0,05$). O conteúdo lipídico foi menor ($P<0,05$) após a PMIV no grupo EGFR-PreIVM comparado com Control_Immat, mas após a MIV foi maior ($P<0,05$) no grupo EGFR-IVM do que no Control_IVM. Os genes de maturação oocitária, expansão das células do cumulus, metabolismo, metabolismo lipídico, qualidade embrionária, desenvolvimento embrionário, regulação epigenética, estresse do retículo endoplasmático, defesa antioxidante e apoptose foram diferencialmente expressos ($P<0,05$) após a PMIV e, os genes de expansão das células do cumulus, metabolismo e qualidade embrionária foram diferencialmente expressos ($P<0,05$) após a MIV. Em conclusão, os resultados demonstraram um retardo na progressão da meiose com manutenção das junções gap funcionais durante o cultivo de PMIV, sugerindo potencial aquisição de competência oocitária durante a PMIV com inibidor do EGFR.

1 Introdução

A biotecnologia de produção *in vitro* de embriões (PIV) na espécie bovina tem sido utilizada em larga escala tanto para finalidades comerciais como de pesquisa. Apesar disso, ainda esbarra em alguns fatores limitantes, como a qualidade e a quantidade de oócitos (Gilchrist *et al.*, 2016), que são a matéria prima para a realização da PIV. Devido a essas limitações, os resultados de PIV encontram-se estagnados há algum tempo e são raros os relatos de produção embrionária acima de 30 a 40% (Sirard, 2018). A baixa eficiência da etapa de maturação *in vitro* (MIV) pode ser atribuída, dentre outros fatores, ao uso de uma população heterogênea de oócitos ainda em desenvolvimento (Rizos *et al.*, 2002), oriundos de folículos de tamanhos variados (2 a 8 mm). *In vivo*, quando inclusos em folículos, a meiose dos oócitos está bloqueada no estágio de prófase I da primeira redução meiótica (denominado estágio de vesícula germinativa - GV). Foi demonstrado que a configuração da cromatina no estágio de GV apresenta condensação progressiva, classificada de GV0 à GV3 (Lodde *et al.*, 2007) e que está relacionada com a diferenciação do oócito para aquisição de competência oocitária (Luciano *et al.*, 2011). Portanto, a remoção precoce (não fisiológica) dos oócitos do ambiente folicular para utilização na biotecnologia de PIV estimula a retomada espontânea da meiose, o que prejudica a competência oocitária (Blondin *et al.*, 1997; Bilodeau-Goeseels, 2011) e se reflete na dificuldade de melhoria nas taxas de PIV.

A maturação do oócito *in vivo* é iniciada antes da ovulação, como resposta ao estímulo endógeno do hormônio luteinizante (LH) para que o oócito bloqueado em GV retome a meiose (Blondin *et al.*, 1997; Bilodeau-Goeseels, 2011). A sinalização do LH a partir da sua ligação a receptores de membrana específicos (LHCGR) nas células da granulosa murais (Prochazka *et al.*, 2017) promove a secreção de fatores de crescimento semelhantes ao fator de crescimento epidermal (EGF-like: epirregulina, ampirregulina e betacelulina) por estas células (Park *et al.*, 2004). Subsequentemente, os peptídeos EGF-like ativam o receptor do fator de crescimento epidermal (EGFR) nas células da granulosa e do cumulus, estimulando a produção de esteroides ovarianos (Jamnongjit *et al.*, 2005), a expansão das células do cumulus e conseqüentemente a quebra da GV (GVBD; Reizel *et al.*,

2010), mecanismos que acontecem no folículo pré-ovulatório a partir do estímulo do LH até a ovulação (Park *et al.*, 2004).

Isso acontece pela sinalização de segundo mensageiros, monofosfato de adenosina cíclica (AMPc) e o monofosfato de guanosina cíclica (GMPc), produzidos nas células do cumulus por estímulo do LH (Conti *et al.*, 2002), os quais são transportados para o oócito através de junções *gap* (Norris *et al.*, 2009). O AMPc também é produzido pelo próprio oócito através de um receptor acoplado à proteína G com atividade adenilato-ciclase e é estimulado pelo hormônio folículo estimulante (FSH), porém, a maior parte do AMPc é proveniente das células do cumulus (Gilchrist *et al.*, 2016). No interior do oócito, altas concentrações de AMPc inibem a ativação do fator promotor da maturação (MPF) e mantém o bloqueio meiótico em GV (Dekel, 2005; Gilchrist, 2011). Para isso, a fosfodiesterase 3A (PDE3A), enzima que degrada o AMPc no oócito, é inibida pelo GMPc (Norris *et al.*, 2009; Vaccari *et al.*, 2009). Por outro lado, para a retomada da meiose, a concentração intraocitária de AMPc diminui, promovendo a defosforilação e ativação da proteína cinase A (PKA) e consequente ativação do fator promotor da maturação (MPF; Gilchrist *et al.*, 2016). A queda do GMPc e do AMPc acontece primeiramente pelo fechamento das junções *gap* provocado por estímulo do LH, que ativa o EGFR e, conseqüentemente, a via das proteínas cinases ativadas por mitógenos (MAPK), desencadeando a fosforilação da conexina 43 (Norris *et al.*, 2008) e o fechamento das junções *gap*.

Sabe-se que a manutenção da integridade das junções *gap* durante o bloqueio meiótico é benéfica para a aquisição de competência oocitária (Gilchrist *et al.*, 2016) e, uma vez demonstrado o envolvimento do EGFR no fechamento das junções *gap*, o uso de substâncias capazes de bloquear a ativação deste receptor para manter as junções *gap* abertas por mais tempo, parece ser uma alternativa interessante para melhorar a competência dos oócitos cultivados *in vitro*. Visto que a maturação oocitária é regulada por diversos mecanismos que atuam em conjunto no folículo ovariano para controlar o bloqueio e depois a retomada da meiose, com consequente progressão de GV até metáfase II (MII), ou seja, a maturação nuclear e também as alterações moleculares e citoplasmáticas (Ferreira *et al.*, 2009). A remoção do oócito do ambiente folicular provoca um desequilíbrio desses agentes regulatórios da meiose, desencadeando uma menor eficiência de maturação quando comparada à que ocorre *in vivo*. Portanto, na tentativa de aumentar a competência dos oócitos MIV, o controle da meiose pode ser feito através do uso de inibidores da

maturação nuclear em uma etapa denominada pré-maturação. Com o intuito de garantir a competência oocitária ao término do processo (Hendriksen *et al.*, 2000).

Visto que a quebra prematura da comunicação entre o oócito e as células do cumulus, quando da remoção do oócito do ambiente folicular para os procedimentos de PIV, ocasiona uma condensação rápida e prematura da cromatina e interrupção da atividade transcricional, diminuindo a competência oocitária (Luciano *et al.*, 2011; Lodde *et al.*, 2013) e, a manutenção da comunicação por um período maior durante o cultivo de pré-maturação permite o crescimento final e a diferenciação do oócito, aumentando o potencial para desenvolvimento embrionário (Lodde *et al.*, 2013). Os estudos mais recentes visam manter a comunicação entre o oócito e as células do cumulus durante a pré-maturação (Gilchrist, 2011).

Esse cultivo de pré-maturação para o bloqueio meiótico e manutenção da comunicação entre o oócito e as células do cumulus pode utilizar substâncias com diversos mecanismos de ação: os inibidores de PDE, como a cilostamida, milrinona ou IBMX que mantém altas concentrações de AMPc por impedir a degradação do mesmo pela inativação das PDE; os ativadores da adenilato-ciclase, como a forskolina, que estimulam a síntese de AMPc; o NPPC que reduz as concentrações de AMPc indiretamente, pelo aumento de GMPc o qual inibe a ativação das PDE e; mais recentemente, foi proposto o uso de inibidores do EGFR os quais não foram muito estudados em bovinos (Melhmann, 2005; Albuz *et al.*, 2010; Dieci *et al.*, 2013; Franciosi *et al.*, 2014; Dieci *et al.*, 2016; Dall'Acqua *et al.*, 2017; Da Rosa *et al.*, 2017; Razza *et al.*, 2018).

Como o mecanismo de maturação em oócitos é dependente da ativação do EGFR nas células do cumulus, a hipótese deste estudo é que a inibição do EGFR em um cultivo de pré-maturação de oócitos bovinos pode manter o bloqueio meiótico e as junções *gap* abertas, permitindo um tempo maior de cultivo para o oócito adquirir competência de desenvolvimento e, o estudo da expressão gênica das células do cumulus pode evidenciar vias de regulação envolvidas na maturação oocitária desencadeada pelo EGFR. Desta forma, este trabalho tem como objetivo avaliar o bloqueio da meiose e sua reversibilidade, a manutenção da comunicação entre o oócito e as células do cumulus via junções *gap*, a dinâmica dos microfilamentos de actina, o conteúdo lipídico nos oócitos e a expressão gênica das células do cumulus.

2 Material e métodos

Os reagentes químicos utilizados foram obtidos da empresa Sigma-Aldrich (St. Louis, MO, USA), caso contrário estão especificados no texto. O experimento foi aprovado pelo Comitê de Ética da Universidade Estadual Paulista (Unesp), Faculdade de Ciências Agrárias e Veterinárias de Jaboticabal, SP, Brasil, protocolo número 12354/15.

2.1 Obtenção e seleção de COC

Ovários de bovinos *Bos taurus*, obtidos de abatedouro, foram transportados ao laboratório em solução salina estéril à 30-35°C. Os COC foram obtidos através de punção com agulha 18-G e seringa de 10 mL de folículos antrais médios (2-8mm). A seleção dos COC foi feita em fluido folicular, suplementado com 75 µg/mL de penicilina-estreptomicina, para prevenir a retomada imediata da meiose. Apenas COC circundados por pelo menos quatro camadas de células do cumulus compactas e citoplasma com granulação homogênea foram utilizados nesse estudo.

2.2 Pré-maturação e MIV

Os oócitos que foram submetidos ao bloqueio meiótico foram cultivados *in vitro* em microgotas de 100 µL (25 COC por microgota) de TCM199 suplementado com 0,2 mM piruvato, 25 mM bicarbonato de sódio, 50 µg/mL amicacina, 0.3% BSA livre de ácidos graxos e 1 µM do inibidor do EGFR (EGFR-) AG1478, recobertas com óleo mineral. O cultivo foi conduzido por 8h à 38,5°C, 5% CO₂ em ar e máxima umidade (grupo EGFR-PreIVM). Em seguida, os oócitos bloqueados foram lavados várias vezes no mesmo meio sem o inibidor para a completa remoção do bloqueador e, transferidos para microgotas de 100 µL de meio de MIV [TCM199 suplementado com 0,2 mM piruvato, 25 mM bicarbonato de sódio, 50 µg/mL amicacina, 0,5 µg/mL

FSH (Follitropin-V; Bioniche Animal Health, Ontario, Canada), 100 UI/mL gonadotrofina coriônica humana (Vetecor; Hertape Calier, Juatuba, MG, Brasil) e 10% soro fetal bovino (FCS; Gibco BRL, Grand Island, NY, USA)] recobertas com óleo mineral (grupo EGFR-IVM). O cultivo de MIV foi conduzido por até 30h à 38,5°C, 5% CO₂ em ar e máxima umidade.

Os COC do grupo controle (grupo Control) foram submetidos ao cultivo de MIV após sua remoção dos folículos, sem terem passado pelo cultivo prévio de pré-maturação. Amostras de oócitos do grupo Control foram coletadas após 8h do início da MIV (grupo Control_PreIVM: cultivados pelo mesmo período da pré-maturação), às 22h (grupo Control_IVM_22h: cultivados pelo tempo padrão de MIV no nosso laboratório), e às 30h (grupo Control_IVM_30h: cultivados pelo tempo total dos oócitos submetidos à pré-maturação seguida da MIV, objetivando avaliar o possível envelhecimento do oócito devido ao cultivo prolongado). Além disso, uma amostra dos oócitos foi coletada imediatamente após a remoção do ambiente folicular (grupo Control_Immat). Os grupos experimentais estão representados na Figura 1.

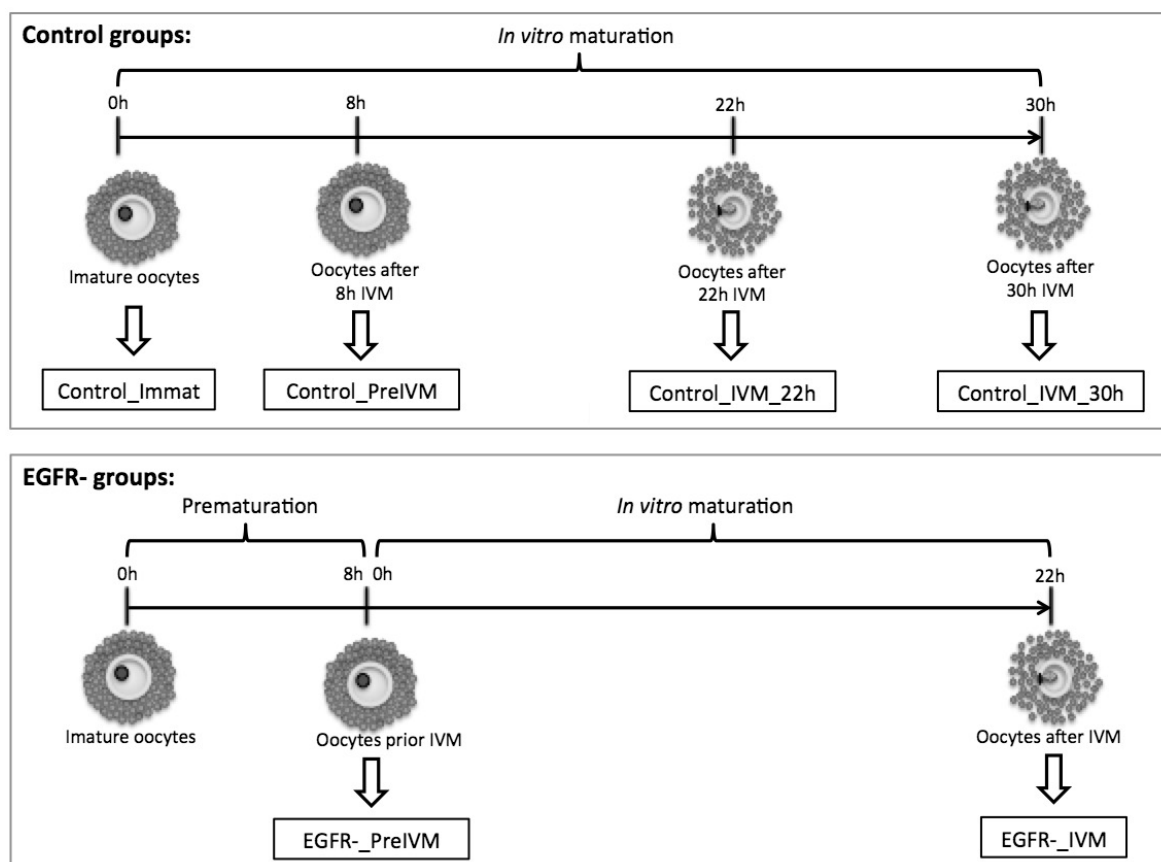


Figura 1. Representação esquemática do delineamento experimental. As setas indicam os momentos finais de avaliação dos diferentes grupos experimentais.

2.3 Avaliação da configuração da cromatina, sua cinética e da distribuição dos microfilamentos de actina

Em cada tempo de coleta da pré-maturação e da MIV, uma amostra de 25 COC/grupo foi coletada e as células do cumulus foram separadas dos oócitos por vórtex em solução de PBS suplementada com 0,1% PVP (PBS-PVP) em água ultra-pura. Os oócitos desnudos (DO) foram avaliados de acordo com a configuração da cromatina e a distribuição citoplasmática dos microfilamentos de actina. As células do cumulus correspondentes foram imersas em nitrogênio líquido e armazenadas à -80°C até a extração do RNA para posterior análise de expressão gênica.

DO foram fixados em solução de paraformaldeído 4% (w/v) por 10 min em temperatura ambiente e permeabilizados em 0,5% (v/v) Triton X-100 em solução 0.1% (w/v) citrato de sódio por 5 min em temperatura ambiente. Em seguida, foram incubados em uma solução de PBS-PVP contendo Hoechst 33342 (1 µg/mL) e faloidina conjugada com FITC (1 µg/mL) em temperatura ambiente por 15 min, no escuro. Depois, os oócitos foram colocados em lâminas em gotas de 10 µL de *antifade* cobertas com lamínula e avaliados imediatamente em microscópio invertido de epifluorescência (IX51, Olympus, Tokyo, Japan; 20X; excitação de 404 nm e emissão de 526 nm).

Oócitos imaturos (vesícula germinativa - GV) foram classificados em quatro graus de acordo com a condensação da cromatina (GV0, GV1, GV2 e GV3), como descrito por Lodde *et al.* (2007). Os oócitos maduros foram classificados de acordo com o estadio de progressão da meiose como: imaturos (oócitos que ainda estavam em qualquer configuração de GV); intermediário (oócitos em metáfase I ou anáfase I); maduros (oócitos em telófase I ou metáfase II); e os oócitos que não estavam em nenhuma das configurações previamente descritas foram classificados como degenerados (DEG).

A dinâmica dos microfilamentos de actina (excitação de 495 nm e emissão de 517 nm) foi classificada em normal (N), descontínua (DC), difusa (DF) ou ausente (A), de acordo com Albarracín *et al.* (2005).

2.4 Quantificação do conteúdo lipídico intraocitário

Os COC, imaturos, após a pré-MIV e após a MIV foram desnudados e os oócitos corados com a sonda lipofílica Nile Red, para avaliar o conteúdo intracelular de lipídios de acordo com metodologia previamente descrita, com algumas modificações (Genicot *et al.*, 2005). Os DO foram fixados em solução de paraformaldeído 4% por 1h em temperatura ambiente, lavados e transferidos para uma solução 1 µg/mL Nile Red por 30 min. Os oócitos foram lavados e incubados com Hoechst 33342 por 15 min, então foram lavados e colocados em lâminas com meio para fluorescência cobertas com lamínula. Foram obtidas imagens dos oócitos em um microscópio invertido equipado com epifluorescência (IX51; Olympus) e aumento de 20X. O comprimento de onda de excitação e emissão, respectivamente, foi de 515-575 nm e 560-680 nm para Nile Red e 330-385 nm e 520 nm para Hoechst 33342. A sonda Nile Red detecta lipídios neutros quando fluoresce em amarelo (580-596 nm) e lipídios polares quando fluoresce em laranja (597-620 nm), portanto, baseado nas condições da avaliação estabelecidas em nosso laboratório, somente os lipídios neutros foram detectados. A área e a intensidade de pixel dos oócitos foi avaliada pelo software ImageJ (1.49v). A intensidade de sinal do background foi subtraída do valor mensurado nos oócitos dos tratamentos. Para cada oócito, a intensidade de sinal do Nile Red corrigida pelo background foi normalizada pela área, para o cálculo das médias e erro padrão da média (EPM).

2.5 Avaliação da expansão das células do cumulus

A expansão das células do cumulus foi avaliada em oócitos imaturos (início do cultivo), após 8h de pré-maturação e após a MIV. O grau de expansão foi classificado seguindo um protocolo previamente descrito com pequenas modificações (Vanderhyden *et al.*, 1990). Foi feita uma classificação subjetiva em escore de 0 a 5, na qual 0 indica nenhuma expansão detectável e 5 indica o grau máximo de expansão.

2.6 Avaliação da funcionalidade das junções gap

A comunicação entre o oócito e as células do cumulus foi avaliada em oócitos imaturos (grupo Control_Immat) e após 8h de pré-maturação (grupos Control_PreIVM e EGFR-_PreIVM) através da microinjeção do corante fluorescente Lucifer Yellow (LY), como descrito por Luciano *et al.*, 2004. Em cada momento de avaliação os COC foram submetidos à injeção de uma solução à 3% de LY em 5 mM de cloreto de lítio e, a dispersão do corante pelas células do cumulus foi avaliada em microscópio invertido de fluorescência por 10 min após a injeção. A funcionalidade das junções gap foi classificada em abertas, parcialmente abertas e fechadas.

2.7 Extração do RNA e transcrição reversa

O RNA total foi extraído de células do cumulus isoladas de um *pool* de 20 COC com o RNeasy Micro Kit (Qiagen, Valencia, CA, USA) seguindo as instruções do fabricante e incluindo o tratamento com DNase. A eluição foi feita em em 20 μ L de água DEPC. A concentração total do RNA foi avaliada pelo NanoDrop (Thermo Fisher Scientific, Wilmington, DE, USA) e a integridade do RNA foi avaliada utilizando o 2100-Bioanalyzer (Agilent Technologies, Santa Clara, CA, USA) com o RNA 6000 Pico Kit (Agilent Technologies).

A transcrição reversa (RT) do RNAm foi feita utilizando o High-Capacity cDNA reverse transcription kit com inibidor de RNase (Thermo Fisher Scientific, Wilmington, DE, USA), seguindo as instruções do fabricante. Para cada 10 μ L de RNAm foram adicionados 2 μ L de 10X Reverse Transcription Buffer, 0,8 μ L de 25X dNTPs, 2 μ L de 10X random primers, 1 μ L de MultScribe Reverse Transcriptase, 1 μ L de RNase inhibitor e 3,2 μ L de água ultra-pura. A reação foi realizada no PRC200 DNA Engine Thermal Cycler (MJ Research, CA, EUA) por 10 min à 25°C, 120 min à 37°C, 5 min à 85°C e 4°C até o final. As amostras de cDNA foram estocadas à -20°C até a análise de expressão gênica.

2.8 Análise da expressão gênica por RT-qPCR

A análise da expressão gênica nas células do cumulus foi realizada por um sistema de microfluídica em larga escala, Biomark HD (Fluidigm®, South San Francisco, CA, USA), utilizando Applied Biosystems™ TaqMan® Assays, específico para *Bos taurus* para avaliar a abundância de RNAm de 87 genes selecionados, incluindo os controles endógenos, demonstrados na Tabela 1.

Antes do RT-qPCR, cada amostra de RNA foi submetida à pré-amplificação com 1,25 µL assay mix (Taqman® Assay, concentração final de 0,2X para cada ensaio), 2,5 µL TaqMan PreAmp Master Mix (Applied Biosystems, #4391128) e 1,25 µL cDNA (5ng/µL). As reações foram ativadas à 95°C por 10 min seguida por desnaturação à 95°C por 15 s, *annealing* e amplificação à 60°C por 4 min em 14 ciclos. Estes produtos pré-amplificados foram diluídos 7 vezes antes da análise de RT-qPCR.

Para a análise da expressão gênica, cada solução de amostra preparada consistia de 2,25 µL cDNA (produtos pré-amplificados), 2,5 µL de TaqMan Universal PCR Master Mix (2X, Applied Biosystems) e 0,25 µL de 20X GE Sample Loading Reagent (Fluidigm); e a solução de ensaio foi 2,5 µL de 20X TaqMan Gene Expression Assay (Applied Biosystems) e 2,5 µL de 2X Assay Loading Reagent (Fluidigm). O chip 96.96 Dynamic Array™ Integrated Fluidic Circuits (Fluidigm) foi utilizado para coletar os dados. Depois de preparado, o chip foi carregado com 5 µL de cada solução de ensaio e 5 µL de cada solução de amostra. O ciclo térmico do qPCR foi realizado no Biomark HD System (Fluidigm) utilizando o protocolo TaqMan GE 96x96 Standard, que consistia em um estágio de Thermal Mix (50°C por 2 min, 70°C por 20 min e 25°C por 10 min) seguido de Hot Start (50°C por 2 min e 95°C por 10 min), seguido de 40 ciclos de desnaturação (95°C por 15 s), *annealing* e extensão do primer (60°C por 60 s).

A análise foi feita em quatro replicatas independentes e os valores de Ct foram calculados pelo software Biomark Real Time PCR (Fluidigm). O ensaio incluiu *beta actin* (ACTB), *glyceraldehyde-3-phosphate dehydrogenase* (GAPDH), *peptidylprolyl isomerase A* (PPIA) e *ribossomal protein L15* (RPL15) como controles endógenos e, a estabilidade da abundância relativa dos transcritos foi analisada por ANOVA e pelo algoritmo GeNorm (Vandesompele *et al.*, 2002). Os controles

endógenos escolhidos neste estudo foram os genes mais estáveis (PPIA e RPL15), que não apresentaram diferença significativa entre os grupos por ANOVA e valor de M foi menor que 1,5. A média geométrica do Ct para os genes de referência foi calculada e, esse valor foi utilizado para calcular os valores de ΔCt (subtração da média geométrica do Ct dos genes de referência pelo Ct dos genes de interesse), os quais foram utilizados para a análise estatística. Os valores de ΔCt das amostras alvo foram normalizados pelas amostras controle para calcular o $\Delta\Delta Ct$, e os fold-changes, utilizados na representação gráfica, os quais foram calculados pela expressão $2^{-\Delta\Delta Ct}$ relativo ao controle.

Tabela 1. Lista de genes bovinos avaliados por RT-qPCR neste estudo.

Símbolo do gene	Nome	ID (Thermo)
<i>ACACA</i>	Acetyl CoA carboxylase	Bt03213389_m1
<i>ACTB</i>	Actin, beta	Bt03279174_g1
<i>ADCY3</i>	Adenylate cyclase 3	Bt04289077_m1
<i>ADCY6</i>	Adenylate cyclase 6	Bt03816767_m1
<i>ADCY9</i>	Adenylate cyclase 9	Bt04287024_m1
<i>AGPAT1</i>	1-acylglycerol-3-phosphate O-acyltransferase 1	Bt03224587_g1
<i>AKR1B1</i>	Aldo-keto reductase family 1, member B1	Bt03218049_g1
<i>AREG</i>	Amphiregulin	Bt03271014_m1
<i>ATF4</i>	Activating transcription factor 4	Bt03221057_m1
<i>ATP5L</i>	ATP synthase, H ⁺ transporting, mitochondrial Fo complex subunit G	Bt03210836_g1
<i>BAX</i>	BCL2-associated X protein	Bt03211777_g1
<i>BCL2</i>	B-cell CLL/lymphoma 2	Bt04298952_m1
<i>BDNF</i>	Brain-derived neurotrophic factor	Bt03287437_s1
<i>BID</i>	BH3 interacting domain death agonist	Bt03241255_m1
<i>BMP15</i>	Bone Morphogenetic Protein 15	Bt03286494_u1
<i>CASP3</i>	Caspase 3, apoptosis-related cysteine peptidase	Bt03250954_g1
<i>CASP9</i>	Caspase 9, apoptosis-related cysteine peptidase	Bt04282453_m1
<i>CAT</i>	Catalase	Bt03228713_m1
<i>CLIC3</i>	Chloride intracellular channel 3	Bt03263038_m1
<i>DDIT3</i>	DNA-damage-inducible transcript 3	Bt03251320_g1
<i>DDIT3</i>	DNA-damage-inducible transcript 3	Bt03251320_g1
<i>DNMT1</i>	DNA (cytosine-5-)-methyltransferase 1	Bt03224737_m1
<i>DNMT3A</i>	DNA (cytosine-5-)-methyltransferase 3A	Bt01027164_m1
<i>DNMT3B</i>	DNA (cytosine-5-)-methyltransferase 3B	Bt03259810_m1
<i>EGFR</i>	Epidermal growth factor - receptor	AJT96D7
<i>FASN</i>	Fatty acid synthase	Bt03210485_m1
<i>FDX1</i>	Ferredoxin 1	Bt03217449_m1
<i>FOXO3</i>	Forkhead box O3	Bt03649334_s1
<i>FSHR</i>	Follicle-stimulating hormone receptor	Bt03212674_m1
<i>G6PD</i>	Glucose 6 phosphate deshydrogenase	Bt03649181_m1
<i>GAPDH</i>	Glyceraldehyde-3-phosphate dehydrogenase	Bt03210912_g1
<i>GATM</i>	Glycine amidinotransferase	Bt03237896_m1
<i>GFPT2</i>	Glutamine-fructose-6-phosphate transaminase 2	Bt03250351_m1
<i>GLRX2</i>	Glutaredoxin 2	Bt03229700_m1
<i>GPAT3</i>	Glycerol-3-phosphate acyltransferase 3	Bt04292093_m1
<i>GPX1</i>	Glutathione peroxidase 1	Bt03259217_g1
<i>GREM1</i>	Gremlin 1	Bt03255355_m1

<i>GUCY1B3</i>	Guanylate cyclase 1, soluble, beta 3	Bt03215602_m1
<i>H2AFZ</i>	H2A histone family, member Z	Bt03216346_g1
<i>H3F3A</i>	H3 histone, family 3A	Bt03278804_g1
<i>H3F3B</i>	H3 histone, family 3B (H3.3B)	Bt04319377_g1
<i>HAS2</i>	Hyaluronan synthase 2	Bt03212695_g1
<i>HDAC2</i>	Histone deacetylase 2	Bt03244871_m1
<i>HSPA1A</i>	Heat shock 70kDa protein 1A	Bt03292670_g1
<i>IGF1R</i>	Insulin-like growth factor 1 receptor	Bt03649217_m1
<i>IGFBP2</i>	Insulin-like growth factor binding protein 2	Bt01040719_m1
<i>IMPDH1</i>	IMP (inosine 5'-monophosphate) dehydrogenase 1	Bt00995384_m1
<i>IMPDH2</i>	IMP (inosine 5'-monophosphate) dehydrogenase 2	Bt03226238_g1
<i>KEAP1</i>	Kelch-like ECH-associated protein 1	Bt03817661_m1
<i>KRT8</i>	Keratin 8	Bt03225178_g1
<i>LUM</i>	Lumican	Bt03211920_m1
<i>MAPK1</i>	Mitogen-activated protein kinase	Bt03216718_g1
<i>MTIF3</i>	Mitochondrial translational initiation factor 3	Bt03231844_m1
<i>NDUFA1</i>	NADH:ubiquinone oxidoreductase subunit A1	Bt03216720_g1
<i>NOS2</i>	Nitric oxide synthase 2, inducible	Bt03249597_m1
<i>NOS3</i>	Nitric oxide synthase 3	Bt03217679_m1
<i>NPPC</i>	Natriuretic peptide C (CNP)	Bt03212844_m1
<i>NPR1</i>	Natriuretic peptide receptor 1	Bt04297034_g1
<i>NPR2</i>	Natriuretic peptide receptor 2	Bt04316732_m1
<i>NPR3</i>	Natriuretic peptide receptor 3	Bt03212867_m1
<i>OOSP1</i>	Oocyte-secreted protein 1	Bt03233533_g1
<i>PDE5A</i>	Phosphodiesterase 5A, cGMP-specific	Bt03214261_m1
<i>PFKP</i>	Phosphofructokinase	Bt04316551_m1
<i>PGK1</i>	Phosphoglycerate kinase 1	Bt03225854_mH
<i>POU5F1</i>	POU class 5 homeobox 1 (OCT4)	Bt03223846_g1
<i>PPARA</i>	Peroxisome proliferator-activated receptor alpha	Bt03220821_m1
<i>PPIA</i>	Peptidylprolyl isomerase A	Bt03224617_g1
<i>PRDX1</i>	Peroxiredoxin-1	Bt03223684_m1
<i>PRDX3</i>	Peroxiredoxin 3	Bt03214402_m1
<i>PRKCD</i>	Protein kinase C delta	Bt03224587_g1
<i>PTGS2/COX2</i>	Prostaglandin-endoperoxide synthase 2	Bt03214489_m1
<i>PTX3</i>	Pentraxin 3, long	Bt03249011_m1
<i>RGS2</i>	Regulator of G-protein signaling 2	Bt03246656_g1
<i>RPL15</i>	Ribosomal protein L15	Bt03288449_g1
<i>S100A10</i>	S100 calcium binding protein A10	Bt03215645_m1
<i>S100A14</i>	S100 calcium binding protein A14	Bt03230771_g1
<i>SLC2A1</i>	Solute carrier family 2 (facilitated glucose transporter), member 1	Bt03215314_m1
<i>SLC2A3</i>	Solute carrier family 2 (facilitated glucose transporter), member 3	Bt03259514_g1
<i>SLC2A4</i>	Solute carrier family 2 (facilitated glucose transporter), member 4	Bt03215316_m1
<i>SOD1</i>	Superoxide dismutase 1, soluble	Bt03215423_g1
<i>STAT3</i>	Signal transducer and activator of transcription 3	Bt03259871_g1
<i>TFAM</i>	Transcription factor A, mitochondrial	Bt03260078_m1
<i>TNFAIP6</i>	Tumor necrosis factor, alpha-induced protein 6	Bt03210223_m1
<i>TNFRSF21</i>	Tumor necrosis factor receptor superfamily member 21	Bt03250597_m1
<i>TP53</i>	Tumor protein p53	Bt03223213_m1
<i>VCAN</i>	Versican	Bt03217633_m1
<i>XBP1</i>	X-box binding protein 1	Bt03227621_g1

2.9 Análise estatística

Todos os experimentos foram repetidos no mínimo três vezes em replicatas independentes. Em cada replicata, a taxa de maturação nuclear e distribuição dos microfilamentos de actina foram calculadas como porcentagem do total de COC submetidos à MIV. Quando foi preciso normalizar a distribuição dos dados, as porcentagens foram transformadas por arco-seno. A expressão gênica relativa foi analisada após o cálculo do ΔCt e transformada em logaritmo quando necessário. A normalidade dos resíduos foi testada por Shapiro-Wilk's.

A análise dos dados de maturação nuclear, distribuição dos microfilamentos de actina, expansão das células do cumulus e conteúdo lipídico nos oócitos e expressão gênica nas células do cumulus foi feita por one-way ANOVA seguida do teste de Tukey ou pelo teste de Kruskal-Wallis, seguido pelo teste de Dunn's, de acordo com a distribuição dos dados. As análises foram feitas utilizando o software Prism (version 7.0, GraphPad Software, Inc). A funcionalidade das junções gap foi avaliada pelo teste de qui-quadrado utilizando o software GraphPad InStat.

As diferenças entre os tratamentos com $P < 0,05$ foram consideradas significativas. Os dados estão expressos como média \pm erro padrão da média (EPM).

A regressão linear foi utilizada para avaliar as mudanças ao longo do tempo em relação à maturação nuclear e ao conteúdo lipídico. Além disso, em cada tempo, as médias foram comparadas pelo teste de t ou Mann Whitney, de acordo com a distribuição dos dados, utilizando o software Prism (versão 7.0, GraphPad Software, Inc). Os dados foram expressos como média \pm EPM. Diferenças entre os tratamentos com $P < 0,05$ e r^2 próximo de 1 foram consideradas significativas.

3 Resultados

3.1 Maturação nuclear

As configurações da cromatina ao final do cultivo de pré-maturação estão apresentadas na Tabela 2. A maioria dos oócitos imaturos avaliados imediatamente após a remoção do folículo (Control_Immat) estavam em GV (86,8%), e a principal categoria foi GV1 (67.6±5.2%). Da mesma forma, a maioria dos oócitos pré-maturados com AG1478 por 8h (EGFR-_PreIVM) estavam bloqueados em GV (53,1%), e a maior parte deles estava em GV1 (42.9±7.2%, sem diferença para os outros tratamentos; $P>0,05$) ou em GV3 [28.6±3.8%, semelhante ao grupo Control_Immat (12.4±3.5%; $P>0,05$) e menor que o grupo Control_PreIVM (52.1±7.1%; $P<0,05$)]. Porém, poucos oócitos maturados por 8h (Control_PreIVM) permaneceram bloqueados em GV (32,4%), com a maioria progredindo para GV3 (52.1±7.1%). Não foram encontradas diferenças ($P>0,05$) entre os grupos nas categorias de GV0, GV2 e DEG. As maiores taxas de MI foram encontradas no grupo Control_PreIVM (15.5±6.2%) diferindo ($P<0,05$) do grupo Control_Immat (0.0±0.0%), mas nenhum deles diferiu ($P>0,05$) do grupo EGFR-_PreIVM (9.5±4.5%).

Após a MIV (Tabela 3), não foram encontradas diferenças ($P>0,05$) entre os tratamentos nas taxas de MII (conclusão da meiose), porém, as taxas de oócitos DEG do grupo Control_IMV_30h (9.1±1.7%) foram maiores ($P<0,05$) que do grupo EGFR-_IVM (2.3±0.8%).

Para avaliar a cinética do remodelamento da cromatina durante a pré-maturação, nós avaliamos os oócitos a cada 2h. A análise de regressão linear (Figura 2) demonstrou uma diminuição na porcentagem de oócitos em GV1 ao longo do tempo, correspondente com o aumento da porcentagem de oócitos em GV3, para os grupos Control_PreIVM e EGFR-_PreIVM ($P<0,05$). Uma distinção clara entre os tratamentos pode ser visualizada com 4h de cultivo para as categorias GV1 e GV3, o que indica um retardo na progressão da meiose no grupo EGFR-_PreIVM.

Tabela 2. Efeitos da pré-maturação de oócitos bovinos com inibidor do EGFR na maturação nuclear

Grupo*	Oócitos (N)	Tempo de cultivo	Configuração da cromatina (%)					
			GV0	GV1	GV2	GV3	MI	DEG
Control_Immat		0	7.4±4.1 ^a	67.6±5.2 ^a	12.3±3.7 ^a	12.4±3.5 ^b	0.0±0.0 ^b	0.4±0.4 ^a
Control_PreIVM		8	3.5±1.3 ^a	20.7±4.2 ^b	8.2±2.0 ^a	52.1±7.1 ^a	15.5±6.2 ^a	0.0±0.0 ^a
EGFR-PreIVM		8	9.1±3.9 ^a	42.9±7.2 ^{ab}	9.5±2.1 ^a	28.6±3.8 ^b	9.5±4.5 ^{ab}	0.4±0.4 ^a

*Oócitos foram avaliados imediatamente após a remoção do folículo (grupo Control_Immat), após 8h MIV (grupo Control_PreIVM) e após 8h de pré-maturação com o inibidor do EGFR AG1478 (grupo EGFR-PreIVM). Os dados estão apresentados como média ± EPM de 11 replicatas. Letras distintas na mesma coluna indicam diferença estatística (P<0,05).

Tabela 3. Efeitos da pré-maturação de oócitos bovinos com inibidor do EGFR, seguido de MIV na maturação nuclear

Grupo*	Oócitos (N)	Tempo de cultivo			Estadio da meiose (%)			
		PreMIV	MIV	Total	GV	Int.	MII	DEG
Control_IVM_22h		0	22	22	2.6±1.0 ^a	17.6±3.3 ^a	75.6±3.3 ^a	4.1±1.1 ^{ab}
Control_IVM_30h		0	30	30	0.0±0.0 ^a	12.1±3.5 ^a	78.7±3.6 ^a	9.1±1.7 ^a
EGFR-IVM		8	22	30	1.1±0.6 ^a	12.9±2.1 ^a	83.7±1.9 ^a	2.3±0.8 ^b

*Oócitos foram avaliados após 22h MIV (grupo Control_IVM_22h), 30 h MIV (grupo Control_IVM_30h) e após 8h de pré-maturação com AG1478 seguida de 22h de MIV (grupo EGFR-IVM). Os dados estão apresentados como média ± EPM de 11 replicatas. Letras distintas na mesma coluna indicam diferença estatística (P<0,05).

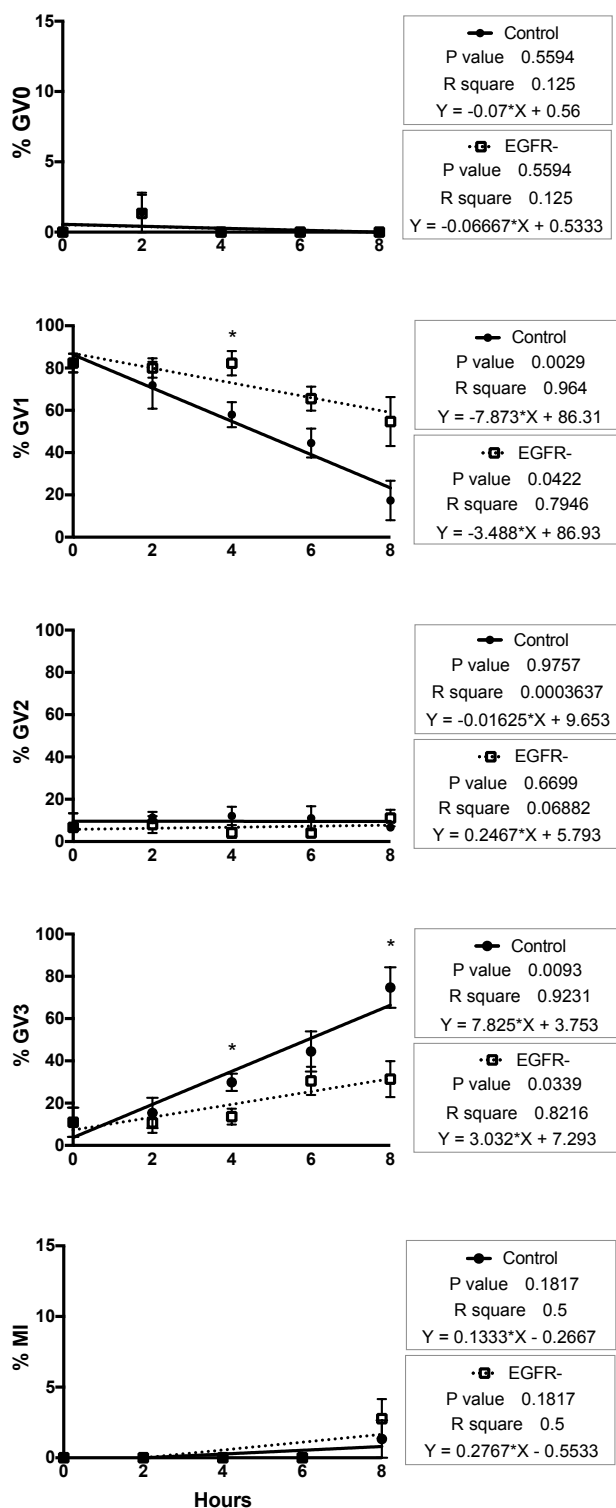


Figura 2. Regressão linear da cinética da remodelação da cromatina durante a pré-maturação com inibidor do EGFR em oócitos bovinos. Os dados estão apresentados como média \pm EPM de 4 replicatas. * Asteriscos acima de tempos específicos indicam diferença significativa entre os tratamentos ($P < 0,05$; teste t ou teste de Mann Whitney).

3.2 Expansão das células do cumulus

A expansão das células do cumulus foi inibida durante a pré-maturação, o grupo EGFR-PreIVM apresentou menor grau de expansão em comparação com o grupo Control-PreIVM ao final do cultivo de pré-maturação (Figura 3A). No entanto, ambos os grupos Control-IVM e EGFR-IVM exibiram o grau máximo de expansão ao final da MIV (Figura 3B).

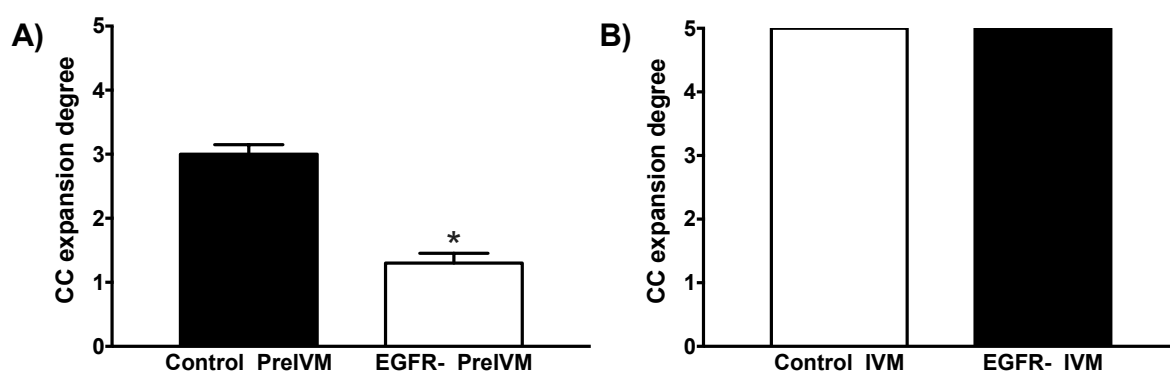


Figura 3. Grau de expansão das células do cumulus (CC) de COC bovinos. (A) COC avaliados após 8h de MIV (grupo Control-PreIVM) e após 8h de pré-maturação com o inibidor do EGFR AG1478 (grupo EGFR-PreIVM). (B) COC avaliados após 22h MIV (grupo Control-IVM_22h) e após 8h de pré-maturação com o inibidor do EGFR AG1478 seguida de 22h de MIV (grupo EGFR-IVM). Os dados estão apresentados como média \pm EPM de 4 replicatas. * Asteriscos acima das barras indicam diferença significativa ($P < 0,05$).

3.3 Funcionalidade das junções gap

A funcionalidade das junções gap está apresentada na Tabela 4. O cultivo de pré-maturação foi eficaz em manter as junções gap abertas em 85,7% dos oócitos do grupo EGFR-PreIVM, apresentando taxas semelhantes ($P > 0,05$) ao grupo Control-Immat (88,9%), ao passo que os oócitos do grupo Control-PreIVM apresentaram menor ($P < 0,05$) taxa de oócitos com as junções gap abertas (35,7%). Estes oócitos do grupo Control-PreIVM apresentaram maiores taxas de oócitos com

as junções parcialmente abertas (42,9%), diferindo ($P < 0,05$) dos grupos Control_Immat (0%) e EGFR-_PreIVM (0%).

Tabela 4. Efeitos da pré-maturação de oócitos bovinos com inibidor do EGFR na funcionalidade das junções gap

Grupo*	Tempo de cultivo (h)	Oócitos (N)	Funcionalidade das junções gap		
			Abertas N (%)	Parcialmente abertas N (%)	Fechadas N (%)
Control_Immat	0	9	8 (88,9%) ^a	0 (0%) ^a	1 (11,1%) ^a
Control_PreIVM	8	14	5 (35,7%) ^b	6 (42,9%) ^b	3 (21,4%) ^a
EGFR-_PreIVM	8	14	12 (85,7%) ^a	0 (0%) ^a	2 (14,3%) ^a

*Oócitos foram avaliados imediatamente após a remoção do folículo (grupo Control_Immat), após 8h MIV (grupo Control_PreIVM) e após 8h de pré-maturação com o inibidor do EGFR AG1478 (grupo EGFR-_PreIVM). Letras distintas na mesma coluna indicam diferença estatística pelo teste de qui-quadrado ($P < 0,05$).

3.4 Distribuição dos microfilamentos

Não foram observadas diferenças ($P > 0,05$) na distribuição dos microfilamentos de actina nos oócitos. A maior parte dos oócitos apresentou distribuição normal dos microfilamentos em todos os grupos após a pré-maturação e após a MIV (Tabela 4).

Tabela 5. Efeitos da pré-maturação de oócitos bovinos com inibidor do EGFR na distribuição dos microfilamentos de actina

Grupo*	Tempo de cultivo			Distribuição dos microfilamentos (%)			
	PréMIV	MIV	Total	Normal	Descontínua	Difusa	Ausente
PréMIV							
Control_Immat	0	0	0	75.2±12.1	21.5±9.4	3.3±3.3	0
Control_PreIVM	0	8	8	69.3±4.6	23.6±5.7	5.1±3.1	1.9±1.9
EGFR-_PreIVM	8	0	8	84.7±9.1	13.0±9.2	0	2.2±1.4
PreMIV seguida de MIV							
Control_IVM	0	22	22	81.6±6.7	11.1±6.1	4.3±2.9	2.9±2.0
Control_IVM	0	30	30	86.6±3.6	11.1±2.8	1.3±1.3	0.9±0.9
EGFR-_IVM	8	22	30	87.3±2.9	8.7±2.7	1.0±1.0	2.9±1.2

*Oócitos foram avaliados imediatamente após a remoção do folículo (grupo Control_Immat), após 8h MIV (grupo Control_PreIVM), após 8h de pré-maturação com o inibidor do EGFR AG1478 (grupo EGFR-_PreIVM). Após a pré-maturação os oócitos foram submetidos à MIV e avaliados após 22h MIV (Control_IVM_22h), 30h MIV (Control_IVM_30h) e após 8h de pré-maturação com AG1478 seguida de 22h de MIV (grupo EGFR-_IVM). Os dados estão apresentados como média ± EPM de 5 replicatas. Não houveram diferenças significativas entre os grupos ($P > 0,05$).

3.5 Quantificação de lipídios com Nile Red

Como as taxas de oócitos degenerados foi maior no grupo Control_IMV_30h comparado com o grupo EGFR-IVM (Tabela 3), este grupo não foi incluído nas avaliações subsequentes. Após a pré-maturação, o conteúdo lipídico intracelular dos oócitos do grupo EGFR-PreIVM foi significativamente menor ($P < 0,05$) em comparação com o grupo Control_Immat, e não diferiu ($P > 0,05$) do grupo Control_PreIVM (Figura 4A). No entanto, após a MIV, o conteúdo lipídico foi maior ($P < 0,05$) em oócitos do grupo EGFR-IVM comparado com Control_IVM (Figura 4B).

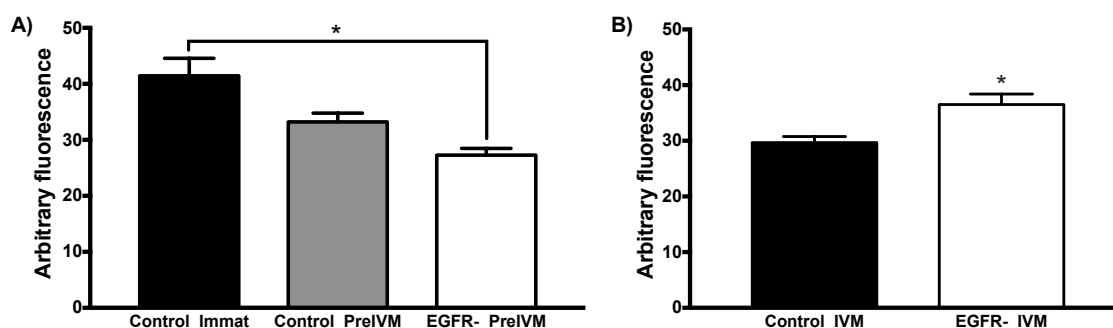


Figura 4. Efeitos da pré-maturação com inibidor do EGFR seguida de MIV no conteúdo lipídico de oócitos bovinos. Oócitos avaliados imediatamente após sua remoção do folículo (Control_Immat), após 8h de MIV (grupo Control_PreIVM) e após 8h de pré-maturação com inibidor do EGFR (grupo EGFR-PreIVM). (B) COC avaliados após 22h MIV (grupo Control_IVM_22h) e após 8h de pré-maturação com o inibidor do EGFR seguida de 22h de MIV (grupo EGFR-IVM). Os dados estão apresentados como média \pm EPM de 4 replicatas. * Asteriscos acima das barras indicam diferença significativa entre os tratamentos ($P < 0,05$).

A regressão linear foi utilizada para avaliar as variações no conteúdo lipídico intracelular nos oócitos durante a pré-maturação (Figura 5). Não foram observadas variações no grupo Control_PreIVM ($P > 0,05$); no entanto, foi verificado um decréscimo no conteúdo lipídico nos oócitos do grupo EGFR-PreIVM ($P < 0,05$).

Como a macromolécula adicionada ao meio de pré-maturação foi o BSA e ao meio de MIV foi o FCS, um experimento foi realizado para avaliar se essas alterações no conteúdo lipídico observadas entre os tratamentos são devidas às diferentes macromoléculas. Então, observamos uma redução ($P < 0,05$) no conteúdo lipídico dos oócitos do grupo EGFR-PreIVM em comparação com oócitos MIV em

meio suplementado com BSA (grupo Control_PreIVM_BSA); no entanto, nenhum destes grupos difere ($P > 0,05$) do grupo de oócitos MIV suplementados com FCS (Control_PreIVM_FCS). Estes resultados estão apresentados na Figura 6.

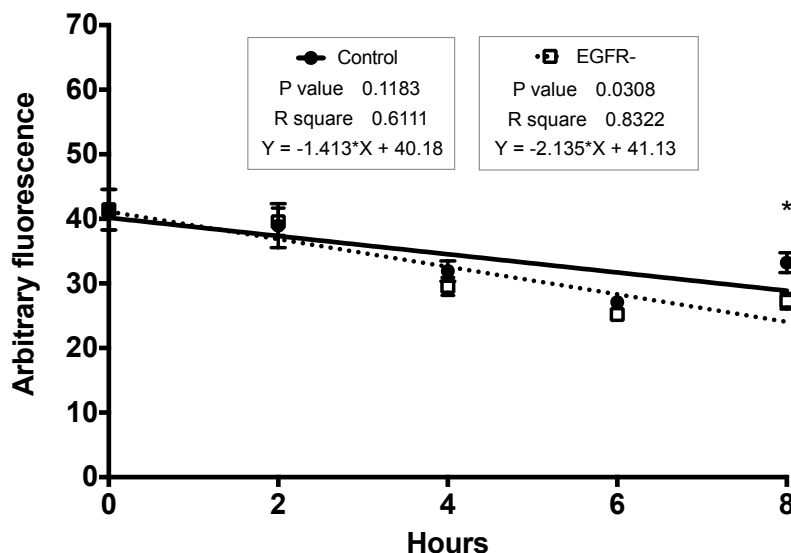


Figura 5. Análise de regressão linear do conteúdo lipídico intracelular (em unidades arbitrárias de fluorescência de oócitos bovinos pré-maturados com inibidor do EGFR por até 8h. Em cada momento de avaliação, os tratamentos foram comparados pelo teste de Mann Whitney e os asteriscos acima dos pontos indicam diferença significativa ($P < 0,05$). Os dados estão apresentados em unidades arbitrárias de fluorescência e são as médias de 4 repetições.

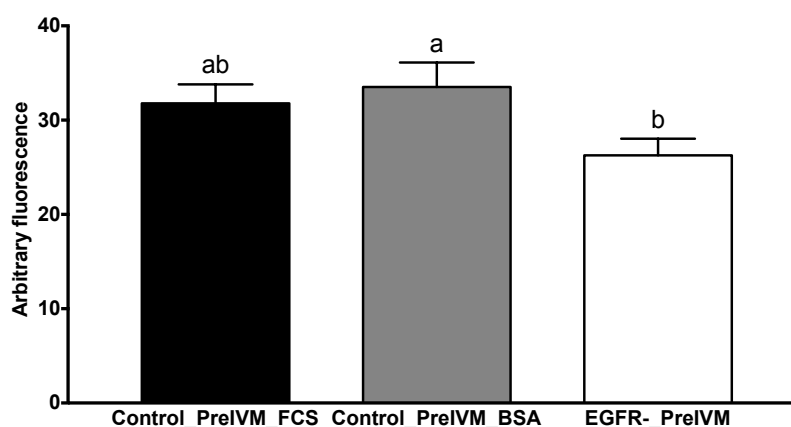


Figura 6. Conteúdo lipídico intracelular em oócitos bovinos pré-maturados por 8h com inibidor do EGFR e albumina sérica bovina (grupo EGFR-PreIVM) ou maturados por 8h em meio suplementado com soro fetal bovino (grupo Control_PreIVM_FCS) ou albumina sérica bovina (grupo Control_PreIVM_BSA). Os dados estão apresentados como média \pm EPM de 4 repetições. Letras distintas acima das barras indicam diferença significativa entre os tratamentos ($P < 0,05$).

3.6 Abundância relativa de transcritos nas células do cumulus

A abundância relativa de transcritos de 82 genes alvo avaliados neste estudo estão apresentadas na Tabela 5 em ΔCt . Além disso, os genes diferencialmente expressos também estão apresentados como *fold-change* relativo ao grupo Control_Immat, como detalhado acima. Os genes relacionados à maturação oocitária estão apresentados na Figura 7 [*Adenylate cyclase 3 (ADCY3)*, *Adenylate cyclase 6 (ADCY6)*, *Brain-derived neurotrophic factor (BDNF)*, *Epidermal growth factor - receptor (EGFR)*, *Follicle-stimulating hormone receptor (FSHR)*, *Guanylate cyclase 1 soluble beta 3 (GUCY1B3)*, *Inosine 5'-monophosphate dehydrogenase 1 (IMPDH1)*, *Inosine 5'-monophosphate dehydrogenase 2 (IMPDH2)*, *Mitogen-activated protein kinase (MAPK1)*, *Nitric oxide synthase 2 (NOS2)*, *Nitric oxide synthase 3 (NOS3)*, *Natriuretic peptide receptor 2 (NPR2)*, *Natriuretic peptide receptor 3 (NPR3)*, *Phosphodiesterase 5A (PDE5A)*, *Protein kinase C delta (PRKCD)*, *Regulator of G-protein signaling 2 (RGS2)*, *Signal transducer and activator of transcription 3 (STAT3)*]. Ao final da pré-maturação a expressão relativa diferiu ($P < 0,05$) em 3 dos 23 genes investigados (3 genes, *BDNF*, *EGFR* e *PRKCD* estavam *upregulated* comparando os grupos Control_Immat vs EGFR-PreIMV). No entanto, ao final da MIV, não foram observadas diferenças ($P > 0,05$) entre os Control_IVM e EGFR-IVM.

Os genes de expansão das células do cumulus estão apresentados na Figura 8 [*Gremlin 1 (GREM1)*, *Hyaluronan synthase 2 (HAS2)*, *Prostaglandin-endoperoxide synthase 2 (PTGS2/COX2)*, *Pentraxin 3 (PTX3)*, *Tumor necrosis factor alpha-induced protein 6 (TNFA1P6)*]. Ao final da pré-maturação, *GREM1* estava *upregulated* ($P < 0,05$) quando comparados os grupos Control_Immat vs EGFR-PreIMV e, ao final da MIV, *PTGS2/COX2*, foi *upregulated* ($P < 0,05$) no grupo EGFR-IVM comparado com Control_IVM.

Os genes de metabolismo estão apresentados na Figura 9 [*Glycine amidinotransferase (GATM)*, *Solute carrier family 2 (facilitated glucose transporter), member 1 (SLC2A1)*, *Solute carrier family 2 (facilitated glucose transporter), member 3 (SLC2A3)*, *Solute carrier family 2 (facilitated glucose transporter), member 4 (SLC2A4)*]. *SLC2A3* estava *downregulated* ($P < 0,05$) após a pré-maturação no grupo EGFR-PreIVM, enquanto que ao final da MIV, o *GATM* estava *upregulated*

($P < 0,05$) no grupo EGFR-IVM. Os genes do metabolismo lipídico estão apresentados na Figura 9 [*Fatty acid synthase (FASN)*, *Ferredoxin 1 (FDX1)*, *Glycerol-3-phosphate acyltransferase 3 (GPAT3)*], *GPAT3* estava *upregulated* ($P < 0,05$) no grupo EGFR-PreIVM comparado com Control_Immat. O gene do metabolismo da glicose está apresentado na Figura 9 [*Aldo-keto reductase family 1 member B1 (AKR1B1)*] e não foram observadas diferenças entre os tratamentos ($P > 0,05$).

Os genes relacionados à qualidade embrionária estão apresentados na Figura 10 [*Chloride intracellular channel 3 (CLIC3)*, *Insulin-like growth factor 1 receptor (IGF1R)*, *Insulin-like growth factor binding protein 2 (IGFBP2)*, *Lumican (LUM)*, *POU class 5 homeobox 1 (POU5F1)*]. Após a pré-maturação, *CLIC3* e *POU5F1* estavam *downregulated* enquanto que *IGF1R* e *LUM* estavam *upregulated* no grupo EGFR-PreIVM ($P < 0,05$). Após a MIV, *LUM* estava *upregulated* no grupo EGFR-IVM ($P < 0,05$). O gene de desenvolvimento embrionário está apresentado na Figura 10 [*S100 calcium binding protein A14 (S100A14)*] e estava *downregulated* após a pré-maturação no grupo EGFR-PreIVM ($P < 0,05$). Os genes relacionados à regulação epigenética estão apresentados na Figura 10 [*DNA (cytosine-5-)-methyltransferase 1 (Dnmt1)*, *DNA (cytosine-5-)-methyltransferase 3B (Dnmt3B)*, *H3 histone family 3B (H3F3B)*], o *H3F3B* estava *downregulated* após a pré-maturação no grupo EGFR-PreIVM ($P < 0,05$).

Os genes relacionados ao estresse do retículo endoplasmático estão apresentados na Figura 11 [*Activating transcription factor 4 (ATF4)*, *DNA-damage-inducible transcript 3 (DDIT3)*, *X-box binding protein 1 (XBP1)*], nós observamos a *downregulation* ($P < 0,05$) na expressão de todos estes genes após a pré-maturação no grupo EGFR-PreIVM. Os genes relacionados ao estresse oxidativo estão apresentados na Figura 11 [*Follicle-stimulating hormone receptor (FOXO3)*, *Glutamine-fructose-6-phosphate transaminase 2 (GFPT2)*, *Glutaredoxin 2 (GLRX2)*] e não apresentaram diferenças entre os grupos ($P > 0,05$) após a pré-maturação e após a MIV. Os genes de defesa antioxidante estão apresentados na Figura 11 [*Glutathione peroxidase 1 (GPX1)*, *Heat shock 70kDa protein 1A (HSPA1A)*], ambos estavam *downregulated* após a pré-maturação no grupo EGFR-PreIVM ($P < 0,05$). Os genes de apoptose estão apresentados na Figura 11 [*BCL2-associated X protein (BAX)*, *B-cell CLL/lymphoma 2 (BCL2)*, *Caspase 3 apoptosis-related cysteine peptidase (CASP3)*, *Caspase 9 apoptosis-related cysteine peptidase (CASP9)*,

Tumor necrosis factor receptor superfamily member 21 (TNFRSF21)], apenas o *TNFRSF21* estava *upregulated* no grupo EGFR-_{PreIVM} após a pré-maturação.

Tabela 6. Expressão gênica relativa (ΔCt) de células do cumulus bovinas derivadas de oócitos imediatamente após a remoção do folículo (Control_Immat), após 8h de pré-maturação com AG1478 (EGFR-_{PreIVM}), após 22h de MIV (Control_IVM) e após 8h de pré-maturação com AG1478 seguida de 22h de MIV (EGFR-_{IVM})

Gene	Grupo			
	Control_Immat	EGFR- _{PreIVM}	Control_IVM	EGFR- _{IVM}
Defesa antioxidante				
<i>CAT</i>	1.85±0.11	2.73±0.15	2.78±0.45	2.86±0.27
<i>GPX1</i>	-2.50±0.10 ^b	-1.42±0.19 ^a	-0.99±0.31 ^a	-1.20±0.16 ^a
<i>HSPA1A</i>	-0.10±0.25 ^b	4.37±0.18 ^a	4.22±0.56 ^a	3.69±0.35 ^{ab}
Apoptose				
<i>BAX</i>	2.07±0.18 ^a	2.07±0.08 ^a	1.14±0.31 ^b	1.49±0.20 ^{ab}
<i>BCL2</i>	11.69±0.48 ^a	9.58±0.41 ^{ab}	1.36±0.28 ^b	1.87±0.28 ^{ab}
<i>BID</i>	3.97±0.19	4.20±0.11	4.54±0.26	4.52±0.28
<i>CASP3</i>	5.35±0.06 ^a	4.85±0.05 ^{ab}	4.33±0.22 ^b	4.47±0.10 ^b
<i>CASP9</i>	4.32±0.09 ^a	4.06±0.10 ^{ab}	3.67±0.26 ^b	3.42±0.13 ^b
<i>TNFRSF21</i>	4.50±0.35 ^a	2.33±0.26 ^b	-0.54±0.20 ^c	0.09±0.29 ^c
<i>TP53</i>	3.49±0.10	3.10±0.18	3.67±0.30	3.57±0.21
Expansão das células do cumulus				
<i>GREM1</i>	5.60±0.34 ^a	2.10±0.21 ^b	5.96±0.65 ^a	6.58±0.00 ^a
<i>HAS2</i>	8.55±0.53 ^a	2.63±0.21 ^{ab}	-0.52±0.30 ^b	-0.37±0.18 ^b
<i>PTGS2/COX2</i>	7.06±0.04 ^a	6.45±0.07 ^a	4.14±0.27 ^b	2.52±0.30 ^c
<i>PTX3</i>	8.06±1.36 ^a	2.98±0.20 ^{ab}	1.77±0.28 ^{ab}	-0.46±0.30 ^b
<i>TNFAIP6</i>	9.16±1.50 ^a	4.99±0.16 ^{ab}	-2.49±0.31 ^b	-2.84±0.53 ^b
<i>VCAN</i>	-1.78±0.12	-3.55±0.22	-3.63±0.37	-3.71±0.12
Desenvolvimento embrionário				
<i>S100A10</i>	1.04±0.13	1.74±0.12	1.11±0.39	0.92±0.07
<i>S100A14</i>	2.18±0.18 ^b	3.63±0.05 ^a	2.93±0.38 ^{ab}	3.75±0.39 ^a
Estresse do retículo endoplasmático				
<i>ATF4</i>	1.24±0.23 ^b	2.18±0.14 ^a	1.85±0.24 ^{ab}	1.33±0.17 ^b
<i>DDIT3</i>	3.18±0.20 ^b	4.95±0.24 ^a	3.30±0.30 ^b	3.26±0.36 ^b
<i>XBP1</i>	1.13±0.10 ^b	2.40±0.11 ^a	0.76±0.39 ^b	1.04±0.25 ^b
Regulação epigenética				
<i>Dnmt1</i>	2.11±0.09 ^b	2.61±0.17 ^{ab}	2.75±0.17 ^{ab}	2.89±0.20 ^a
<i>Dnmt3A</i>	2.78±0.12	2.68±0.19	2.93±0.20	2.62±0.15
<i>Dnmt3B</i>	6.26±0.16 ^c	6.61±0.25 ^{bc}	7.61±0.22 ^a	7.27±0.28 ^{ab}
<i>H2AFZ</i>	-0.13±0.18	-0.76±0.27	-0.54±0.33	-0.13±0.22
<i>H3F3A</i>	3.05±0.43	2.60±0.11	2.62±0.24	2.33±0.14
<i>H3F3B</i>	-2.15±0.27 ^c	0.65±0.19 ^a	-0.41±0.27 ^b	-0.43±0.13 ^b
<i>HDAC2</i>	1.92±0.17	1.62±0.15	1.14±0.30	1.10±0.16
Metabolismo de glicose				
<i>AKR1B1</i>	-1.02±0.09 ^b	-0.22±0.13 ^b	1.68±0.32 ^a	1.92±0.18 ^a
<i>PFKP</i>	1.00±0.18	1.55±0.06	0.83±0.20	1.45±0.23
<i>PGK1</i>	-0.10±0.22	0.67±0.13	-0.14±0.25	0.12±0.27
Metabolismo lipídico				
<i>ACACA</i>	3.80±0.22	3.34±0.20	3.38±0.31	3.39±0.27
<i>AGPAT1</i>	0.65±0.14	0.67±0.12	0.03±0.31	0.13±0.12
<i>FASN</i>	0.21±0.11 ^b	0.19±0.06 ^b	1.30±0.32 ^a	0.91±0.16 ^{ab}
<i>FDX1</i>	3.88±0.19 ^a	3.62±0.16 ^{ac}	2.64±0.41 ^{bc}	2.37±0.17 ^b
<i>GPAT3</i>	2.81±0.19 ^a	1.86±0.23 ^b	0.84±0.27 ^c	0.78±0.19 ^c
<i>PPARA</i>	3.91±0.20	4.26±0.14	3.91±0.40	4.04±0.18

Metabolismo				
<i>ATP5L</i>	-0.44±0.12	-0.34±0.15	-0.48±0.35	-0.30±0.25
<i>G6PD</i>	1.53±0.07	0.89±0.14	1.11±0.33	1.13±0.15
<i>GATM</i>	2.79±0.12 ^c	2.07±0.20 ^c	4.96±0.36 ^a	3.81±0.11 ^b
<i>MTIF3</i>	5.49±0.12	5.59±0.27	5.83±0.23	5.83±0.29
<i>SLC2A1</i>	0.13±0.18 ^{ab}	0.56±0.19 ^a	-0.98±0.22 ^b	-0.57±0.54 ^{ab}
<i>SLC2A3</i>	-1.54±0.21 ^b	2.50±0.35 ^a	-0.02±0.47 ^{ab}	0.87±1.32 ^{ab}
<i>SLC2A4</i>	11.50±0.56 ^a	9.97±0.36 ^{ab}	5.35±0.22 ^b	5.70±0.33 ^{ab}
Maturação oocitária				
<i>ADCY3</i>	3.95±0.13 ^c	4.65±0.10 ^{bc}	5.54±0.23 ^a	5.04±0.23 ^{ab}
<i>ADCY6</i>	2.22±0.08 ^a	2.47±0.20 ^a	1.67±0.32 ^{ab}	1.00±0.23 ^b
<i>ADCY9</i>	3.32±0.20	3.60±0.20	4.10±0.28	3.71±0.13
<i>AREG</i>	14.40±0.08	9.04±0.52	9.10±0.33	8.32±0.38
<i>BDNF</i>	10.50±0.93 ^a	5.41±0.25 ^b	6.89±0.34 ^b	5.40±0.60 ^b
<i>BMP15</i>	7.06±0.94	7.29±1.13	10.90±0.39	8.68±1.41
<i>EGFR</i>	1.33±0.11 ^b	0.34±0.06 ^c	2.43±0.19 ^a	2.05±0.10 ^a
<i>FSHR</i>	1.32±0.04 ^b	2.10±0.11 ^{ab}	8.32±0.32 ^a	7.29±0.18 ^{ab}
<i>GUCY1B3</i>	5.61±0.12 ^b	6.58±0.29 ^{ab}	6.52±0.37 ^{ab}	6.91±0.31 ^a
<i>IMPDH1</i>	3.72±0.17 ^b	4.00±0.05 ^b	5.17±0.24 ^a	5.18±0.21 ^a
<i>IMPDH2</i>	1.28±0.09 ^b	1.64±0.15 ^b	2.60±0.17 ^a	2.63±0.15 ^a
<i>MAPK1</i>	2.46±0.16 ^a	1.99±0.20 ^{ab}	0.96±0.26 ^c	1.25±0.13 ^{bc}
<i>NOS2</i>	0.35±0.06 ^b	2.50±0.22 ^{ab}	5.54±0.21 ^a	5.42±0.26 ^a
<i>NOS3</i>	6.98±0.10 ^a	6.17±0.21 ^{ab}	5.61±0.36 ^{bc}	5.03±0.28 ^c
<i>NPPC</i>	10.80±1.10	11.30±0.48	9.28±0.32	9.79±0.47
<i>NPR1</i>	8.69±0.26	9.55±0.29	8.41±0.57	8.12±0.37
<i>NPR2</i>	2.80±0.16 ^c	3.19±0.11 ^{bc}	4.33±0.38 ^a	3.92±0.27 ^{ab}
<i>NPR3</i>	3.18±0.16 ^b	3.70±0.11 ^{ab}	8.23±0.20 ^a	8.01±0.12 ^a
<i>OOSP1</i>	8.98±1.19	8.12±1.28	7.87±0.25	7.51±0.78
<i>PDE5A</i>	10.40±0.72 ^a	2.76±0.37 ^{ab}	1.91±0.35 ^b	2.92±0.21 ^{ab}
<i>PRKCD</i>	6.14±0.16 ^a	5.07±0.17 ^b	4.77±0.30 ^b	4.79±0.23 ^b
<i>RGS2</i>	7.62±0.98 ^a	8.79±1.23 ^a	0.44±0.41 ^b	-0.10±0.08 ^b
<i>STAT3</i>	3.52±0.14 ^a	2.87±0.15 ^{ab}	2.17±0.25 ^{bc}	1.91±0.16 ^c
Estresse oxidativo				
<i>FOXO3</i>	4.15±0.09 ^a	4.25±0.07 ^a	3.98±0.34 ^{ab}	3.31±0.15 ^b
<i>GFPT2</i>	8.54±0.34 ^a	5.85±0.22 ^{ab}	-0.32±0.29 ^b	-0.27±0.26 ^b
<i>GLRX2</i>	3.40±0.09 ^a	2.95±0.16 ^a	1.68±0.26 ^b	1.79±0.24 ^b
<i>KEAP1</i>	2.06±0.10	2.15±0.19	1.84±0.31	1.83±0.17
<i>SOD1</i>	0.60±0.13	0.90±0.17	0.99±0.40	1.03±0.11
<i>TFAM</i>	4.94±0.19	4.40±0.30	4.27±0.28	4.12±0.16
Qualidade embrionária				
<i>CLIC3</i>	2.76±0.29 ^c	6.12±0.42 ^b	9.82±0.26 ^a	9.82±0.26 ^a
<i>IGF1R</i>	0.08±0.07 ^a	-1.28±0.15 ^b	-0.12±0.32 ^a	-0.39±0.18 ^a
<i>IGFBP2</i>	2.43±0.12 ^b	2.43±0.16 ^b	5.05±0.46 ^a	4.15±0.21 ^a
<i>KRT8</i>	2.98±0.14	1.55±0.21	1.64±0.15	2.44±0.65
<i>LUM</i>	5.73±0.10 ^a	4.28±0.25 ^b	2.34±0.29 ^c	0.46±0.44 ^d
<i>NDUFA1</i>	2.50±0.67	2.33±0.56	2.08±0.39	3.74±0.92
<i>POU5F1</i>	2.71±0.21 ^b	3.87±0.29 ^a	4.43±0.19 ^a	4.23±0.18 ^a
<i>PRDX1</i>	0.22±0.16	0.76±0.21	0.21±0.35	0.33±0.16
<i>PRDX3</i>	2.90±0.15	4.02±0.24	2.93±0.57	3.41±0.31

Os dados estão apresentados como média ± EPM de 4 repetições. Letras distintas na mesma linha indicam diferença significativa entre os tratamentos (P<0,05).

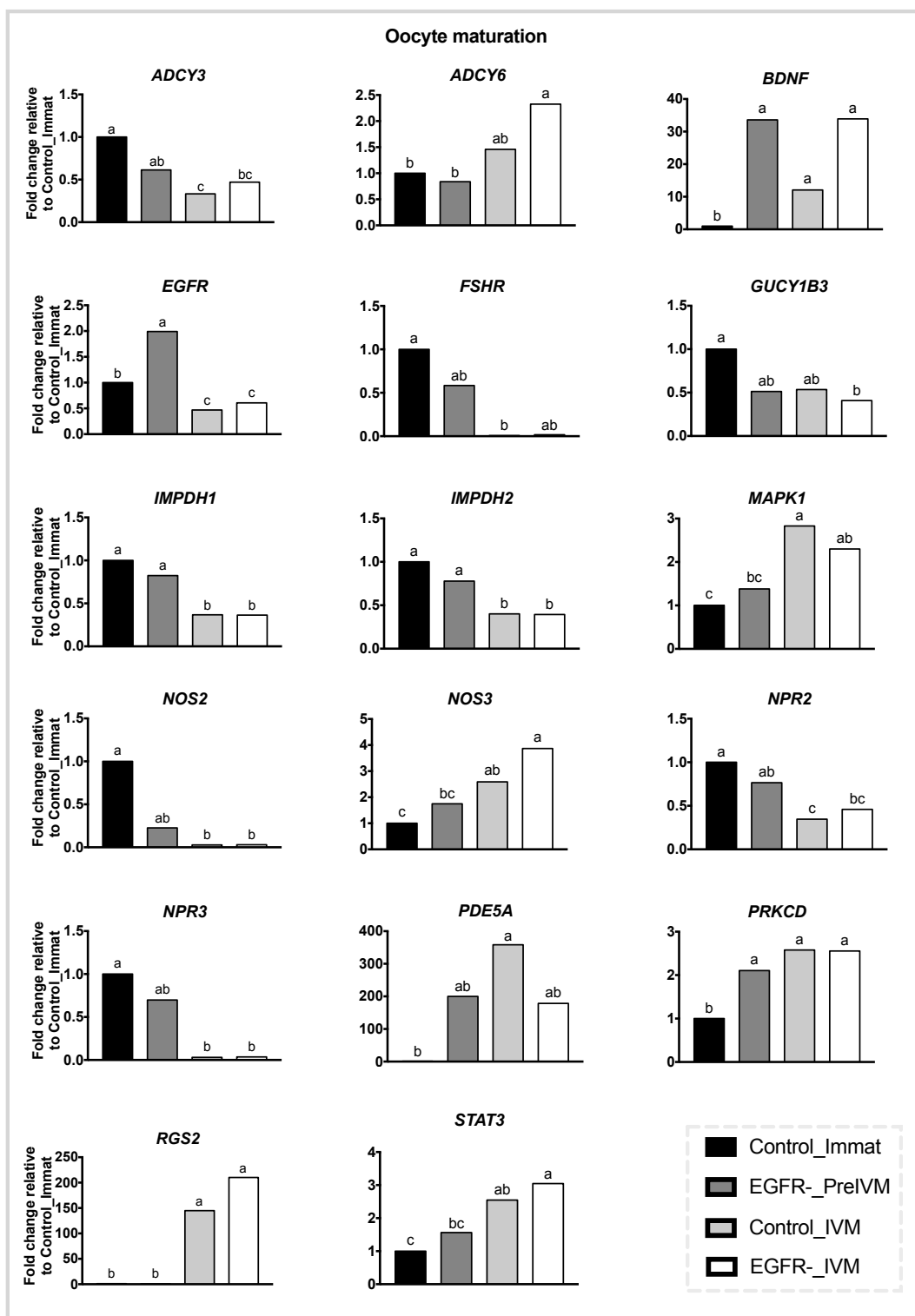


Figura 7. Genes relacionados à maturação oocitária, diferencialmente expressos em células do cumulus bovinas derivadas de oócitos imediatamente após a remoção do folículo (Control_Immat), após 8h de pré-maturação com AG1478 (EGFR-PreIVM), após 22h de MIV (Control_IVM) e após 8h de pré-maturação com AG1478 seguida de 22h de MIV (EGFR-IVM). Os dados estão apresentados como *fold-change* relativo ao grupo Control_Immat. Letras distintas acima das barras indicam diferença entre os tratamentos ($P < 0,05$).

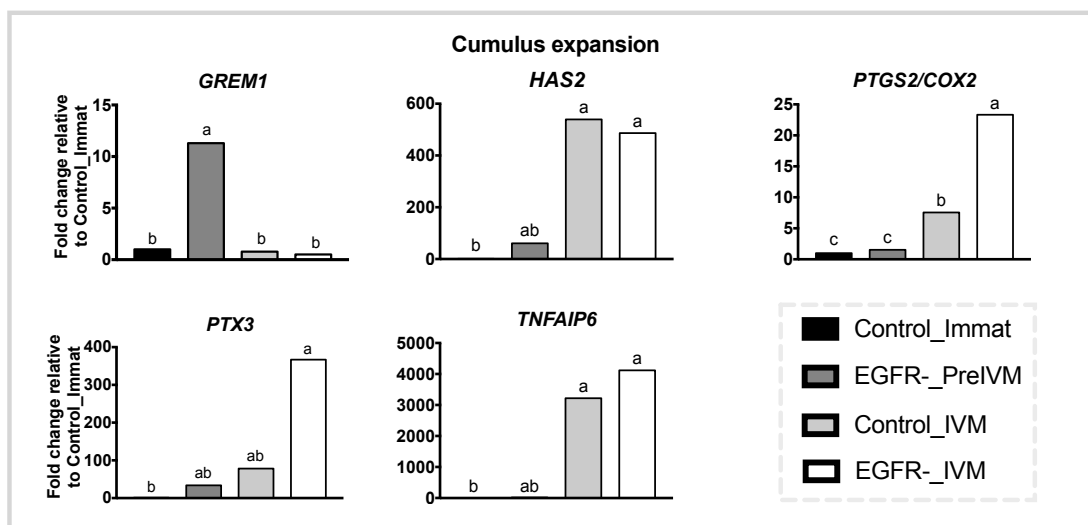


Figura 8. Genes relacionados à expansão das células do cumulus, diferencialmente expressos em células do cumulus bovinas derivadas de oócitos imediatamente após a remoção do folículo (Control_Immat), após 8h de pré-maturação com AG1478 (EGFR-PreIVM), após 22h de MIV (Control_IVM) e após 8h de pré-maturação com AG1478 seguida de 22h de MIV (EGFR_IVM). Os dados estão apresentados como *fold-change* relativo ao grupo Control_Immat. Letras distintas acima das barras indicam diferença entre os tratamentos ($P < 0,05$).

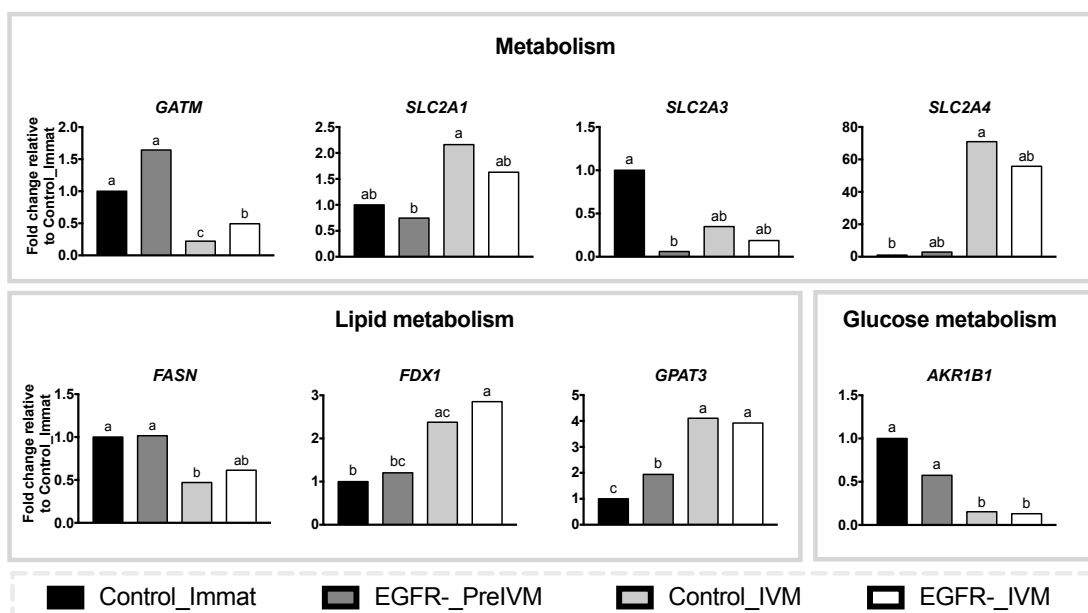


Figura 9. Genes relacionados ao metabolismo, metabolismo lipídico e metabolismo de glicose, diferencialmente expressos em células do cumulus bovinas derivadas de oócitos imediatamente após a remoção do folículo (Control_Immat), após 8h de pré-maturação com AG1478 (EGFR-PreIVM), após 22h de MIV (Control_IVM) e após 8h de pré-maturação com AG1478 seguida de 22h de MIV (EGFR_IVM). Os dados estão apresentados como *fold-change* relativo ao grupo Control_Immat. Letras distintas acima das barras indicam diferença entre os tratamentos ($P < 0,05$).

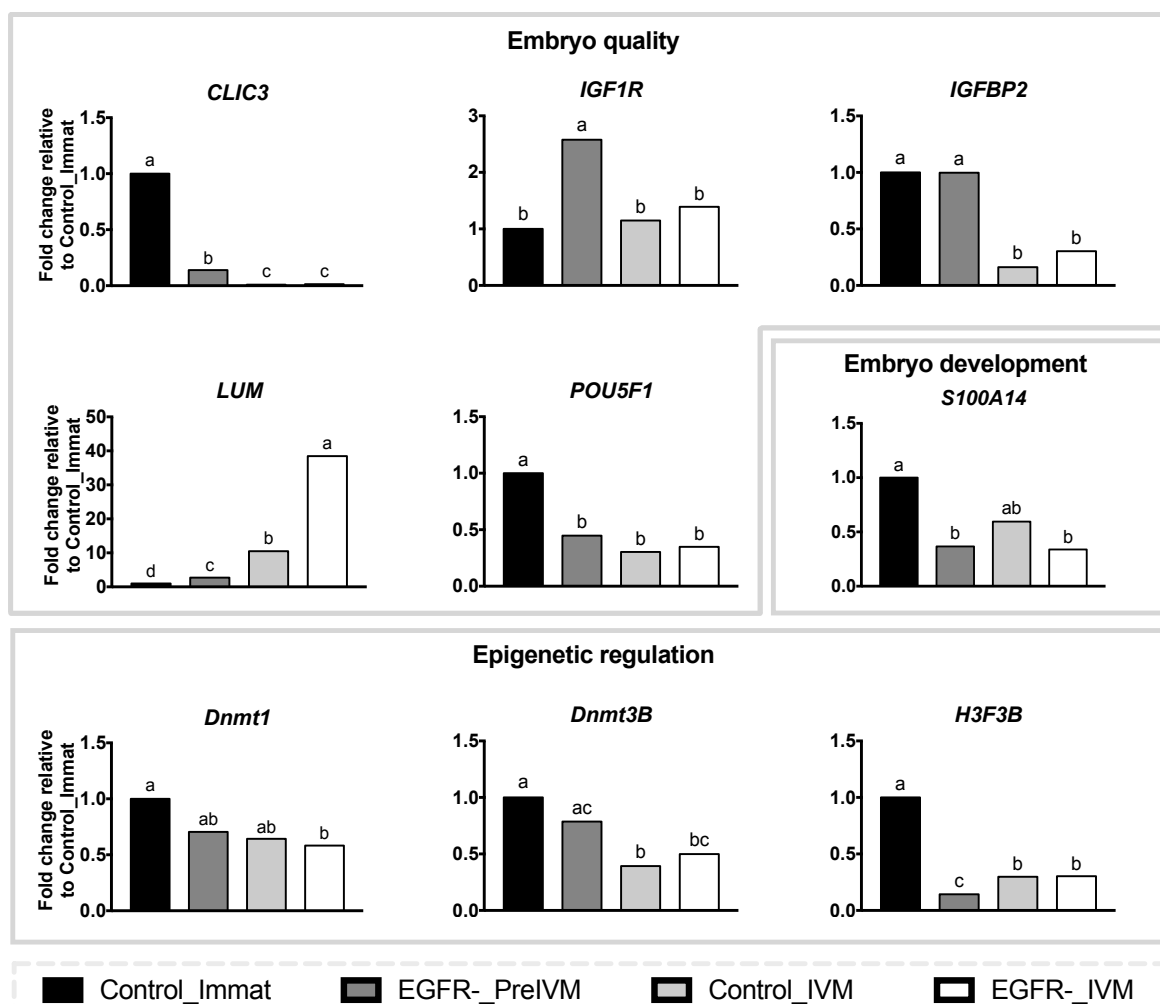


Figura 10. Genes relacionados à qualidade embrionária, desenvolvimento embrionário e regulação epigenética, diferencialmente expressos em células do cumulus bovinas derivadas de oócitos imediatamente após a remoção do folículo (Control_Immat), após 8h de pré-maturação com AG1478 (EGFR-PreIVM), após 22h de MIV (Control_IVM) e após 8h de pré-maturação com AG1478 seguida de 22h de MIV (EGFR-IVM). Os dados estão apresentados como *fold-change* relativo ao grupo Control_Immat. Letras distintas acima das barras indicam diferença entre os tratamentos ($P < 0,05$).

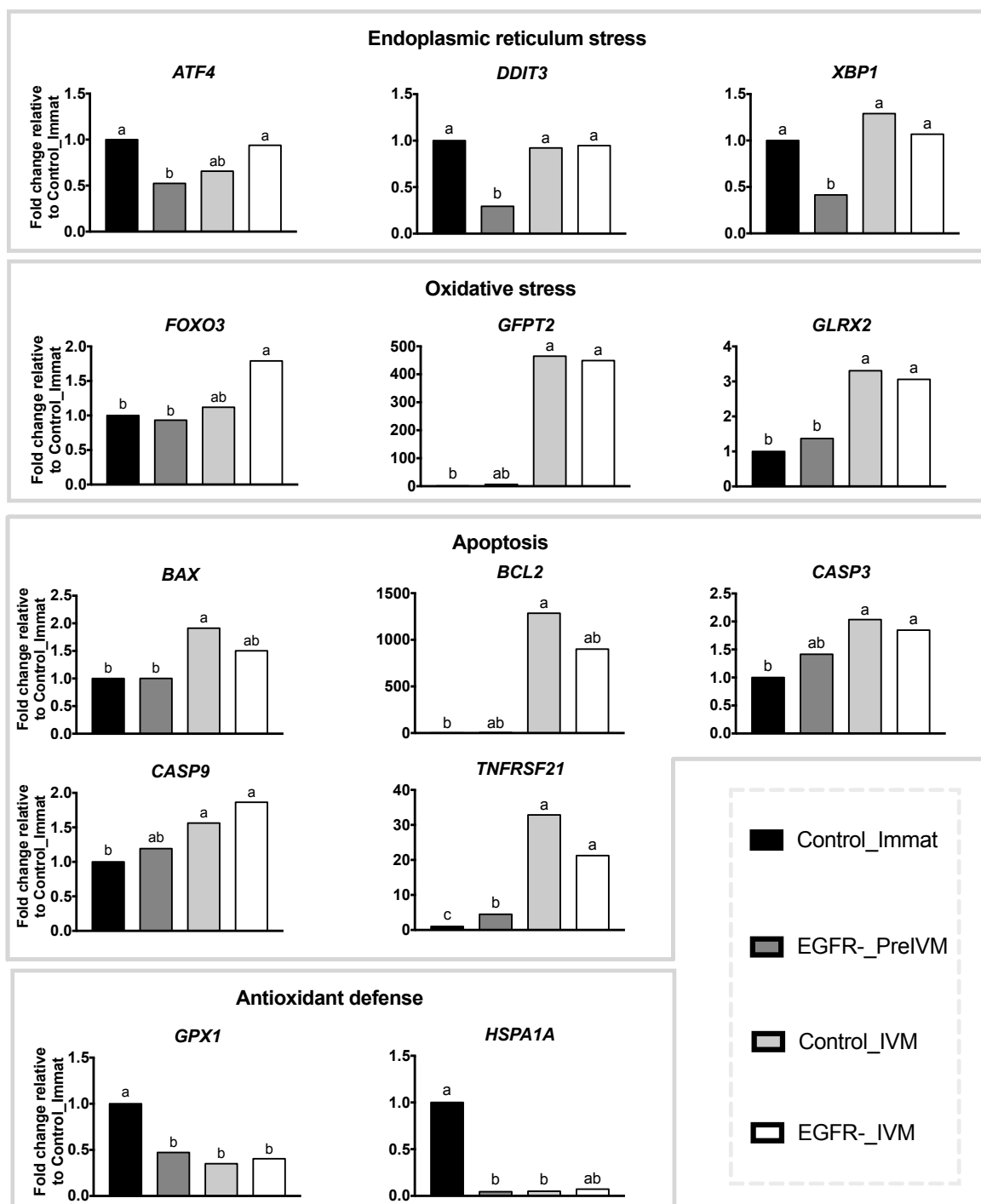


Figura 11. Genes relacionados ao estresse do retículo endoplasmático, estresse oxidativo, apoptose e defesa antioxidante, diferencialmente expressos em células do cumulus bovinas derivadas de oócitos imediatamente após a remoção do folículo (Control_Immat), após 8h de pré-maturação com AG1478 (EGFR-PreIVM), após 22h de MIV (Control_IVM) e após 8h de pré-maturação com AG1478 seguida de 22h de MIV (EGFR-IVM). Os dados estão apresentados como *fold-change* relativo ao grupo Control_Immat. Letras distintas acima das barras indicam diferença entre os tratamentos ($P < 0,05$).

4 Discussão

A pré-maturação é uma estratégia de cultivo que foi estabelecida visando a manutenção dos oócitos por um maior período de tempo com a meiose bloqueada no estágio de GV, ao mesmo tempo em que mantém a integridade da comunicação entre oócito e células somáticas via junções *gap*. A intenção dessa estratégia é que, devido ao maior período de tempo em cultivo, o oócito seja capaz de adquirir maior competência para o desenvolvimento (Gilchrist, 2011). Com base nessa proposta, o presente estudo foi desenvolvido para testar a eficácia do bloqueio do EGFR sobre a meiose e competência do oócito bovino pré-maturado com um inibidor do EGFR, o qual ainda não foi estudado com este objetivo em bovinos.

Os resultados demonstraram que, embora o bloqueio do EGFR nas células do cumulus não tenha sido capaz de manter o bloqueio meiótico oocitário na mesma proporção daqueles oócitos imaturos recém removidos do folículo ovariano (86.8% de GV em oócitos do grupo Control_Immat vs. 53.1% em oócitos do grupo EGFR-PreIVM), proporcionou maior taxa de manutenção em GV do que nos oócitos não submetidos à pré-maturação (32.4% Control_PreIVM). Assim, o tratamento proposto foi parcialmente efetivo na manutenção do bloqueio da meiose, contudo, foi demonstrado que oócitos em GV exibem diferentes padrões de configuração da cromatina [classificadas de GV0 (padrão filamentososo difuso) a GV3 (nível máximo de condensação)], que estão associados à diferentes graus de atividade transcricional, competência meiótica e de desenvolvimento do oócito (Lodde *et al.*, 2007). No presente estudo, a avaliação dos padrões de configuração da cromatina evidenciaram que o grupo EGFR-PreIVM apresentou a maior parte dos oócitos em GV1, diferentemente dos oócitos do grupo Control_PreIVM que estavam majoritariamente em GV3. Isso pode ser potencialmente benéfico, considerando que oócitos em GV1 ainda apresentam certa capacidade de transcrição (Lodde *et al.*, 2007), contrariamente aos oócitos que já tenham progredido até GV3, devido à condensação rápida e prematura da cromatina, associada à interrupção da atividade transcricional e diminuição da competência oocitária (Blondin *et al.*, 1997; Bilodeau-Goeseels, 2011; Luciano *et al.*, 2011; Lodde *et al.*, 2013). De acordo com nosso conhecimento, não existem outros estudos na literatura que tenham correlacionado o tratamento de oócitos bovinos com inibidores do EGFR durante a pré-maturação

com os padrões de condensação da cromatina no estágio de GV, de forma que este é o primeiro relato que demonstra um potencial efeito benéfico da pré-maturação sobre a atenuação da condensação rápida e progressiva que ocorre prematuramente em oócitos submetidos aos procedimentos de maturação *in vitro*.

Além disso, o posterior cultivo de MIV permitiu que esses oócitos retomassem e completassem a meiose de forma satisfatória, apresentando taxas de MII semelhantes aos grupos Control_IVM cultivados por 22 ou 30 horas. Todavia, oócitos maturados *in vitro* por períodos de tempo prolongados (acima de 26 horas) estão sujeitos ao envelhecimento, que leva ao aumento da taxa de degeneração (Heinzmann *et al.*, 2015) e à diminuição da competência oocitária para o desenvolvimento embrionário (Koyama *et al.*, 2014). Na estratégia de cultivo oocitário delineada para o presente estudo, os oócitos foram mantidos em cultivo por um total de 30 horas, sendo 8 horas em cultivo de pré-maturação seguido por mais 22 horas de MIV, de forma que o período estendido de cultivo poderia levar ao envelhecimento dos oócitos. Todavia, os resultados demonstraram menores taxas de degeneração nos oócitos pré-maturados do que naqueles cultivados por período prolongado sem prévio cultivo de pré-maturação (2,3% EGFR_IVM vs. 9,1% Control_IVM_30h), sugerindo que os oócitos não envelhecem pelo cultivo prolongado. Estes resultados corroboram com Nunes (2018) que avaliou a pré-maturação por 8h com inibidor do peptídeo natriurético do tipo C e sugeriu outro efeito benéfico da pré-maturação além do anteriormente discutido, que é a manutenção da viabilidade do oócito por período de tempo maior do que o padronizado para os procedimentos de PIV, visando, por exemplo, o transporte de oócitos obtidos por aspiração folicular de doadoras mantidas em fazendas distantes do laboratório e também quando há interesse do laboratório em sincronizar o momento de fecundação *in vitro* de oócitos colhidos em momentos diferentes, visando a otimização na utilização de palhetas de sêmen de elevado valor comercial.

Dentre os genes envolvidos na maturação oocitária, foi observada maior expressão de *EGFR* após a pré-maturação no grupo EGFR_PreIVM que poderia estar envolvido com maturação (Park *et al.*, 2004; Reizel *et al.*, 2010), porém como houve um bloqueio parcial, podemos sugerir que o aumento da expressão do gene não está relacionado com a formação do receptor ou que a transcrição deste gene pode ter sido estimulada pelo bloqueio dos receptores existentes. Também foi observada maior expressão de *BDNF*, que está relacionado com oócitos mais

competentes, por melhorar a maturação nuclear e citoplasmática (Kawamura et al., 2005).

A expansão das células do cumulus é um evento da maturação oocitária, caracterizado pela presença de um revestimento compacto e sem expansão em oócitos imaturos e o cumulus expandido nos oócitos maduros (Silva et al., 2011). Assim como foi encontrado neste estudo, demonstrando que a pré-maturação foi eficaz em retardar a expansão das células do grupo EGFR-PreIVM ao mesmo tempo em que retardou a maturação nuclear e, ao final do cultivo de MIV, os oócitos de ambos os grupos apresentaram o grau máximo de expansão, compatível com o final da maturação.

Essa expansão é mediada pelos fatores EGF-like mediante o estímulo do LH e ativação do EGFR que induzem a expressão de genes nas células do cumulus, os quais são responsáveis pela formação da matriz extracelular, como *HAS2*, *PTX3*, *TNFAIP6* e *PTGS1*, levando à expansão das células do cumulus (Shimada et al., 2006). Dentre os genes de expansão avaliados, a expressão foi semelhante entre os grupos Control_Immat e EGFR-PreIVM, indicando que o bloqueio do EGFR impediu a expressão destes genes, assim como já foi relatado na literatura em outras espécies (Ashkenazi et al., 2005; Park et al., 2004; Reizel et al., 2010). Como consequência, não foi observado aumento da expansão das células, que está diretamente relacionado com o fechamento das junções *gap* (Norris et al., 2010; Sugimura et al., 2015). Desta forma, a possível manutenção da integridade das junções *gap* durante a pré-maturação pode ser benéfica para a aquisição de competência oocitária (Gilchrist et al., 2016).

As gotas de lipídios citoplasmáticas são formadas por uma camada central de lipídios neutros, composta predominantemente por triglicérides e colesterol e uma camada externa de fosfolipídios e proteínas (Welte, 2015). As gotas de lipídios são importantes para a manutenção da homeostase de energia e do metabolismo lipídico; são utilizadas pelas células como fonte de energia, para a formação de membranas e como moléculas sinalizadoras (Welte, 2015). Sabe-se que a MIV favorece o acúmulo lipídico (Aardema et al., 2011), porém nós observamos que o tratamento com EGFR- durante a pré-maturação proporcionou uma redução significativa do conteúdo lipídico, a qual pode ter sido modulada pelo suplemento proteico do meio de cultivo e não pelo tratamento, uma vez que o cultivo com FCS favorece a incorporação e o estoque de lipídios citoplasmáticos em comparação com

o cultivo em meio livre de soro (Kim *et al.*, 2001). Portanto, decidimos avaliar a pré-maturação comparando os meios suplementados com FCS ou BSA e observamos que mesmo no meio suplementado com BSA o tratamento com EGFR- apresentou menor conteúdo lipídico após 8h de pré-maturação, demonstrando um efeito do tratamento e não do suplemento proteico.

Porém, após a MIV, verificamos um aumento no conteúdo lipídico no grupo EGFR-IVM em comparação com o grupo Control-IVM que pode ser devido a ativação de um mecanismo compensatório, devido à diminuição do acúmulo lipídico durante a pré-maturação, relacionado com aumento da expressão de *GPAT3*, que está envolvido na síntese de glicerolipídios (Bertolesi *et al.*, 2012), contribuindo para a formação das gotas de lipídios (Welte, 2015). Essas gotas são o estoque de lipídios citoplasmáticos, os quais são metabolizados nas mitocôndrias pela via da b-oxidação para produzir ATP conforme a necessidade das células (Welte, 2015) e, como eles são necessários para a proliferação das células da granulosas, produção de matriz extracelular e maturação nuclear (Dunning *et al.*, 2014), eles podem ter sido consumidos durante a MIV.

Dos genes de metabolismo, a maior expressão de *GATM* foi observada após a MIV e já foi correlacionada com maior capacidade de desenvolvimento (Bunel *et al.*, 2015), sendo que a expressão aumenta nas células do cumulus dos oócitos durante o período de *coasting* (Bunel *et al.*, 2014). E, apesar da diminuição da expressão de *SLC2A3* após a pré-maturação e do envolvimento da glicose na qualidade oocitária (Sutton-McDowall *et al.*, 2010), os demais genes relacionados ao metabolismo de glicose não foram alterados pelo tratamento e após a MIV.

Com relação ao desenvolvimento embrionário, foi observado que o aumento da expressão do gene *LUM* está relacionado com oócitos que irão se desenvolver até a fase de 8 células, ao passo que a diminuição na expressão de *CLIC3* está correlacionada com o desenvolvimento até o estágio de blastocisto (Bunel *et al.*, 2015), assim como a maior abundância de *IGF1R* está relacionada com oócitos de melhor qualidade (Sales *et al.*, 2015). *POU5F1* também está relacionado com a competência oocitária e deficiências na expressão dele levam à mortalidade embrionária (Regassa *et al.*, 2011), porém não foi observada diferença na expressão deste gene após a MIV. Além disso, a menor expressão de *H3F3B* deve ser melhor investigada, uma vez que em oócitos o knockout é letal (Tang *et al.*, 2015).

Os genes de estresse do retículo endoplasmático apresentaram menor abundância relativa ao final da pré-maturação. Assim como os de defesa antioxidante, *GPX1*, que é responsável por neutralizar o peróxido de hidrogênio (Cagnone & Sirard, 2016) e, *HSPA1A*.

Em conclusão, o tratamento com o inibidor do EGFR durante a pré-maturação proporcionou a manutenção de maiores taxas de oócitos em GV1 e menores em GV3, sugerindo aquisição de maior competência destes oócitos por atenuar a condensação rápida e progressiva da cromatina, o que, possivelmente, possa ter retardado o silenciamento da atividade transcricional. Além disso, foi observado menor grau de expansão das células do cumulus, associado a manutenção da expressão dos genes relacionados à expansão das células do cumulus em oócitos tratados semelhante aos oócitos imaturos, assim como a funcionalidade das junções *gap* que foi mantida durante o período de pré-maturação. Ao mesmo tempo, o posterior cultivo de MIV permitiu a retomada da meiose e o término da maturação nuclear de forma satisfatória sem os prejuízos observados no cultivo por tempo prolongado sem o tratamento de pré-maturação.

5 Referências

Aardema H, Vos PLAM, Lolicato F, Roelen BAJ, Knijn HM, Vaandrager AB, Helms JB, Gadella BM (2011) Oleic acid prevents detrimental effects of saturated fatty acids on bovine oocyte developmental competence. **Biology of Reproduction** 85:62–69. doi: 10.1095/biolreprod.110.088815.

Albarracín JL, Morató R, Izquierdo D, Mogas T (2005) Vitrification of calf oocytes: Effects of maturation stage and prematuration treatment on the nuclear and cytoskeletal components of oocytes and their subsequent development. **Molecular Reproduction and Development** 72:239-249. doi: 10.1002/mrd.20326.

Albuz FK, Sasseville M, Lane M, Armstrong DT, Thompson JG, Gilchrist RB (2010) Simulated physiological oocyte maturation (SPOM): a novel *in vitro* maturation system that substantially improves embryo yield and pregnancy outcomes. **Human Reproduction** 25:2999-3011. doi: 10.1093/humrep/deq246.

Ashkenazi H, Cao X, Motola S, Popliker M, Conti M, Tsafiri A (2005) Epidermal growth factor family members: endogenous mediators of the ovulatory response. **Endocrinology** 146:77-84. doi:0.1210/en.2004-0588.

Bertolesi GE, Iannattone S, Johnston J, Zaremborg V, McFarlane (2012) Identification and expression analysis of *GPAT* family genes during early development of *Xenopus laevis*. **Gene Expression Patterns** 12:219-227. doi:10.1016/j.gep.2012.04.002.

Bilodeau-Goeseels S (2011) Cows are not mice: The role of cyclic AMP, phosphodiesterases, and adenosine monophosphate-activated protein kinase in the

maintenance of meiotic arrest in bovine oocytes. **Molecular Reproduction and Development** 78:734-743. doi: 10.1002/mrd.21337.

Blondin P, Coenen K, Guilbault LA, Sirard MA (1997) *In vitro* production of bovine embryos: developmental competence is acquired before maturation. **Theriogenology** 47:1061-1075. doi: 10.1016/S0093-691X(97)00063-0.

Bunel A, Jorssen EP, Merckx E, Leroy JL, Bols PE, Sirard MA (2015) Individual bovine *in vitro* embryo production and cumulus cell transcriptomic analysis to distinguish cumulus-oocyte complexes with high or low developmental potential. **Theriogenology** 83:228-237. doi: 10.1016/j.theriogenology.2014.09.019.

Bunel A, Nivet AL, Blondin P, Vigneault C, Richard FJ, Sirard MA (2014) Cumulus cell gene expression associated with pre-ovulatory acquisition of developmental competence in bovine oocytes. **Reproduction, Fertility and Development** 26:855-865. doi: 10.1071/RD13061.

Cagnone G, Sirard MA (2016) The embryonic stress response to *in vitro* culture: insight from genomic analysis. **Reproduction** 152:R247-R261. doi: 10.1530/REP-16-0391.

Da Rosa PRA, De Cesaro MP, Dau AMP, Duggavathi R, Bordignon V, Gonçalves PBD (2017) Reversible meiotic arrest of bovine oocytes by EGFR inhibition and follicular hemisections. **Theriogenology** 99:53-62. doi: 10.1016/j.theriogenology.2017.05.014.

Dall'Acqua PC, Leão BCS, Rocha-Frigoni NAS, Gottardi FP, Mingoti GZ (2017) Delaying meiotic resumption during transportation of bovine cumulus-oocyte

complexes: effects on development, apoptosis and caspases activity of in vitro-produced embryos. **Zygote** 25:740-450. doi: 10.1017/S0967199417000636.

Dekel N (2005) Cellular, biochemical and molecular mechanism regulating oocyte maturation. **Molecular and Cellular Endocrinology** 234:19-25. doi: 10.1016/j.mce.2004.09.010.

Dieci C, Lodde V, Franciosi F, Lagutina I, Tessaro I, Modena SC, Albertini DF, Lazzari G, Galli C, Luciano AM (2013) The effect of cilostamide on gap junction communication dynamics, chromatin remodeling, and competence acquisition in pig oocytes following parthenogenetic activation and nuclear transfer. **Biology of Reproduction** 89:68. doi:10.1095/biolreprod.113.110577.

Dieci C, Lodde V, Labreque R, Dufort I, Tessaro I, Sirard MA, Luciano AM (2016) Differences in cumulus cell gene expression indicate the benefit of a pre-maturation step to improve in-vitro bovine embryo production. **Molecular Human Reproduction** 22:882–897. doi: 10.1093/molehr/gaw005.

Dunning KR, Russell DL, Robker RL (2014). Lipids and oocyte developmental competence: the role of fatty acids and β -oxidation. **Reproduction** 148 R15-R27. doi: 10.1530/REP-13-0251.

Ferreira EM, Vireque AA, Adona PR, Meirelles FV, Ferriani RA, Navarro PAAS (2009) Cytoplasmic maturation of bovine oocytes: Structural and biochemical modifications and acquisition of developmental competence. **Theriogenology** 71:836-848. doi: 10.1016/j.theriogenology.2008.10.023.

Franciosi F, Coticchio G, Lodde V, Tessaro I, Modena SC, Fadini R, Dal Canto M, Renzini MM, Albertini DF, Luciano AM (2014) Natriuretic peptide precursor C delays meiotic resumption and sustains gap junction-mediated communication in bovine cumulus-enclosed oocytes. **Biology of Reproduction** 91:61 doi: 10.1095/biolreprod.114.118869.

Genicot G, Leroy JLMR, Van Soom A, Donnay I (2005) The use of a fluorescent dye, Nile red, to evaluate the lipid content of single mammalian oocytes. **Theriogenology** 63 1181-1194. doi:10.1016/j.Theriogenology.2004.06.006.

Gilchrist (2011) Recent insights into oocyte-follicle cell interactions provide opportunities for the development of new approaches to in vitro maturation. **Reproduction, Fertility and Development** 23:23-31. doi: 10.1071/RD10225.

Gilchrist RB, Luciano AM, Richani D, Zeng HT, Wang X, De Vos M, Sugimura S, Smitz J, Richard FJ, Thompson JG (2016) Oocyte maturation and quality: role of cyclic nucleotides. **Reproduction** 152:R143-R157. doi: 10.1530/REP-15-0606.

Heinzmann J, Matter F, Aldag P, Bernal-Ulloa SM, Schneider T, Haaf T, Niemann H (2015). Extended in vitro maturation affects gene expression and DNA methylation in bovine oocytes. **Molecular Human Reproduction** 21 770-782. doi: 10.1093/molehr/gav040.

Hendriksen PJM, Vos PLAM, Steenweg WNM, Bevers NM, Dieleman SJ (2000) Bovine follicular development and its effect on the in vitro competence of oocytes. **Theriogenology** 53:11-20. doi: 10.1016/S0093-691X(99)00236-8.

Jamnongjit M, Gill A, Hammes SR (2005) Epidermal growth factor receptor signaling is required for normal ovarian steroidogenesis and oocyte maturation. **PNAS** 102:16257-16262. doi: 10.1073/pnas.0508521102.

Kawamura K, Kawamura N, Mulders SM, Gelpke MDS, Hsueh AJW (2005) Ovarian brain-derived neurotropic factor (BDNF) promotes the development of oocytes into preimplantation embryos. **PNAS** 102 9206-9211. doi: 10.1073 pnas.0502442102.

Kim JY, Kinoshita M, Ohnishi M, Fukui Y (2001) Lipid and fatty acid analysis of fresh and frozen-thawed immature and in vitro matured bovine oocytes. *Reproduction* 122 131-138. doi: 10.1530/rep.0.1220131.

Koyama K, Kang SS, Huang W, Yanagawa Y, Takahashi Y, Nagano M (2014) Aging-related changes in in vitro-matured bovine oocytes: oxidative stress, mitochondrial activity and ATP content after nuclear maturation. *Journal of Reproduction and Development* 60 136-142. doi: 10.1262/jrd.2013-115.

Lodde V, Modina S, Galbusera C, Franciosi F, Luciano AM (2007) Large-scale chromatin remodeling in germinal vesicle bovine oocytes: interplay with gap junction functionality and developmental competence. **Molecular Reproduction and Development** 74:740–749. doi: 10.1002/mrd.20639.

Lodde V, Franciosi F, Tessaro I, Modina SC, Luciano AM (2013) Role of gap junction-mediated communication in regulating large-scale chromatin remodeling and embryonic developmental competence acquisition in fully grown bovine oocyte. **Journal of Assisted Reproduction and Genetics** 30:1219-1226. doi: 10.1007/s10815-013-0061-7.

Luciano AM, Franciosi F, Modena SC, Lodde V (2011) Gap junction-mediated communications regulate chromatin remodeling during bovine oocyte growth and differentiation through cAMP-dependent mechanism(s). **Biology of Reproduction** 85:1252-1259. doi: 10.1095/biolreprod.111.092858.

Mehlmann LM (2005) Stops and starts in mammalian oocytes: recent advances in understanding the regulation of meiotic arrest and oocyte maturation. **Reproduction** 130:791-799. doi: 10.1530/rep.1.00793.

Norris RP, Freudzon M, Mehlmann LM, Cowan AE, Simon AM, Paul DL, Lampe PD, Jaffe LA (2008) Luteinizing hormone causes MAP kinase-dependent phosphorylation and closure of connexin 43 gap junctions in mouse ovarian follicles: one of two paths to meiotic resumption. **Development** 135:3229-3238. doi: 10.1242/dev.025494.

Norris RP, Freudzon M, Nikolaev VO, Jaffe LA (2010) EGF receptor kinase activity is required for gap junction closure and for part of the decrease in ovarian follicle cGMP in response to luteinizing hormone. *Reproduction* 140 655-662. doi:10.1530/REP-10-0288.

Norris RP, Ratzan WJ, Freudzon M, Mehlmann LM, Krall J, Movsesian MA, Wang H, Ke H, Nikolaev VO, Jaffe LA (2009) Cyclic GMP from the surrounding somatic cells regulates cyclic AMP and meiosis in the mouse oocyte. **Development** 136:1869-1878. doi: 10.1242/dev.035238.

Nunes GB (2018) Acúmulo de transcritos em células do cumulus cultivadas na presença do precursor do peptídeo natriurético tipo C e seus efeitos sobre a maturação e aquisição da competência do oócito na espécie bovina. 51 f. Dissertação (Mestrado em Medicina Veterinária) – Unesp, Jaboticabal.

Park JY, Su YQ, Ariga M, Law E, Jin SL, Conti M (2004) EGF-like growth factors as mediators of LH action in the ovulatory follicle. **Science** 303:682–684. doi: 10.1126/Science.1092463.

Prochazka R, Blaha M, Němcová L (2017) Significance of epidermal growth factor receptor signaling for acquisition of meiotic and developmental competence in mammalian oocytes. **Biology of Reproduction** 97:537-549. doi: 10.1093/biolre/iox112.

Razza EM, Sudano MJ, Fontes PK, Franchi FF, Belaz KRA, Santos PH, Castilho ACS, Rocha DFO, Eberlin MN, Machado MF, Nogueira MF (2018) Treatment with cyclic adenosine monophosphate modulators prior to in vitro maturation alters the lipid composition and transcript profile of bovine cumulus-oocyte complexes and blastocysts. **Reproduction, Fertility and Development** Apr 23. doi: 10.1071/RD17335.

Reizel Y, Elbaz J, Dekel N (2010) Sustained activity of the EGF receptor is an absolute requisite for LH-induced oocyte maturation and cumulus expansion. **Molecular Endocrinology** 24:402-411. doi: 10.1210/me.2009-0267.

Regassa A, Rings F, Hoelker M, Cinar U, Tholen E, Looft C, Schellander K, Tesfaye D (2011) Transcriptome dynamics and molecular cross-talk between bovine oocyte and its companion cumulus cells. **BMC Genomics** 12 57. doi: 10.1186/1471-2164-12-57.

Rizos D, Ward F, Duffy P, Boland MP, Lonergan P (2002) Consequences of bovine oocyte maturation, fertilization or early embryo development in vitro versus in vivo:

Implications for blastocyst yield and blastocyst quality. **Molecular Reproduction and Development** 61:234-248. doi: 10.1002/mrd.1153.

Sales JNS, Iguma LT, Batista RITP, Quintão CCR, Gama MAS, Freitas C, Pereira MM, Camargo LSA, Viana JHM, Souza JC, Baruselli PS (2015) Effects of a high-energy diet on oocyte quality and in vitro embryo production in *Bos indicus* and *Bos taurus* cows. **Journal of Dairy Science** 98:3086-3099. doi: 10.3168/jds.2014-8858.

Shimada M, Umehara T, Hoshino Y (2016) Roles of epidermal growth factor (EGF)-like factor in the ovulation process. **Reproductive Medicine and Biology** 15:201-216. doi: 10.1007/s12522-016-0236-x.

Silva IO, Vasconcelos RB, Caetano JVO, Gulart LVM, Camargo LSA, Bão SN, Silva AAMR (2011) Induction of reversible meiosis arrest of bovine oocytes using a two-step procedure under defined and nondefined conditions. **Theriogenology** 75: 1115-1124. doi: 10.1016/j.theriogenology.2010.11.021.

Sirard MA (2018) 40 years of bovine IVF in the new genomic selection context. **Reproduction** 156 R1-R7. doi: 10.1530/REP-18-0008.

Sugimura S, Ritter LJ, Rose RD, Thompson JG, Smitz J, Mottershead DG, Gilchrist RB (2015) Promotion of EGF receptor signaling improves the quality of low developmental competence oocytes. **Developmental Biology** 403:139-149. doi: 10.1016/j.ydbio.2015.05.008.

Sutton-McDowall ML, Gilchrist RB, Thompson JG (2010) The pivotal role of glucose metabolism in determining oocyte developmental competence. **Reproduction** 139:685-695. doi: 10.1530/REP-09-0345.

Tang MCW, Jacobs SA, Mattiske DM, Soh YM, Graham AN, Tran A, Lim SL, Hudson DF, Kalitsis, O'Bryan MK, Wong LH, Mann JR (2015) Contribution of the two genes encoding histone variant H3.3 to viability and fertility in mice. **PLOS Genetics** 11:e1004964. doi: 10.1371/journal.pgen.1004964.

Vaccari S, Weeks II JL, Hsieh M, Menniti FS, Conti M (2009) Cyclic GMP signaling is involved in the luteinizing hormone-dependent meiotic maturation of mouse oocytes. **Biology of Reproduction** 81:595-604. doi: 10.1095/biolreprod.109.077768.

Vanderhyden BC, Caron PJ, Buccione R, Eppig JJ (1990) Developmental pattern of the secretion of cumulus expansion-enabling factor by mouse oocytes and the role of oocytes in promoting granulosa cell differentiation. **Developmental Biology** 140:307-317.

Vandesompele J, De Preter K, Pattyn F, Poppe B, Van Roy N, De Paepe A, Speleman F (2002) Accurate normalization of real-time quantitative RT-PCR data by geometric averaging of multiple internal control genes. **Genome biology** 3 RESEARCH0034.

Welte MA (2015) Expanding roles for lipid droplets. **Current Biology** 25 R470-R481. doi: 10.1016/j.cub.2015.04.004.

1 **CAPÍTULO 3 - Differences in embryonic gene expression and quality indicate the benefit of**
2 **epidermal growth factor receptor inhibitor during prematuration to improve**
3 **competence in bovine oocytes ***

4

5 **1. Title page**

6 Title: Differences in embryonic gene expression and quality indicate the benefit of epidermal growth
7 factor receptor inhibitor during prematuration to improve competence in bovine oocytes

8

9 Authors names and full addresses:

10 Priscila Chediek Dall'Acqua^{1,2}, Giovana Barros Nunes^{1,2}, Cíntia Rodrigues da Silva², Patrícia Kubo
11 Fontes³, Marcelo Fábio Gouveia Nogueira^{3,4}, Flávia Lombardi Lopes², Márcia Marinho², Gisele Zoccal
12 Mingoti^{1,2}

13 ¹ São Paulo State University (Unesp), School of Agricultural and Veterinarian Sciences, Department of
14 Preventive Medicine and Animal Reproduction, Jaboticabal, São Paulo, Brazil

15 ² São Paulo State University (Unesp), School of Veterinary Medicine, Laboratory of Reproductive
16 Physiology, Araçatuba, São Paulo, Brazil

17 ³ São Paulo State University (Unesp), Institute of Biosciences, Department of Pharmacology,
18 Botucatu, São Paulo, Brazil

19 ⁴ São Paulo State University (Unesp), School of Sciences, Humanities and Languages, Department of
20 Biological Sciences, Assis, São Paulo, Brazil

21

22 Corresponding authors postal and email address:

23 GZ Mingoti. Universidade Estadual Paulista (UNESP), School of Veterinary Medicine, Department of
24 Animal Health, Araçatuba 16050-680, São Paulo, Brazil. Tel: +55 18 3636 1375. Fax: +55 18 3636
25 1352. E-mail:gmingoti@fmva.unesp.br

26

27 Short title: Role of EGFR inhibition in oocyte competence

28

29

30 2. Abstract

31 The epidermal growth factor receptor (EGFR) pathway is directly involved in oocyte meiotic
32 resumption induced by a gonadotropic stimulus. Here, we used an EGFR inhibitor (AG1478) to inhibit
33 spontaneous meiosis resumption in bovine oocytes (EGFR- group) during 8 hours prematuration and
34 assessed the competence of such oocytes for embryonic development, lipid metabolism, apoptosis
35 and gene expression in comparison to Control group which was not prematurated. Data are presented
36 as mean±SEM. Blastocysts rate on day 7 (40.81%, averaged) and hatching rate on day 9 (77.35%,
37 averaged) were unaffected by treatment ($P>0.05$). Similarly, treatment did not affect ($P>0.05$) the total
38 cell number on day 7 (119.05, averaged) and on day 9 (189.5, averaged). Apoptosis was reduced
39 ($P<0.05$) in EGFR- group day 7-embryos compared to Control group (3.7 ± 1.0 vs 5.2 ± 0.8). Abundance
40 of several transcripts was upregulated ($P<0.05$) in EGFR- group, including genes related to embryo
41 development and quality (*NANOG* and *RPLP0*), epigenetic regulation (*H2AFZ*), metabolism
42 (*ACSL1*, *GPAT3*, *FADS2*, *FASN*, *FDX1* and *HMGCS1*), apoptosis (*BID*) and stress response (*GPX4*
43 and *HIF1A*). Lipid content did not differ between treatments ($P>0.05$) in day 7- (1.0, averaged) and in
44 day 9-embryos (0.35, averaged). Taken together, the results presented here demonstrated a reduction
45 in the apoptosis index and upregulation of *NANOG*, *H2AFZ* and *RPLP0* mRNA levels, which are
46 related to embryonic development. Our data suggest that temporary meiosis blockage with EGFR
47 inhibitor during prematuration culture of bovine oocytes may be an interesting strategy to improve
48 embryo quality.

49

50

51

52

53

54

55

56

57

58

59 3. Introduction

60 *In vitro* embryo production (IVP) in cattle has been carried out commercially on a large scale,
61 but the technology has not yet reached the observed rates of *in vivo* embryo production since only
62 about 32% of the *in vitro* fertilized oocytes develop to the blastocyst stage (Perry, 2016). It is largely
63 accepted that the lower efficiency of IVP is mainly due to the use of a heterogeneous population of
64 oocytes collected from antral follicles at different stages of their growth (Franciosi *et al.*, 2014). This is
65 due to the fact that oocytes used in IVP are generally recovered from ovaries of unstimulated animals
66 at random stages of the estrous cycle, regardless of whether the purpose is for research, where
67 oocytes are from ovaries obtained from slaughterhouses, or for commercial purposes, where oocytes
68 are obtained through follicular aspiration of live donors. In cattle, the oocytes recovered from follicles
69 with a diameter greater than 2-3 mm have reportedly acquired the ability to resume meiosis and
70 complete nuclear maturation, which means that they have acquired the meiotic competence (Lodde *et al.*
71 *et al.*, 2007). However, the ability to sustain fertilization and the early stages of embryo development,
72 termed developmental competence, is gradually acquired by the oocyte as the follicle grows from 3
73 mm to 10 mm (Lodde *et al.*, 2007; Blondin *et al.*, 2012). Therefore, not all oocytes belonging to a
74 heterogeneous population placed in culture for purposes of assisted reproduction have the essential
75 components that allow their complete maturation and subsequent fertilization and full-term embryo
76 development.

77 During follicular development, the oocytes maintained in prophase I (germinal vesicle (GV)
78 stage) communicates with somatic cells through the gap junctional and paracrine mechanisms and
79 accumulates the products necessary for fertilization and initial embryonic development (Albertini *et al.*,
80 2003; Sirard, 2011; Lodde *et al.*, 2007; Sanchez & Smitz, 2012; Gilchrist *et al.*, 2016). Previous
81 studies have indicated that the acquisition of oocyte competence involves the remodeling of the
82 chromatin in the GV stage (Albertini *et al.*, 2003; Lodde *et al.*, 2007). In bovine oocytes, four chromatin
83 configurations corresponding to different stages of developmental competence were described,
84 namely GV0 to GV3 (Lodde *et al.*, 2007). Uncondensed chromatin (GV0 configuration) is found in
85 growing oocytes from early antral follicles (up to 2 mm), while the other three patterns of chromatin
86 configuration (from GV1 to GV3) have been characterized in fully-grown oocytes isolated from 2–6
87 mm middle antral follicles (Lodde *et al.*, 2007). During the progression in chromatin compaction, the

88 oocyte exhibits morphological changes in the nuclear and cytoplasmic compartments and a
89 progressive decrease in transcriptional activity (Lodde *et al.*, 2007). Thus, oocytes in GV0 have limited
90 meiotic competence and those in GV2 and GV3 stages have greater developmental capacity
91 compared to oocytes in GV1 stage (Lodde *et al.*, 2007; Dieci *et al.*, 2016).

92 Removal of the bovine oocyte from the follicular environment for the purpose of IVP promotes
93 precocious meiotic resumption (Gilchrist & Thompson, 2007) and the short duration of *in vitro*
94 maturation (IVM) culture, compared to *in vivo* maturation may be insufficient for some oocytes, within
95 the heterogeneous population placed in culture, to complete the nuclear and cytoplasmic maturation in
96 a synchronized way. Consequently, not all *in vitro* matured oocytes can accumulate the necessary
97 transcripts to promote embryonic development until the embryonic genome activation. In order to
98 avoid this drastic change in the physiological sequence of the events that may compromise the
99 acquisition of oocyte competence (Blondin *et al.*, 1997; Bilodeau-Goeseels, 2011), a temporary
100 inhibition of spontaneous meiotic resumption has been proposed (Albuz *et al.*, 2010; Li *et al.*, 2016).
101 The reason behind this approach, called prematuration, is to extend the IVM culture period
102 maintaining the integrity of the functional gap-junction communications.

103 There are several options of drugs that can be used to stimulate a gradual chromatin
104 transition while maintaining gap junctions open during prematuration culture. The most effective drugs
105 reported in the literature are those that prevent a decrease in the level of intra-oocyte cyclic adenosine
106 monophosphate (cAMP) levels by stimulating cAMP synthesis, such as forskolin, or by inhibiting the
107 phosphodiesterase, an enzyme that degrades cAMP, such as cilostamide, milrinone or 3-isobutyl-1-
108 methyl-xanthine (Melhmann, 2005; Albuz *et al.*, 2010; Franciosi *et al.*, 2014; Dieci *et al.*, 2016;
109 Dall'Acqua *et al.*, 2017; Razza *et al.*, 2018). More recently, the natriuretic peptide precursor C (NPPC)
110 has also been investigated, as this drug indirectly prevents the decrease of cAMP levels by stimulating
111 cyclic guanosine monophosphate (cGMP) synthesis (Franciosi *et al.*, 2014). Although most of these
112 studies have reported an increase in the production and especially in the quality of the embryo, results
113 are still modest, which encourages searches for new drugs.

114 More recently, the use of epidermal growth factor receptor (EGFR) inhibitors has been
115 suggested, which seems to be an interesting and novel alternative in cattle (Da Rosa *et al.*, 2017). The
116 actions of luteinizing hormone (LH) in the ovary are mediated by the EGFR pathway, which modulates

117 the traffic of second messengers, as cAMP and cGMP, between granulosa cells and oocyte through
118 gap-junction communications (Jamnongjit *et al.*, 2005). The coupling of LH to its specific receptors
119 (LHCGR) located in the plasma membrane of follicular cells (Prochazka *et al.*, 2017) promotes
120 secretion of EGF-like factors epiregulin, amphiregulin and betacelulin by granulosa cells (Park *et al.*,
121 2004). The binding of these factors to EGFR in granulosa and cumulus cells activates the EGFR
122 tyrosine-kinase, and the auto-phosphorylation of specific tyrosine residues contents result in the
123 phosphorylation of target proteins and in the activation of other pathways (Park *et al.*, 2004), including
124 mitogen-activated protein kinase (MAPK) and natriuretic peptides (NPs) pathways (Pangione *et al.*,
125 2008; Zhang *et al.*, 2014). As a consequence, this cascade of cellular events results in the resumption
126 of meiosis with germinal vesicle breakdown (GVBD), cumulus cell expansion and closure of
127 intercellular gap junctions (Reizel *et al.*, 2010; Nagyova, 2012; Prochazka *et al.*, 2012).

128 In the present study, we hypothesized that inhibition of EGFR during a prematuration culture
129 could provide additional time for the acquisition of developmental competence of the bovine oocyte,
130 improving the yield and quality of produced embryos. Therefore, the objective of the present study was
131 to investigate the development, apoptotic status, lipid content and gene expression of embryos
132 derived from oocytes treated with an inhibitor of EGFR during prematuration.

133

134 **4. Materials and Methods**

135 All chemicals and reagents were obtained from Sigma-Aldrich (St. Louis, MO, USA), unless
136 otherwise stated. The study was approved by the Bioethical Committee of the São Paulo State
137 University (Unesp), School of Agricultural and Veterinarian Sciences, Jaboticabal, SP, Brazil, under
138 protocol number 12354/15.

139

140 *COC collection and selection*

141 Bovine ovaries were obtained from a local abattoir and transported to the laboratory in sterile
142 saline solution at 30-35°C. Cumulus-oocyte complexes (COC) were retrieved from antral follicles (2-8
143 mm) with an 18-G needle and syringe. Collected COC were washed and selected in centrifuged
144 follicular fluid supplemented with 75 µg/mL penicillin-streptomycin to prevent the immediate

145 resumption of meiosis. Only COC surrounded by at least four layers of compact cumulus cells and
146 homogenous granulated ooplasm were used in this study.

147

148 *Prematuration and IVM*

149 The COC treated with EGFR (EGFR- group) were cultured *in vitro* in 100 μ L droplets of pre-
150 IVM medium (TCM199 supplemented with 0.2 mM pyruvate, 25 mM sodium bicarbonate, 50 μ g/mL
151 amikacin, 0.3% BSA and 1 μ M of the EGFR inhibitor, AG1478) covered with mineral oil (25 COC per
152 droplet) for 8 hours at 38.5°C, 5% CO₂ in air and maximum humidity. Thereafter, treated COC were
153 washed several times in the same medium without the inhibitor aiming the complete removal of the
154 inhibitor and placed in IVM medium [TCM199 supplemented with 0.2 mM pyruvate, 25 mM sodium
155 bicarbonate, 50 μ g/mL amikacin, 0.5 μ g/mL follicle stimulating hormone (FSH; Folltropin-V; Bioniche
156 Animal Health, Ontario, Canada), 100 UI/mL human chorionic gonadotropin (hCG; Vetecor; Hertape
157 Calier, Juatuba, MG, Brazil) and 10% fetal calf serum (FCS; Gibco BRL, Grand Island, NY, USA)]
158 covered with mineral oil. Oocytes from the Control group were placed in the IVM culture medium after
159 their removal from the follicles, without being submitted to the prematuration culture. COC from both
160 experimental groups were matured for 22 hours at 38.5°C, 5% CO₂ in air and maximum humidity. A
161 schematic representation of the experimental groups and the evaluations carried out in this study is
162 shown in Figure 1.

163

164 *In vitro embryo production*

165 Following IVM, COC were *in vitro*-fertilized (IVF) and the embryos were cultured for up to 9
166 days. Motile spermatozoa were obtained by centrifuging frozen-thawed semen through a
167 discontinuous Percoll density gradient (45% over 90%; GE Healthcare, Uppsala, Sweden) for 5 min at
168 2500 *g* at room temperature. Spermatozoa (2×10^6 cells/mL) were added to the fertilization droplet
169 containing 100 μ L fertilization medium (TALP-IVF, which consisted of 0.2 mM pyruvate, 25 mM
170 sodium bicarbonate, 13 mM sodium lactate, 50 μ g/mL amikacin, 6 mg/mL BSA fatty acid free, 10
171 μ g/mL heparin, 20 μ M penicillamine, 10 μ M hypotaurine and 2 μ M epinephrine) covered with mineral
172 oil. The COC (25 per droplet) and spermatozoa were co-incubated for 8 hours at 38.5°C and 5% CO₂
173 in humidified air. The day of IVF was defined as Day 0 (D0).

174 After fertilization, the presumptive zygotes were stripped from excessive cumulus cells by
175 vortexing and transferred to 100 μ L droplets of modified synthetic oviduct fluid (mSOF) supplemented
176 with 0.2 mM L-glutamine, 0.34 mM sodium citrate, 2.8 mM myo-inositol, 2% BME essential
177 aminoacids, 1% MEM non-essential aminoacids, 0.2 mM pyruvate, 50 μ g/mL amikacin, 5 mg/mL BSA
178 fraction V and 2.5% FCS. The embryo culture was performed at 38.5°C and 5% CO₂ in humidified air
179 up to 9 days. Cleavage rate was assessed at 72 h post-insemination (h.p.i.), blastocyst rate was
180 assessed at 168 h.p.i. (D7) and hatching rate was assessed at 216 h.p.i. (D9).

181

182 *Assessment of apoptosis*

183 The terminal deoxynucleotidyl transferase dUTP nick-end labeling (TUNEL) assay was
184 performed to assess apoptotic rates in D7 embryos (blastocysts and expanded blastocysts), by using
185 the *In Situ* Cell Death Detection Kit (Fluorescein; Roche Diagnostics, Indianapolis, IN, USA), as
186 previously described (Rocha-Frigoni *et al.*, 2014). Following the TUNEL reaction, embryos were
187 washed twice in PBS-PVP and transferred to glass slides with mounting medium for fluorescence with
188 DAPI (Vectashield with DAPI, Vector Laboratories, Inc. Burlingame, CA). Slides were observed under
189 an epifluorescence inverted microscope (IX51; Olympus, 20X magnification) at excitation and
190 emission wavelengths of 510 and 590 nm, respectively. Nuclei with green–yellow fluorescence were
191 considered TUNEL positive (fragmented DNA), whereas blue fluorescence (DAPI) indicated the total
192 number of cells.

193

194 *Quantification of intracellular lipid content*

195 In order to evaluate the intracytoplasmic lipid content, expanded D7 blastocysts and hatched
196 D9 embryos were stained with Nile Red, a lipid specific fluorescent dye that fluoresces yellow (580–
197 596, 590 nm peak fluorescence) when detects neutral lipids, like triglycerides (lipid droplets), while
198 fluorescing in the orange spectrum (597–620, 600 nm peak fluorescence) to detect polar lipids, like
199 phospholipid bilayers (Genicot *et al.*, 2005). The procedures were adapted from a previously
200 described protocol (Genicot *et al.*, 2005). Briefly, embryos were fixed in 4% paraformaldehyde solution
201 for 1 hour at room temperature, washed and transferred to 1 μ g/mL Nile Red for 30 min. Embryos
202 were then washed and mounted in glass slides with mounting medium for fluorescence with DAPI.

203 Images were acquired under an epifluorescence inverted microscope (IX51; Olympus) at 20X
204 magnification. The excitation and emission wavelengths were respectively 515-575 nm and 560-680
205 nm for Nile Red observations (thus, detecting neutral lipids), and 330-385 nm and 520 nm for DAPI
206 observations. The ImageJ software (1.49v) was used to quantify the area and intensity of pixels from
207 embryos. Background signal intensity was subtracted from the measured values of the treatment
208 micrographs. For each embryo, staining intensity for Nile Red (expressed as arbitrary fluorescence
209 units – AFU) was normalized to the DNA (DAPI), enabling means and standard errors of the means
210 (SEM) to be calculated. In addition, the total cell number from embryos stained with DAPI was counted
211 in these slides.

212

213 *RNA extraction and messenger RNA reverse transcription*

214 Total RNA was extracted from a pool of 10 D7-expanded blastocysts with the RNeasy Micro
215 Kit (Qiagen, Valencia, CA, USA) following the manufacturer's instructions, including DNase treatment.
216 Elution was performed in 20 µL-DEPC water. Total RNA concentration was evaluated by NanoDrop
217 (Thermo Fisher Scientific, Wilmington, DE, USA) and the RNA integrity was assessed using a 2100-
218 Bioanalyzer (Agilent Technologies, Santa Clara, CA, USA) with the RNA 6000 Pico Kit (Agilent
219 Technologies). Reverse transcription (RT) was performed using the High-Capacity cDNA reverse
220 transcription kit with RNase inhibitor (Thermo Fisher Scientific, Wilmington, DE, USA), according to
221 the manufacturer's instructions. Briefly, for each 10 µL of RNA were added 2 µL of 10X Reverse
222 Transcription Buffer, 0.8 µL of 25X dNTPs, 2 µL of 10X random primers, 1 µL of MultScribe Reverse
223 Transcriptase, 1 µL of RNase inhibitor and 3.2 µL of nuclease-free water. The reaction was performed
224 in PRC200 DNA Engine Thermal Cycler (MJ Research, CA, EUA) for 10 min at 25°C, 120 min at
225 37°C, 5 min at 85°C and 4°C to end. The cDNA samples were stored at -20°C until gene expression
226 analysis.

227

228 *Gene expression analysis by RT-qPCR*

229 Gene expression analysis was performed using the Biomark HD System (Fluidigm, South San
230 Francisco, CA, USA). We analyzed the mRNA abundance of 96 genes specific for *Bos taurus*. The
231 evaluated genes are presented in Table 1, according to functional categories.

232 Prior to RT-qPCR analysis, each cDNA sample was submitted to sequence-specific
233 preamplification process with 1.25 μ L assay mix (Taqman® Assay was pooled to a final concentration
234 of 0.2X for each of the 96 assays), 2.5 μ L TaqMan PreAmp Master Mix (Applied Biosystems,
235 #4391128) and 1.25 μ L cDNA (5ng/ μ L). Reactions were activated at 95°C for 10 min followed by
236 denaturation at 95°C for 15 s, annealing and amplification at 60°C for 4 min in 14 cycles. These
237 preamplified products were diluted 6-fold prior to qPCR analysis.

238 For gene expression analysis, each sample solution prepared consisted of 2.25 μ L cDNA
239 (preamplified products), 2.5 μ L of TaqMan Universal PCR Master Mix (2X, Applied Biosystems) and
240 0.25 μ L of 20X GE Sample Loading Reagent (Fluidigm), and the assay solution consisted of 2.5 μ L of
241 20X TaqMan Gene Expression Assay (Applied Biosystems) and 2.5 μ L of 2X Assay Loading Reagent
242 (Fluidigm). The 96.96 Dynamic Array™ Integrated Fluidic Circuits (Fluidigm) chip was used to data
243 collection. After priming, the chip was loaded with 5 μ L of each assay solution and 5 μ L of each
244 sample solution. The qPCR thermal cycling was performed in the Biomark HD System using the
245 protocol TaqMan GE 96x96 Standard, that consisted of one stage of Thermal Mix (50°C for 2 min,
246 70°C for 20 min and 25°C for 10 min) followed by a Hot-Start stage (50°C for 2 min and 95°C for 10
247 min), followed by 40 cycles of denaturation (95°C for 15 s), primer annealing and extension (60°C for
248 60 s).

249 Analysis was performed in four independent biological replicates and the cycle threshold (Ct)
250 values were calculated by the Biomark Real Time PCR software (Fluidigm). Assay included beta actin
251 (*ACTB*), beta-2-microglobulin (*B2M*), glyceraldehyde-3-phosphate dehydrogenase (*GAPDH*),
252 hypoxanthine phosphoribosyltransferase 1 (*HPRT1*), peptidylprolyl isomerase A (*PPIA*) and succinate
253 dehydrogenase complex flavoprotein subunit A (*SDHA*) as putative endogenous control genes, whose
254 transcript abundance stability were analyzed by ANOVA and the GeNorm algorithm (Vandesompele *et*
255 *al.*, 2002). Thus, the endogenous controls chosen for this study were the most stable genes (*ACTB*
256 and *HPRT1*) considering no significant differences after ANOVA test and a M-value less than 1.5. The
257 Δ Ct values were calculated by the geometric mean of the reference genes and were used for the
258 statistical analysis. The Δ Ct values of target samples were normalized to the control samples to
259 generate $\Delta\Delta$ Ct. For graphical representation, the fold-changes were calculated by the $2^{-\Delta\Delta$ Ct in
260 relation to control group.

261 The differentially expressed genes with a $P < 0.05$ and fold change > 1.5 and < -1.5 were
262 uploaded to Ingenuity Pathway Analysis (IPA®, Qiagen) software for the clustering of genes into
263 common biological, cellular and molecular functions. Functions were considered significant when
264 $P < 0.05$ and were adjusted based on Benjamini-Hochberg correction for multiple testing. The function
265 analysis generated statistically significant predictions, based on z-score, for increased or decreased
266 activity in several cellular functions, allowing the identification of predicted regulators associated to the
267 changes found at the transcript level.

268

269 *Statistical analysis*

270 All experiments were repeated at least three times, in independent replicates. Within each
271 replicate, embryonic *in vitro* development (rates of cleavage and development to the blastocyst stage)
272 was calculated as the percentages of total COC subjected to IVM. The normality of the residues was
273 tested by Shapiro-Wilk's test. Data stated as percentages were arcsine-transformed before the
274 analysis. Relative gene expression levels were analyzed after the calculation of the expression ΔCt
275 followed by a logarithmic transformation when needed.

276 Data analysis was performed by Student's t test or Mann Whitney's test. The variation of
277 embryonic intracellular lipid content over time was analyzed by linear regression, with Y arbitrary
278 fluorescence and X time.

279 All data are expressed as means \pm standard error of the mean (SEM). Differences between
280 treatments with $P < 0.05$ were considered significant.

281

282 **5. Results**

283

284 *Prematuration with EGFR inhibitor do not affect oocyte competence for the production of bovine* 285 *embryos*

286 Developmental rates of oocytes treated or not with an inhibitor of EGFR are presented in
287 Table 2. Treatment had no effect on cleavage rates ($P = 0.28$), embryonic development to the
288 blastocyst stage at D7 ($P = 0.39$) and hatching at D9 ($P = 0.66$). Similarly, the number of blastomeres in
289 expanded D7- ($P = 0.62$) and hatched D9-blastocysts ($P = 0.18$) did not differ between treatments.

290

291 *Apoptosis index is decreased in blastocysts produced from oocytes prematured with EGFR inhibitor*

292 The percentage of apoptotic cells (proportion of TUNEL-positive blastomeres) in D7
293 blastocysts is presented in Figure 2. A decrease ($P=0.046$) in the apoptosis index was observed in
294 embryos derived from oocytes treated with EGFR- during prematuration (3.7 ± 1.0) when compared to
295 the Control group (5.2 ± 0.8).

296

297 *Intracellular lipid content is not altered in blastocysts produced from oocytes prematured with EGFR*
298 *inhibitor*

299 Illustrative images of blastocysts stained with Nile Red are presented in Figure 3. Under the
300 conditions used for analysis, mainly neutral lipids (lipid droplets) were detected in embryos. The
301 intracellular lipid content on D7 (1.0 AFU, averaged; $P=0.15$) and D9 (0.35 AFU, averaged; $P=0.11$)
302 embryos was similar between treatments (Figure 3). However, linear regression analysis showed a
303 significant reduction ($P<0.05$) on lipid content over time for both the Control and EGFR- groups, with
304 an R square value of 1 (Figure 3).

305

306 *Prematuration with EGFR alters the relative transcript abundance in blastocysts*

307 Among the 86 genes evaluated in the present study (Table 3), the transcript levels of 12
308 genes were upregulated ($P<0.05$) in D7 expanded blastocysts derived from oocytes prematured with
309 the EGFR inhibitor (EGFR- group) compared to the Control group (Figure 4). Genes affected by the
310 treatment are associated with metabolism [Acyl-CoA Synthetase Long Chain Family Member 1
311 (*ACSL1*; $P=0.04$), 1-Acylglycerol-3-Phosphate O-Acyltransferase 3 (*GPAT3*; $P=0.005$), Fatty Acid
312 Desaturase 2 (*FADS2*; $P=0.01$), Fatty acid synthase (*FASN*; $P=0.02$), Ferredoxin 1 (*FDX1*; $P=0.03$)]
313 and 3-Hydroxy-3-Methylglutaryl-CoA Synthase 1 (*HMGCS1*; $P=0.02$), apoptosis [BH3 interacting-
314 domain death agonist (*BID*; $P=0.03$)], stress response [Glutathione Peroxidase 4 (*GPX4*; $P=0.02$) and
315 Hypoxia Inducible Factor 1 Alpha Subunit (*HIF1A*; $P=0.02$)], epigenetic regulation [H2A Histone
316 Family Member Z (*H2AFZ*; $P=0.04$)], embryo quality [Nanog Homeobox (*NANOG*; $P=0.03$)] and
317 embryo development [Ribosomal Protein Lateral Stalk Subunit P0 (*RPLP0*; $P=0.02$)].

318

319 *Functional analysis of differentially expressed genes*

320 Ingenuity pathway analysis (IPA®, Qiagen) program identified 28 canonical pathways
321 significantly overrepresented in EGFR- group compared to Control. Table 4 shows the canonical
322 pathways and the differentially expressed genes in each one.

323 Downstream analysis of genes regulated by the transcription factors from mitogen-activated
324 protein kinase kinase (Mek) group, peroxisome proliferator activated receptor alpha (PPARA), tumor
325 protein P53 (TP53) and EGFR revealed genes with significant fold changes. Those relationships are
326 shown in Figure 5.

327 Downstream analysis of *NANOG* activation in EGFR- group revealed the relationships
328 regulating biological functions that are involved in embryonic development (Figure 6).

329 Network analysis of the interaction of pathways involved in lipid metabolism shows the
330 upregulation of the genes on EGFR- group in comparison to Control (Figure 7).

331

332 **6. Discussion**

333 Despite the many efforts to increase IVP yield to the level of *in vivo* production, advances are
334 still very limited. In addition, the quality of embryos produced *in vitro* is lower when compared to those
335 produced *in vivo*, mainly due to the lower competence of oocytes prematurely removed from the
336 follicular environment. In the present study we demonstrate that the blockade of spontaneous
337 resumption of meiosis by inhibiting the EGFR influences the quality of the resulting embryos.

338 The prematuration approach was conceived with the objective of increasing the
339 developmental potential of oocytes (Hendriksen *et al.*, 2000). However, as several groups have
340 demonstrated over the last decade, the resulting increase in embryo production rates is modest at
341 best. Likewise, in the present study we found no improvement either in blastocyst and hatching rates,
342 or in the total number of blastomeres of embryos derived from oocytes treated with EGFR inhibitor
343 during prematuration. Nonetheless, embryos derived from treated oocytes exhibited higher transcript
344 levels of genes related to development and quality, such as *NANOG*, *H2AFZ* and *RPLP0*. *NANOG* is
345 a pluripotency marker localized in the inner cell mass, upregulated in the epiblast (Denicol *et al.*,
346 2014), and its activation promotes the development, expansion, self-renew and pluripotency of stem
347 cells, and the generation of embryoblast and epiblast cells (Figure 6). *H2AFZ* encodes for a variant of

348 the histone octamer member H2A with an unknown function in early embryo development (Négron-
349 Pérez *et al.*, 2017), but the overexpression in embryos was correlated with pregnancy to term. Also,
350 the *RPLP0* gene, a structural constituent of ribosomes, is increased in embryos that develop until the
351 end of pregnancy (Ghanem *et al.*, 2011). These results suggest that the embryos derived from
352 oocytes prematured in the presence of EGFR inhibitor are likely to have improved development and
353 quality. Probably, meiotic blockade with EGFR inhibition leads to improved oocyte competence
354 because it is supposed to keep the communicating junctions open, allowing the oocyte to accumulate
355 substances during prematuration, which could improve developmental capacity. However, the gap
356 junction functionality between oocyte and somatic cells was not evaluated in the present study and
357 additional studies are needed to assess the mRNA transcript levels in cumulus cells under EGFR
358 inhibition .

359 The molecular prediction analysis of the embryo development related genes shows that the
360 upregulation of *NANOG* observed in the present study is downstream of a downregulation of *TP53*
361 (Figure 5), a transcription factor that regulates cellular growth, proliferation and survival by PI3-
362 kinase/Akt pathway (Nayak & Cooper, 2012). The upstream regulator tumor suppressor *TP53* is
363 activated in response to DNA damage and other forms of cellular stress (Nayak & Cooper, 2012) and
364 acts as a negative regulator of cellular growth, inducing cell cycle arrest or apoptosis (Brown *et al.*,
365 2007) which happens downstream the activation of PI3-kinase/Akt signaling (Nayak & Cooper, 2012).
366 Thus, downregulation of this transcription factor suggests a decrease in the activation of apoptosis
367 pathways, which is in accordance with the decrease in the apoptosis index observed in D7-blastocysts
368 derived from EGFR- group. However, despite this observed phenotypic difference, the levels of the
369 pro-apoptotic genes *BAX*, *CASP3* and *CASP9*, and of the anti-apoptotic gene *BCL-2* were unaffected
370 by the treatment, although an unexpected increase in the mRNA levels of the pro-apoptotic gene *BID*
371 was observed. However, as other stress related genes were unaffected by treatment, the overall
372 results suggest that inhibition of EGFR during prematuration of oocytes did not induce the activation of
373 the apoptosis pathway in the resulting embryos. On the contrary, results suggest that the additional
374 time in culture seems to have allowed better culture conditions for the oocyte to accumulate
375 substances during IVM that were essential for the decrease in the rate of embryonic cell apoptosis.

376 Despite the increase in *BID* levels, the expression of genes related to stress response *GPX4*
377 and *HIF1A* were increased in embryos derived from treated oocytes. Embryonic stress response is
378 driven by an oxidative reaction triggered by glutathione peroxidase (GPX), in which reduced
379 glutathione (GSH) acts as a hydrogen peroxide scavenger (Cagnone & Sirard, 2016). In this way, the
380 upregulation of *GPX4* demonstrates an embryonic response to oxidative stress. Also, the stress
381 response to hypoxia may upregulate *HIF1A*, a proangiogenic regulator that stimulates the hypoxia
382 induced factor pathway (Rizov *et al.*, 2017). In the present study, higher levels of *HIF1A* could have
383 been triggered by the downregulation of *TP53* (Figure 5), and the upregulation of *PPARA* and *Mek*
384 molecules, the upstream regulators that lead to *HIF1A* activation. However, looking at the molecule
385 activity prediction analysis provided by IPA (Figure 5), we could speculate that the upregulation of
386 *HIF1A* is related to EGFR pathway activation and acts similarly to the neoangiogenesis that occurs in
387 the follicle in response to LH surge, in which hypoxic signaling through *HIF1A* regulates vascular
388 endothelial growth factor (VEGF) and promotes luteal vascularization (Van Den Driesche *et al.*, 2008).
389 Thus, since defects in angiogenesis are related to miscarriage (Rizov *et al.*, 2017), upregulation of
390 *HIF1A* suggests an increase in embryo quality, since the stimulation of angiogenesis in the embryo at
391 the early stage of development is essential for implantation.

392 During embryonic development, the demand of lipids necessary to form the cellular
393 membranes is in part controlled by the GPAT family members that catalyze the first steps of
394 glycerolipids synthesis (Bertolesi *et al.*, 2012). Specifically, *GPAT3* expression is increased during
395 neurulation and organogenesis in *Xenopus laevis* embryos (Bertolesi *et al.*, 2012) and the *FDX1*, a
396 gene that encodes enzymes involved in cholesterol metabolism, was found to be highly expressed in
397 the trophoctoderm of human embryos (Assou *et al.*, 2012). Cellular membranes are formed by
398 phospholipids, cholesterol, other lipids and proteins and it is widely known that modifying these
399 components in the embryonic cell membranes may increase their fluidity and benefit cryopreservation
400 (Seidel Jr, 2006). Levels of these genes were increased in the embryos derived from treated oocytes
401 in the present study, suggesting an improvement in embryo membrane quality, more specifically an
402 increase in fluidity as a result of increased membrane cholesterol. However, the conditions used for
403 lipid analysis in the present study did not allow evaluation of membrane composition. Therefore
404 additional studies are needed to evaluate possible effects on embryo cryotolerance.

405 In addition to the lipid metabolic pathway, the cholesterol biosynthesis pathway was also
406 enhanced in our study by the increased expression of *HMGCS1*, a gene involved in the synthesis of
407 the cholesterol precursor HMG-CoA that was found to be down-regulated in bovine blastocysts
408 cultured with BSA in the presence of serum lipids (Cagnone & Sirard, 2014). In addition, comparing to
409 embryos *in vivo* produced, the embryonic expression of *HMGCS1* was always higher in IVP embryos,
410 independent of serum content in the media (Heras *et al.*, 2016). Cholesterol has a membrane
411 stabilizing property, modifying how membrane phospholipids interact with each other (Seidel Jr, 2006),
412 which may suggest an improvement in the resistance of the EGFR- group to cryopreservation
413 procedures. Also, an analysis of the membrane lipid profile and the balance of saturated and
414 unsaturated fatty acids could be studied in the future, given its potential to alter membrane fluidity and
415 resistance to cryopreservation (Al Darwich *et al.*, 2010).

416 In our study, the increased expression of genes related to lipogenesis could be in part a
417 response to the inhibition of the upstream regulator *TP53*. Activation of *TP53* has been previously
418 associated to lipogenesis inhibition in adipocytes through down-regulation of downstream enzymes of
419 the sterol regulatory element-binding protein (*SREBP*), including *FASN* (Yahagi *et al.*, 2003). In bovine
420 embryos, the *SREBP* pathway seems to be regulated by polyunsaturated fatty acids that lead to a
421 decrease on *FADS2* expression and do not change *FASN* expression (Al Darwich *et al.*, 2010).
422 However, based on our results we could speculate that the downregulation of *TP53* was responsible
423 for the increase in the expression of *FASN* and *HMGCS1*, which in turn is related to lipid and
424 cholesterol biosynthesis, as a possible reflection of the changes on oocyte and cumulus cells
425 transcriptome and metabolism following EGFR- treatment.

426 The increased expression of *ACSL1* and *FASN* are related to storage and metabolism of fatty
427 acids. The fatty acid synthesizer is an enzyme, codified by *FASN*, important for lipogenesis, and
428 higher expression of this gene, modulated by cortisol supplementation during IVM, was correlated with
429 higher blastocyst rates (Da Costa *et al.*, 2016). Similarly, in our study, *FASN* is predicted to be
430 activated by EGFR, suggesting that the modulation of EGFR during prematuration could alter EGFR
431 expression later on development, leading to an increase in lipogenesis related gene expression in
432 blastocysts. On the other hand, *ACSL1* activates the long-chain fatty acid for β -oxidation (Van Hoeck
433 *et al.*, 2013). Increasing β -oxidation by the supplementation of culture media with L-carnitine improves

434 embryo development (Sutton-McDowall *et al.*, 2012), suggesting that an increased lipolysis, by
435 overexpression of *ACSL1* in EGFR- group, has a potential to make good quality embryos.

436 Lipolysis is directly related to the upregulation of peroxisome proliferator-activated receptor A
437 (*PPARA*), a key regulator of lipid metabolism that increases the expression of genes responsible for
438 fatty acid mobilization and oxidation, consequently reducing the lipid deposition (Lee *et al.*, 2003; Wei
439 *et al.*, 2017). Probably, in our study, the maintenance of lipid content is related to the upregulation of
440 *FASN*, *FADS*, *HMGCS1* and *HIF1A* by the upstream regulator *PPARA*, as showed by molecule
441 activity prediction, and the upregulation in genes that promotes lipolysis and lipogenesis is responsible
442 for the balance.

443 A recent study (Razza *et al.*, 2018) that investigated the effects of prematuration on lipid
444 metabolism found an increase in lipid droplets in the oocytes associated with genes that promotes lipid
445 accumulation in cumulus cells, and a decrease in droplets in the embryos without changes in the gene
446 expression, probably as a consequence to higher metabolic activity in the early stages of
447 embryonic development, as a sort of compensatory behavior. However, contrary to this study, we
448 found an upregulation of genes related to lipid metabolism in the blastocysts of EGFR- group that
449 increases synthesis, concentration, accumulation and deposition of several types of lipids. However,
450 these genes were not associated with higher lipid content in the embryos, once there were no
451 differences in lipid accumulation even when embryos were cultured up to day 9. We only observed a
452 decrease in the amount of lipids over time from expanded blastocysts to the hatched ones, as
453 previously described (Barceló-Fimbres & Seidel, 2011). Thus, to better understand the mechanism
454 involved in the lipid metabolism of embryos derived from oocytes previously submitted to
455 prematuration, oocyte evaluation would be required to investigate whether embryonic metabolism is a
456 compensatory reflex of changes in lipid metabolism during IVM. However, as the activation of
457 metabolic pathways, including lipid metabolism, can be modulated by cyclic nucleotides (Dunning *et al.*
458 *et al.*, 2014), which in turn are modulated by the EGFR pathway (Park *et al.*, 2004; Zhang *et al.*, 2014),
459 we strongly suggest that inhibition of EGFR during prematuration may have affected embryonic lipid
460 metabolism.

461 Altogether, our data suggest that meiosis blockage by inhibiting EGFR during prematuration
462 culture of bovine oocytes may be an interesting strategy to improve the ability of the oocytes to

463 generate higher quality embryos. Results presented here demonstrated a reduction in the apoptosis
464 index and upregulation of *NANOG*, *H2AFZ* and *RPLP0* mRNA transcript levels, which are genes
465 related to embryonic development.

466

467 **7. Declaration of interest**

468 There is no conflict of interest that could be perceived as prejudicing the impartiality of the
469 research reported.

470

471 **8. Funding**

472 This work was supported by FAPESP (grant number 2015/06733-5 and 2012/50533-2); CNPq
473 (grant number 307416/2015-1). PCDA and GBN were supported by a scholarship from Coordenação
474 de Aperfeiçoamento de Pessoal de Nível Superior (Capes), Brazil.

475

476 **9. Acknowledgements**

477 The authors thank Brasfrigo for donating the biological material used in the present study.
478 Adão A. Custodio and Alexandre J. Teixeira for technical support. Erivelto C.A. Junior and Leandro E.
479 Garcia for their help with the IPA program.

480

481 **10. References**

482

483 **Al Darwich A, Perreu C, Petit MH, Papilier P, Dupont J, Guillaume D, Mermillod P & Guignot F**

484 2010 Effect of PUFA on embryo cryoresistance, gene expression and AMPKa phosphorylation in IVF-
485 derived bovine embryos. *Prostaglandins Other Lipid Mediat* 91 30-36.
486 (doi:10.1016/j.prostaglandins.2010.06.002)

487

488 **Albertini DF, Sanfins A & Combelles CM** 2003 Origins and manifestations of oocyte maturation
489 competencies. *Reprod Biomed Online* 6 410 – 415. (doi: 10.1016/S1472-6483(10)62159-1)

490

491 **Albuz FK, Sasseville M, Lane M, Armstrong DT, Thompson JG & Gilchrist RB** 2010 Simulated
492 physiological oocyte maturation (SPOM): a novel *in vitro* maturation system that substantially
493 improves embryo yield and pregnancy outcomes. *Hum Reprod* **25** 2999-3011. (doi:
494 10.1093/humrep/deq246)

495

496 **Assou S, Boumela I, Haouzi D, Monzo C, Dechaud H, Kadoch IJ & Hamamah S** 2012
497 Transcriptome analysis during human trophectoderm specification suggests new roles of metabolic
498 and epigenetic genes. *PLoS One* **7** e39306. (doi:10.1371/journal.pone.0039306)

499

500 **Barceló-Fimbres M & Seidel Jr GE** 2011 Cross-validation of techniques for measuring lipid content
501 of bovine oocytes and blastocysts. *Theriogenology* **75** 434-444. (doi:
502 10.1016/j.theriogenology.2010.09.007)

503

504 **Bertolesi GE, Iannattone S, Johnston J, Zarembeg V & McFarlane** 2012 Identification and
505 expression analysis of *GPAT* family genes during early development of *Xenopus laevis*. *Gene Expr*
506 *Patterns* **12** 219-227. (doi:10.1016/j.gep.2012.04.002)

507

508 **Bilodeau-Goeseels S** 2011 Cows are not mice: The role of cyclic AMP, phosphodiesterases, and
509 adenosine monophosphate-activated protein kinase in the maintenance of meiotic arrest in bovine
510 oocytes. *Mol Reprod Dev* **78** 734-743. (doi: 10.1002/mrd.21337)

511

512 **Blondin P, Coenen K, Guilbault LA & Sirard MA** 1997 In vitro production of bovine embryos:
513 developmental competence is acquired before maturation. *Theriogenology* **47** 1061-1075. (doi:
514 10.1016/S0093-691X(97)00063-0)

515

516 **Blondin P, Vigneault C, Nivet AL & Sirard MA** 2012 Improving oocyte quality in cows and heifers –
517 What have we learned so far? *Anim Reprod* **9** 281-289.

518

- 519 **Brown L, Boswell S, Raj L & Lee SW** 2007 Transcriptional targets of p53 that regulate cellular
520 proliferation. *Crit Rev Eukaryot Gene Expr* **17** 73-85. (doi: 10.1615/CritRevEukarGeneExpr.v17.i1.50)
521
- 522 **Cagnone G & Sirard MA** 2014 The impact of exposure to serum lipids during in vitro culture on the
523 transcriptome of bovine blastocysts. *Theriogenology* **81** 712-722.
524
- 525 **Cagnone G & Sirard MA** 2016 The embryonic stress response to in vitro culture: insight from
526 genomic analysis. *Reproduction* **152** R247-R261. (doi: 10.1530/REP-16-0391)
527
- 528 **Da Costa NN, Brito KNL, Santana PPB, Cordeiro MS, Silva TVG, Santos AX, Ramos PC, Santos**
529 **SSD, King WA, Miranda MS & Ohashi OM** 2016 Effect of cortisol on bovine oocyte maturation and
530 embryo development in vitro. *Theriogenology* **85** 323-329. (doi: 10.1016/j.theriogenology.2015.08.010)
531
- 532 **Da Rosa PRA, De Cesaro MP, Dau AMP, Duggavathi R, Bordignon V & Gonçalves PBD** 2017
533 Reversible meiotic arrest of bovine oocytes by EGFR inhibition and follicular hemisections.
534 *Theriogenology* **99** 53-62. (doi: 10.1016/j.theriogenology.2017.05.014)
535
- 536 **Dall'Acqua PC, Leão BCS, Rocha-Frigoni NAS, Gottardi FP & Mingoti GZ** 2017 Delaying meiotic
537 resumption during transportation of bovine cumulus-oocyte complexes: effects on development,
538 apoptosis and caspases activity of in vitro-produced embryos. *Zygote* **25** 740-450. (doi:
539 10.1017/S0967199417000636)
540
- 541 **Denicol AC, Block J, Kelley DE, Pohler KG, Dobbs KB, Mortensen CJ, Ortega MS & Hansen PJ**
542 2014 The WNT signaling antagonist Dickkopf-1 directs lineage commitment and promotes survival of
543 the preimplantation embryo. *FASEB J* **28** 3975-3986. (doi: 10.1096/fj.14-253112)
544
- 545 **Dieci C, Lodde V, Labreque R, Dufort I, Tessaro I, Sirard MA & Luciano AM** 2016 Differences in
546 cumulus cell gene expression indicate the benefit of a pre-maturation step to improve in-vitro bovine
547 embryo production. *Mol Hum Reprod* **22** 882-897. (doi: 10.1093/molehr/gaw005)

548

549 **Dunning KR, Russell DL & Robker RL** 2014 Lipids and oocyte developmental competence: the role
550 of fatty acids and β -oxidation. *Reproduction* **148** R15-R27. (doi: 10.1530/REP-13-0251)

551

552 **Franciosi F, Coticchio G, Lodde V, Tessaro I, Modena SC, Fadini R, Dal Canto M, Renzini MM,**
553 **Albertini DF & Luciano AM** 2014 Natriuretic peptide precursor C delays meiotic resumption and
554 sustains gap junction-mediated communication in bovine cumulus-enclosed oocytes. *Biol Reprod* **91**
555 61 (doi: 10.1095/biolreprod.114.118869)

556

557 **Genicot G, Leroy JLMR, Van Soom A & Donnay I** 2005 The use of a fluorescent dye, Nile red, to
558 evaluate the lipid content of single mammalian oocytes. *Theriogenology* **63** 1181-1194. (doi:10.1016/j.
559 Theriogenology.2004.06.006)

560

561 **Ghanem N, Salilew-Wondim D, Gad A, Tesfaye D, Phatsara C, Tholen E, Looft C, Schellander K**
562 **& Hoelker M** 2011 Bovine blastocysts with developmental competence to term share similar
563 expression of developmentally important genes although derived from different culture environments.
564 *Reproduction* **142** 551-564. (doi: 10.1530/REP-10-0476)

565

566 **Gilchrist RB & Thompson JG** 2007 Oocyte maturation: Emerging concepts and technologies to
567 improve developmental potential in vitro. *Theriogenology* **67** 6 – 15. (doi:
568 10.1016/j.theriogenology.2006.09.027)

569

570 **Gilchrist RB, Luciano AM, Richani D, Zeng HT, Wang X, De Vos M, Sugimura S, Smitz J,**
571 **Richard FJ & Thompson JG** 2016 Oocyte maturation and quality: role of cyclic nucleotides.
572 *Reproduction* **152** R143-R157. (doi: 10.1530/REP-15-0606)

573

574 **Hendriksen PJM, Vos PLAM, Steenweg WNM, Bevers NM & Dieleman SJ** 2000 Bovine follicular
575 development and its effect on the in vitro competence of oocytes. *Theriogenology* **53** 11-20. (doi:
576 10.1016/S0093-691X(99)00236-8)

577

578 **Heras S, De Coninck DI, Poucke MV, Goossens K, Pascottini OB, Mieuwerburgh FV, Deforce D,**
579 **De Sutter P, Leroy JLMR, Gutierrez-Adan A, Peelman L & Van Soom A** 2016 Suboptimal culture
580 conditions induce more deviations in gene expression in male than female bovine blastocysts. *BMC*
581 *Genomics* **17**:72 1-15. (doi: 10.1186/s12864-016-2393-z)

582

583 **Jamnongjit M, Gill A & Hammes SR** 2005 Epidermal growth factor receptor signaling is required for
584 normal ovarian steroidogenesis and oocyte maturation. *PNAS* **102** 16257-16262. (doi:
585 10.1073/pnas.0508521102)

586

587 **Lee CH, Olson P & Evans RM** 2003 Minireview: lipid metabolism , metabolic diseases, and
588 peroxisome proliferator-activated receptors. *Endocrinology* **144** 2201-2207. (doi: 10.1210/en.2003-
589 0288)

590

591 **Li HJ, Sutton-McDowall ML, Wang X, Sugimura S, Thompson JG & Gilchrist RB** 2016 Extending
592 prematuration with cAMP modulators enhances the cumulus contribution to oocyte antioxidant
593 defence and oocyte quality via gap junctions. *Human Reproduction* **31** 810–821. (doi:
594 10.1093/humrep/dew020)

595

596 **Lodde V, Modina S, Galbusera C, Franciosi F & Luciano AM** 2007 Large-scale chromatin
597 remodeling in germinal vesicle bovine oocytes: interplay with gap junction functionality and
598 developmental competence. *Mol Reprod Dev* **74** 740–749. (doi: 10.1002/mrd.20639)

599

600 **Mehlmann LM** 2005 Stops and starts in mammalian oocytes: recent advances in understanding the
601 regulation of meiotic arrest and oocyte maturation. *Reproduction* **130** 791-799. (doi:
602 10.1530/rep.1.00793)

603

- 604 **Nagyova E** 2012 Regulation of cumulus expansion and hyaluronan synthesis in porcine oocyte-
605 cumulus complexes during in vitro maturation. *Endocrine Regulations* **46** 225-235. (doi:
606 10.4149/endo_2012_04_225)
- 607
- 608 **Nayak G & Cooper GM** 2012 p53 is a major component of the transcriptional and apoptotic program
609 regulated by PI 3-kinase/Akt/GSK3 signaling. *Cell Death Dis* **3** e400. (doi: 10.1038/cddis.2012.138)
- 610
- 611 **Négron-Pérez VM, Zhang Y & Hansen PJ** 2017 Single-cell gene expression of the bovine blastocyst.
612 *Reproduction* **154** 627-644. (doi: 10.1530/REP-17-0345)
- 613
- 614 **Pangione S, Hsieh M, Fu M, Persani L & Conti M** 2008 Luteinizing hormone signaling in
615 preovulatory follicles involves early activation of the epidermal growth factor receptor pathway. *Mol*
616 *Endocrinol* **22** 924-936. (doi: 10.1210/me.2007-0246)
- 617
- 618 **Park JY, Su YQ, Ariga M, Law E, Jin SL & Conti M** 2004 EGF-like growth factors as mediators of LH
619 action in the ovulatory follicle. *Science* **303** 682–684. (doi: 10.1126/Science.1092463)
- 620
- 621 **Perry G** 2018 2016 Statistics of embryo collection and transfer in domestic farm animals. *Embryo*
622 *Transfer Newslett.* (doi:10.13140/RG.2.2.24793.42087)
- 623
- 624 **Prochazka R, Blaha M & Nemcova L** 2012 Signaling pathways regulating FSH- and amphiregulin-
625 induced meiotic resumption and cumulus cell expansion in the pig. *Reproduction* **144** 535-546. (doi:
626 10.1530/REP-12-0191)
- 627
- 628 **Prochazka R, Blaha M, Němcová L** 2017 Significance of epidermal growth factor receptor signaling
629 for acquisition of meiotic and developmental competence in mammalian oocytes. *Biology of*
630 *Reproduction* **97** 537-549. (doi: 10.1093/biolre/iox112)
- 631

- 632 **Razza EM, Sudano MJ, Fontes PK, Franchi FF, Belaz KRA, Santos PH, Castilho ACS, Rocha**
633 **DFO, Eberlin MN, Machado MF & Nogueira MF** 2018 Treatment with cyclic adenosine
634 monophosphate modulators prior to in vitro maturation alters the lipid composition and transcript
635 profile of bovine cumulus-oocyte complexes and blastocysts. *Reprod Fert Dev* **Apr 23**. (doi:
636 10.1071/RD17335)
- 637
- 638 **Reizel Y, Elbaz J & Dekel N** 2010 Sustained activity of the EGF receptor is an absolute requisite for
639 LH-induced oocyte maturation and cumulus expansion. *Mol Endocrinol* **24** 402-411. (doi:
640 10.1210/me.2009-0267)
- 641
- 642 **Rizov M, Andreeva, P & Dimova I** 2017 Molecular regulation and role of angiogenesis in
643 reproduction. *Taiwan J Obstet Gynecol* **56** 127-132. (doi: 10.1016/j.tjog.2016.06.019)
- 644
- 645 **Rocha-Frigoni NA, Leão BCS, Nogueira E, Accorsi MF & Mingoti GZ** 2014 Reduced levels of
646 intracellular reactive oxygen species and apoptotic status are not correlated with increases in
647 cryotolerance of bovine embryos produced *in vitro* in the presence of antioxidants. *Reprod Fert Dev*
648 **26** 797-805. (doi: 10.1071/RD12354)
- 649
- 650 **Sanchez F & Smitz J** 2012 Molecular control of oogenesis. *Biochim Biophys Acta* **1822** 1896–1912.
651 (doi: 10.1016/j.bbadis.2012.05.013)
- 652
- 653 **Seidel Jr GE** 2006 Modifying oocytes and embryos to improve their cryopreservation. *Theriogenology*
654 **65** 228-235. (doi: 10.1016/j.theriogenology.2005.09.025)
- 655
- 656 **Sirard MA** 2011 Follicle environment and quality of in vitro matured oocytes. *J Assist Reprod Genet*
657 **28** 483-488. (doi: 10.1007/s10815-011-9554-4)
- 658

659 **Sutton-McDowall M, Feil D, Robker RL, Thompson JG & Dunning KR** 2012 Utilization of
660 endogenous fatty acid stores for energy production in bovine preimplantation embryos.
661 *Theriogenology* **77** 1632-1641. (doi: 10.1016/j.theriogenology.2011.12.008)

662

663 **Vandesompele J, De Preter K, Pattyn F, Poppe B, Van Roy N, De Paepe A, Speleman F** 2002
664 Accurate normalization of real-time quantitative RT-PCR data by geometric averaging of multiple
665 internal control genes. *Gen Biol* **3** RESEARCH0034. (doi: 10.1186/gb-2002-3-7-research0034)

666

667 **Van Den Driesche S, Myers M, Gay E, Thong KJ & Duncan WC** 2008 HCG up-regulates hypoxia
668 inducible factor-1 alpha in luteinized granulosa cells: implications for the hormonal regulation of
669 vascular endothelial growth factor A in the human corpus luteum. *Mol Hum Reprod* **14** 455e64. (doi:
670 10.1093/molehr/gan040)

671

672 **Van Hoeck V, Leroy JLMR, Alvarez MA, Rizos D, Gutierrez-Adan A, Schnorbusch K, Bols PEJ,**
673 **Leese HJ & Sturmey RG** 2013 Oocyte developmental failure in response to elevated nonesterified
674 fatty acid concentrations: mechanistic insights. *Reproduction* **145** 33-44. (doi: 10.1530/REP-12-0174)

675

676 **Wei CC, Wu K, Gao Y, Zhang LH, Li DD & Luo Z** 2017 Magnesium reduces hepatic lipid
677 accumulation in yellow catfish (*Pelteobagrus fulvidraco*) and modulates lipogenesis and lipolysis via
678 PPARA, JAK-STAT, and AMPK pathways in hepatocytes. *J Nutr* **147** 1070-1078. (doi:
679 10.3945/jn.116.245852)

680

681 **Yahagi N, Shimano H, Matsuzaka T, Najima Y, Sekiya M, Nakagawa Y, Ide T, Tomita S, Okazaki**
682 **H, Tamura Y, Iizuka Y, Ohashi K, Gotoda T, Nagai R, Kimura S, Ishibashi S, Osuga J, Yamada N**
683 2003 p53 activation in adipocytes of obese mice. *J Biol Chem* **278** 25395-25400. (doi:
684 10.1074/jbc.M302364200)

685

686 **Zhang W, Chen Q, Yang Y, Liu W, Zhang M, Xia G & Wang C** 2014 Epidermal growth factor-
687 network signaling mediates luteinizing hormone regulation of BNP and CNP and their receptor NPR2
688 during porcine oocyte meiotic resumption. *Mol Reprod Dev* **81** 1030-1041. (doi: 10.1002/mrd.22424)

689

690

691

692

693

694

695

696

697

698

699

700

701

702

703

704

705

706

707

708

709

710

711

712

713

714

715 **11. Figure legends**

716

717 **Figure 1.** Schematic representation of the experimental design.

718

719 **Figure 2.** Apoptotic rates in D7 blastocysts obtained after *in vitro* fertilization of bovine oocytes
720 submitted or not to meiosis block by inhibition of EGFR for 8 h followed by IVM for 22 h. * The asterisk
721 above the bar denotes significant difference between treatments ($P < 0.05$).

722

723 **Figure 3.** Lipid content of bovine blastocysts stained with the lipophilic dye Nile Red. Representative
724 images of embryos produced from cumulus–oocyte complexes after standard IVM (Control) and after
725 prematuration for 8 h with AG1478 followed by 22 h IVM (EGFR-), evaluated on D7 (A) and D9 (B).
726 Red dots indicate cytoplasmic lipid droplets. Magnification: 20X. (C) Linear regression analysis of
727 embryonic lipid content from D7 to D9. In addition, within each specific time of development
728 (blastocysts in D7 or hatched blastocysts in D9), embryos of both groups were compared by Student's
729 t test and no differences were observed between treatments ($P > 0.05$). Values in the graph, in arbitrary
730 fluorescence, are expressed as the mean of 4 replicates.

731

732 **Figure 4.** Differentially expressed genes in bovine D7-blastocysts produced *in vitro* after fertilization of
733 bovine oocytes submitted or not to meiosis block by inhibition of EGFR for 8 h followed by IVM for 22
734 h. Data (mean \pm SEM of 4 replicates) are presented as fold-change relative to Control group. *
735 Asterisks above the bars denote significant difference between treatments ($P < 0.05$).

736

737 **Figure 5.** Downstream analysis of EGFR inhibition induced transcript factors. (A) Downstream
738 analysis of genes related to molecules from Mek group. (B) Downstream analysis of genes regulated
739 by PPARA. (C) Downstream analysis of TP53 regulation. (D) Downstream analysis of EGFR. (E) IPA
740 legend of molecule predicted activation (MAP) analysis. (F) IPA legend of network shapes.

741

742 **Figure 6.** Downstream analysis of NANOG related functions which were differentially expressed
743 between Control and EGFR- groups. Function color intensity indicates increased (red) or decreased

744 (blue) expression in EGFR- compared to Control group. The indirect relationships between NANOG
745 and the functions are indicated by dashed connecting lines.

746

747 **Figure 7.** Ingenuity pathway interaction network analysis. Genes involved in lipid metabolism
748 pathways which were differentially expressed between Control and EGFR- groups. Gene color
749 intensity indicates increased (red) or decreased (blue) fold changes in EGFR- compared to Control
750 group. The indirect relationships between molecules are indicated by dashed connecting lines.

751

752

753

754

755

756

757

758

759

760

761

762

763

764

765

766

767

768

769

770

771

772

773 **12. Tables**

774

775 **Table 1.** Bovine genes evaluated by RT-qPCR in this study

Gene symbol	Gene name	Thermo Fisher ID
<i>ACACA</i>	Acetyl-CoA carboxylase	Bt03213389_m1
<i>ACAT1</i>	Acetyl-CoA acetyltransferase 1	Bt03238649_g1
<i>ACSL1</i>	Acyl-CoA synthetase long-chain family member 1	Bt03248469_m1
<i>ACSL3</i>	Acyl-CoA Synthetase 3	Bt04282138_m1
<i>ACTB</i>	Actin, beta	Bt03279174_g1
<i>AGPAT1</i>	1-acylglycerol-3-phosphate O-acyltransferase 1	Bt03224587_g1
<i>AKR1B1</i>	Aldo-Keto Reductase Family 1, Member B1	Bt03218049_g1
<i>AQP3</i>	Aquaporin 3	Bt03253663_m1
<i>ATF4</i>	Activating transcription factor 4	Bt03221057_m1
<i>ATP1B4</i>	ATPase, Na ⁺ /K ⁺ transporting, beta 4 polypeptide	Bt03265072_m1
<i>ATP5L</i>	ATP synthase, H ⁺ transporting, mitochondrial Fo complex subunit E	Bt03210836_g1
<i>B2M</i>	Beta-2-microglobulin	Bt03251628_m1
<i>BAX</i>	BCL2-Associated X Protein	Bt03211777_g1
<i>BCL2</i>	B-cell CLL/lymphoma 2	Bt04298952_m1
<i>BID</i>	BH3 interacting domain death agonist	Bt03241255_m1
<i>CASP3</i>	Caspase 3, apoptosis-related cysteine peptidase	Bt03250954_g1
<i>CASP9</i>	Caspase 9, apoptosis-related cysteine peptidase	Bt04282453_m1
<i>CD36</i>	CD36 molecule (thrombospondin receptor)	Bt03212335_mH
<i>CDX2</i>	Homeobox protein CDX-2	Bt03649157_m1
<i>CLIC3</i>	Chloride Intracellular Channel 3	Bt03263038_m1
<i>CPT1B</i>	Carnitine palmitoyltransferase 1B	Bt03244645_m1
<i>CPT2</i>	Carnitine palmitoyltransferase 2	Bt03233823_m1
<i>DDIT3</i>	DNA-damage-inducible transcript 3	Bt03251320_g1
<i>DGAT1</i>	Diacylglycerol O-acyltransferase 1	Bt03251719_g1
<i>ELOVL1</i>	ELOVL fatty acid elongase 1	Bt03286627_s1
<i>ELOVL2</i>	ELOVL fatty acid elongase 2	Bt03256849_m1
<i>ELOVL3</i>	ELOVL fatty acid elongase 3	Bt04311306_g1
<i>ELOVL4</i>	ELOVL fatty acid elongase 4	Bt03270721_m1
<i>ELOVL5</i>	ELOVL fatty acid elongase 5	Bt03235956_m1
<i>ELOVL6</i>	ELOVL fatty acid elongase 6	Bt00907566_m1
<i>FADS2</i>	Fatty acid desaturase 2	Bt03256255_g1
<i>FASN</i>	Fatty acid synthase	Bt03210485_m1
<i>FDX1</i>	Ferredoxin 1	Bt03217449_m1
<i>FOXO3</i>	Forkhead box O3	Bt03649334_s1
<i>G6PD</i>	Glucose 6 phosphate deshydrogenase	Bt03649181_m1
<i>GAPDH</i>	Glyceraldehyde-3-phosphate dehydrogenase	Bt03210912_g1
<i>GPAT3</i>	Glycerol-3-phosphate acyltransferase 3	Bt04292093_m1
<i>GPAM</i>	Glycerol-3-phosphate acyltransferase, mitochondrial	Bt03210381_m1
<i>GPX1</i>	Glutathione peroxidase 1	Bt03259217_g1
<i>GPX4</i>	Glutathione peroxidase 4	Bt03259611_m1
<i>GSK3A</i>	Glycogen synthase kinase 3 alpha	Bt03273695_m1
<i>H2AFZ</i>	H2A histone family, member Z	Bt03216346_g1
<i>H3F3A</i>	H3 histone, family 3 ^A	Bt03278804_g1
<i>H3F3B</i>	H3 histone, family 3B (H3.3B)	Bt04319377_g1
<i>HDAC2</i>	Histone deacetylase 2	Bt03244871_m1
<i>HIF1A</i>	Hypoxia inducible factor 1 (transcription factor)	Bt03259341_m1
<i>HMGCS1</i>	3-hydroxy-3-methylglutaryl-CoA synthase 1	Bt04296095_g1
<i>HMOX1</i>	Heme oxygenase (decycling) 1	Bt03218632_m1
<i>HPRT1</i>	Hypoxanthine phosphoribosyltransferase 1	Bt03225311_g1

<i>HSF1</i>	Heat shock transcription factor 1	Bt03249686_m1
<i>HSP90AA1</i>	Heat shock protein 90kDa alpha	Bt03218068_g1
<i>HSPA1A</i>	Heat shock 70kDa protein 1 ^A	Bt03292670_g1
<i>HSPA5</i>	Heat shock protein Family A (Hsp70) member 5	Bt03244880_m1
<i>HSPD1</i>	Heat Shock 60kDa protein 1 ^A	Bt04301470_g1
<i>IFNT</i>	Interferon	Bt03210589_g1
<i>IGF1R</i>	Insulin-like growth factor 1 receptor	Bt03649217_m1
<i>IGFBP2</i>	Insulin-like growth factor binding protein 2	Bt01040719_m1
<i>KEAP1</i>	Kelch-like ECH-associated protein 1	Bt03817661_m1
<i>KRT8</i>	Keratin 8	Bt03225178_g1
<i>LIPE</i>	Lipase, hormone-sensitive (HSL)	Bt03253691_m1
<i>LPL</i>	Lipoprotein lipase	Bt03240493_m1
<i>LUM</i>	Lumican	Bt03211920_m1
<i>MTIF3</i>	Mitochondrial translational initiation factor 3	Bt03231844_m1
<i>NANOG</i>	Nanog homeobox	Bt03220541_m1
<i>NDUFA1</i>	NADH:ubiquinone oxidoreductase subunit A1	Bt03216720_g1
<i>NFE2L2</i>	Nuclear factor (erythroid-derived 2)-like 2	Bt03251880_m1
<i>OTX2</i>	Orthodenticle homeobox 2	Bt04316301_g1
<i>PA2G4</i>	Proliferation-associated 2G4	Bt03211241_g1
<i>PGK1</i>	Phosphoglycerate kinase 1	Bt03225854_mH
<i>PLAC8</i>	Placenta-specific 8	Bt03211579_m1
<i>PLIN2</i>	Perilipin 2	Bt03212182_m1
<i>PLIN3</i>	Perilipin 3	Bt03230537_m1
<i>PNLIPRP2</i>	Pancreatic lipase-related protein 2	Bt03267914_m1
<i>PNPLA2</i>	Patatin-like phospholipase domain containing 2	Bt03234129_g1
<i>POU5F1</i>	POU class 5 homeobox 1 (OCT4)	Bt03223846_g1
<i>PPARA</i>	Peroxisome proliferator-activated receptor alpha	Bt03220821_m1
<i>PPARG</i>	Peroxisome proliferator-activated receptor gamma	Bt03217547_m1
<i>PPARGC1A</i>	Peroxisome proliferator-activated receptor gamma, coactivator 1 alpha	Bt01016720_m1
<i>PPIA</i>	Peptidylprolyl isomerase A	Bt03224617_g1
<i>PRDX1</i>	Peroxiredoxin-1	Bt03223684_m1
<i>PRDX3</i>	Peroxiredoxin 3	Bt03214402_m1
<i>REST</i>	RE1-silencing transcription fator	Bt03264681_m1
<i>RPLP0</i>	Ribosomal protein, large, P0	Bt03218086_m1
<i>S100A10</i>	S100 calcium binding protein A10	Bt03215645_m1
<i>S100A14</i>	S100 calcium binding protein A14	Bt03230771_g1
<i>SCD</i>	Stearoyl-CoA desaturase	Bt04307476_m1
<i>SDHA</i>	Succinate dehydrogenase complex flavoprotein subunit A	Bt04307509_m1
<i>SLC2A1</i>	Solute carrier family 2 (facilitated glucose transporter), member 1	Bt03215314_m1
<i>SLC2A3</i>	Solute carrier family 2 (facilitated glucose transporter), member 3	Bt03259514_g1
<i>SLC2A4</i>	Solute carrier family 2 (facilitated glucose transporter), member 4	Bt03215316_m1
<i>SLC2A5</i>	Solute carrier family 2 (facilitated glucose/fructose transporter), member 5	Bt03258296_m1
<i>SOD1</i>	Superoxide dismutase 1, soluble	Bt03215423_g1
<i>SOD2</i>	Superoxide dismutase 2, mitochondrial	Bt03244551_m1
<i>SREBF1</i>	Sterol regulatory element binding transcription f1	Bt03276370_m1
<i>SREBF2</i>	Sterol regulatory element binding transcription f2	Bt04283467_m1
<i>TFAM</i>	Transcription factor A, mitochondrial	Bt03260078_m1

776

777

778

779

780

781 **Table 2.** Embryonic development and total number of cells in embryos obtained after *in vitro*
 782 fertilization of bovine oocytes submitted or not to meiosis block by inhibition of EGFR for 8 h followed
 783 by IVM for 22 h

Group*	% Cleavage	% Blastocyst **	% Hatching ***	Total number of cells	
	(D3)	(D7)	(D9)	(D7)	(D9)
Control	74.6±3.6	40.6±5.5	79.1±4.8	121.5±7.1	198.9±9.0
EGFR-	68.8±3.8	41.0±3.9	75.6±6.1	116.6±6.3	180.1±6.9

784 Data are present as the mean ± SEM of 10 replicates (cleavage and blastocysts) and 4 replicates
 785 (hatching and cell counting). *Control: IVM for 22 h; EGFR-: preIVM with AG1478 for 8h followed by
 786 IVM for 22 h. No differences were found between treatments (P>0.05). **Blastocyst rate (D7) was
 787 calculated as the percentages of total oocytes subjected to IVM. ***Hatching rate (D9) was calculated
 788 as the percentages of total blastocysts.

789

790

791

792

793

794

795

796

797

798

799

800

801

802

803

804

805

806 **Table 3.** Relative gene expression (Δ Ct) on D7 bovine expanded blastocysts obtained after *in vitro*
 807 fertilization of bovine oocytes after standard IVM (Control group) and after prematuration for 8 h with
 808 an EGFR inhibitor (AG1478) followed by 22 h IVM (EGFR- group)

Gene	Group		P-value
	Control	EGFR-	
Embryo development			
<i>GSK3A</i>	5.03±0.13	5.31±0.08	0.12
<i>HMOX1</i>	8.24±0.41	9.57±0.49	0.08
<i>OTX2</i>	4.41±0.15	4.84±0.18	0.11
<i>PA2G4</i>	2.77±0.13	3.15±0.21	0.19
<i>POU5F1</i>	1.17±0.09	1.45±0.16	0.18
<i>RPLP0</i>	0.24±0.03	0.72±0.15	0.02 *
<i>S100A10</i>	3.36±0.12	3.82±0.18	0.07
<i>S100A14</i>	1.58±0.05	1.95±0.20	0.12
Embryo quality			
<i>ATP5L</i>	1.20±0.08	1.38±0.15	0.33
<i>CLIC3</i>	8.13±0.23	10.31±1.12	0.13
<i>IGF1R</i>	6.23±0.05	6.55±0.13	0.06
<i>IGFBP2</i>	1.07±0.16	1.17±0.19	0.74
<i>KRT8</i>	-1.55±0.11	-0.99±0.24	0.08
<i>MTIF3</i>	8.56±0.05	8.86±0.45	0.69
<i>NANOG</i>	6.68±0.20	7.50±0.21	0.03 *
<i>NDUFA1</i>	4.89±0.65	5.00±0.05	0.87
<i>PRDX1</i>	1.24±0.04	1.53±0.18	0.17
<i>PRDX3</i>	6.42±0.08	6.76±0.22	0.21
<i>REST</i>	3.98±0.24	4.22±0.10	0.89
Differentiation and implantation			
<i>CDX2</i>	4.29±0.06	4.27±0.24	0.93
<i>IFNT</i>	7.40±0.46	8.68±0.27	0.05
<i>PLAC8</i>	12.66±0.39	11.56±0.29	0.09
Epigenetic regulation			
<i>H2AFZ</i>	2.61±0.05	2.88±0.09	0.04 *
<i>H3F3A</i>	4.44±0.16	5.32±0.41	0.09
<i>H3F3B</i>	5.10±0.12	5.28±0.07	0.24
<i>HDAC2</i>	5.39±0.10	5.60±0.26	0.49
Metabolism			
<i>ACACA</i>	5.16±0.03	5.37±0.14	0.20
<i>ACAT1</i>	5.54±0.11	5.89±0.22	0.20
<i>ACSL1</i>	7.41±0.12	7.73±0.03	0.04 *
<i>ACSL3</i>	0.83±0.09	1.11±0.20	0.25
<i>AGPAT1</i>	7.36±0.15	7.98±0.25	0.08
<i>AKR1B1</i>	3.81±0.28	4.52±0.38	0.18
<i>AQP3</i>	1.62±0.07	1.68±0.23	0.80
<i>CD36</i>	10.93±0.41	10.89±0.19	0.92
<i>CPT1B</i>	12.21±0.62	12.82±0.34	0.44
<i>CPT2</i>	6.12±0.10	6.39±0.21	0.28
<i>DGAT1</i>	5.44±0.07	5.65±0.27	0.47
<i>ELOVL1</i>	5.74±0.16	6.25±0.24	0.13
<i>ELOVL2</i>	12.81±0.39	12.07±0.95	0.64
<i>ELOVL4</i>	7.71±0.14	8.10±0.22	0.18
<i>ELOVL5</i>	4.71±0.15	5.02±0.13	0.18
<i>ELOVL6</i>	3.19±0.12	3.06±0.11	0.44
<i>FADS2</i>	3.63±0.22	4.53±0.13	0.01 *
<i>FASN</i>	2.29±0.13	3.04±0.19	0.02 *
<i>FDX1</i>	5.55±0.03	5.91±0.21	0.03 *

<i>G6PD</i>	4.98±0.03	5.02±0.23	0.85
<i>GPAM</i>	7.14±0.08	7.66±0.22	0.07
<i>GPAT3</i>	6.86±0.08	7.71±0.18	0.005 *
<i>HMGCS1</i>	2.53±0.20	3.36±0.17	0.02 *
<i>LIPE</i>	11.71±0.45	12.70±0.47	0.18
<i>LPL</i>	11.64±0.93	12.46±0.72	0.51
<i>PLIN2</i>	4.95±0.19	4.99±0.16	0.86
<i>PLIN3</i>	2.33±0.11	2.67±0.13	0.09
<i>PNPLA2</i>	5.69±0.09	6.27±0.29	0.10
<i>PPARA</i>	12.49±0.54	12.61±0.77	0.90
<i>PPARG</i>	11.42±0.40	13.07±0.22	0.06
<i>PPARGC1A</i>	11.61±0.37	13.03±0.96	0.22
<i>SCD</i>	3.68±0.19	4.30±0.29	0.13
<i>SLC2A1</i>	2.42±0.06	2.51±0.14	0.89
<i>SLC2A3</i>	2.72±0.07	3.10±0.23	0.11
<i>SLC2A4</i>	9.24±0.22	9.86±0.39	0.21
<i>SLC2A5</i>	1.81±0.21	1.92±0.11	0.69
<i>SREBF1</i>	6.26±0.09	6.21±0.33	0.88
<i>SREBF2</i>	4.05±0.16	4.44±0.24	0.23
Apoptosis			
<i>BAX</i>	3.43±0.04	3.73±0.21	0.20
<i>BCL-2</i>	12.14±0.53	13.28±0.60	0.28
<i>BID</i>	6.96±0.08	7.63±0.23	0.03 *
<i>CASP3</i>	8.96±0.22	9.20±0.35	0.89
<i>CASP9</i>	6.70±0.13	6.94±0.50	0.66
Oxidative stress			
<i>FOXO3</i>	8.21±0.04	8.21±0.15	0.98
<i>KEAP1</i>	5.93±0.04	6.17±0.16	0.20
<i>TFAM</i>	6.52±0.06	6.72±0.18	0.34
Endoplasmic reticulum stress			
<i>ATF4</i>	3.33±0.10	3.73±0.15	0.07
<i>DDIT3</i>	6.27±0.11	6.50±0.41	0.61
Stress response			
<i>GPX1</i>	2.46±0.11	2.45±0.14	0.93
<i>GPX4</i>	5.09±0.18	5.79±0.13	0.02 *
<i>HIF1A</i>	7.86±0.07	8.52±0.19	0.02 *
<i>HSF1</i>	4.31±0.08	4.30±0.20	0.95
<i>HSP90AA1</i>	0.78±0.06	1.07±0.20	0.21
<i>HSPA1A</i>	8.40±0.17	8.26±0.37	0.75
<i>HSPA5</i>	2.21±0.14	2.68±0.30	0.21
<i>HSPD1</i>	3.00±0.11	3.14±0.19	0.69
<i>NFE2L2</i>	6.72±0.22	7.24±0.17	0.10
<i>SOD1</i>	5.02±0.05	5.21±0.26	0.51
<i>SOD2</i>	7.72±0.47	7.87±1.12	0.89

809

810

811

812

813

814 **Table 4.** Canonical pathways that were significantly ($P < 0.05$) activated in D7 blastocysts obtained
 815 after *in vitro* fertilization of bovine oocytes submitted or not to meiosis block by inhibition of EGFR for 8
 816 h followed by IVM for 22 h

Ingenuity Canonical Pathways	P-value	Differentially expressed genes
TR/RXR activation	0.01	FASN, HIF1A
Palmitate biosynthesis I (animals)	0.01	FASN
Fatty acid biosynthesis initiation II	0.01	FASN
Embryonic stem cell differentiation into cardiac lineages	0.04	NANOG
Ketogenesis	0.04	HMGCS1
Oleate biosynthesis II (animals)	0.04	FADS2
Melavonate pathway I	0.04	HMGCS1
Granzyme B signaling	0.04	BID
Y-linolenate biosynthesis II (animals)	0.04	FADS2
Superpathway of geranylgeranyldiphosphate biosynthesis I (via melavonate)	0.04	HMGCS1
Molecular mechanisms of cancer	0.04	BID, HIF1A
Tumoricidal function of hepatic natural killer cells	0.04	BID
Glutathione redox reactions I	0.04	GPX4
CDP-diacylglycerol biosynthesis I	0.04	GPAT3
Phosphatidylglycerol biosynthesis II (non-plastidic)	0.04	GPAT3
Superpathway of cholesterol biosynthesis	0.04	HMGCS1
Cytotoxic T lymphocyte-mediated apoptosis of target cells	0.04	BID
TWEAK signaling	0.04	BID
Role of PKR in interferon induction and antiviral response	0.04	BID
Stearate biosynthesis I (animals)	0.04	FASN
Role of Oct4 in mammalian embryonic stem cell pluripotency	0.04	NANOG
Triacylglycerol biosynthesis	0.04	GPAT3
TNFR1 signaling	0.04	BID
Docosahexaenoic acid (DHA) signaling	0.04	BID
CD27 signaling in lymphocytes	0.04	BID
Transcriptional regulatory network in embryonic stem cells	0.04	NANOG
Induction of apoptosis by HIV1	0.047	BID
Retinoic acid mediated apoptosis signaling	0.047	BID

817 Ingenuity pathway analysis (IPA) of canonical pathways by Benjamini-Hochberg correction for multiple
 818 testing.

819

820

821

822

823

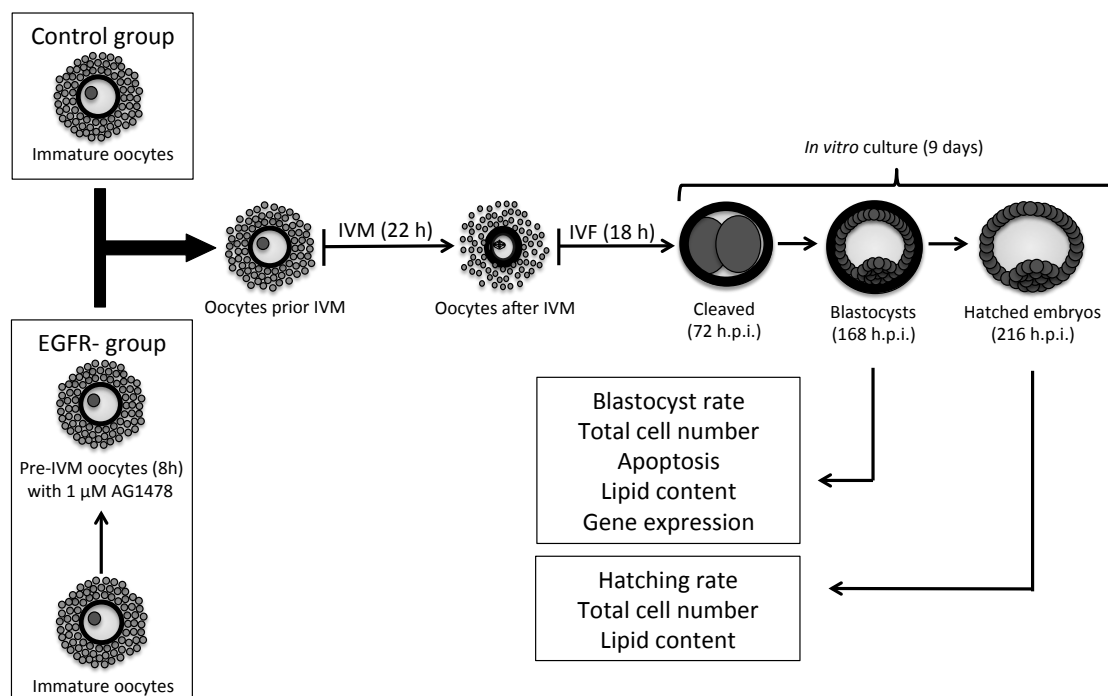
824

825

826

827 **13. Figures**

828



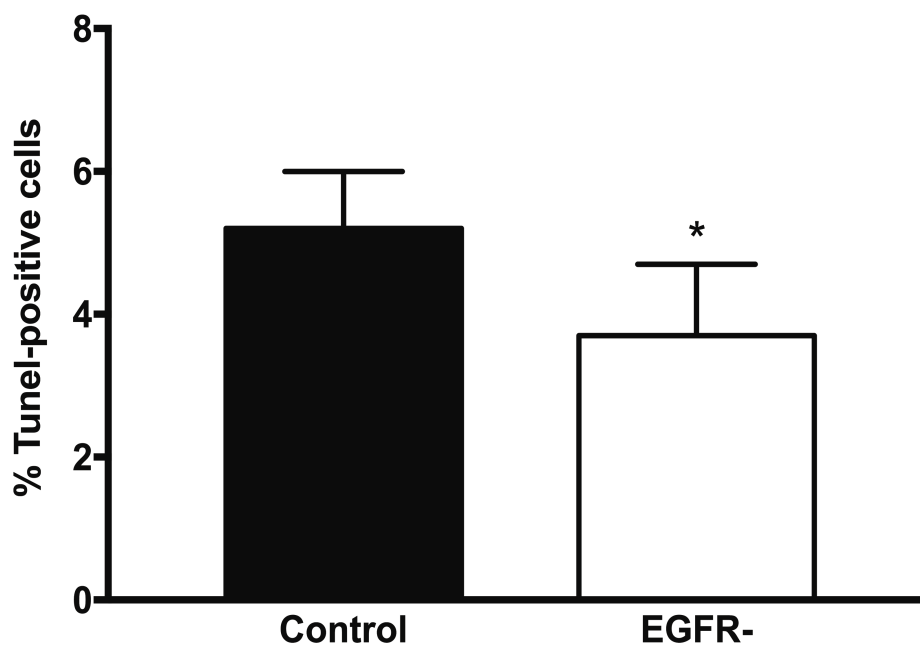
829

830 **Figure 1**

831

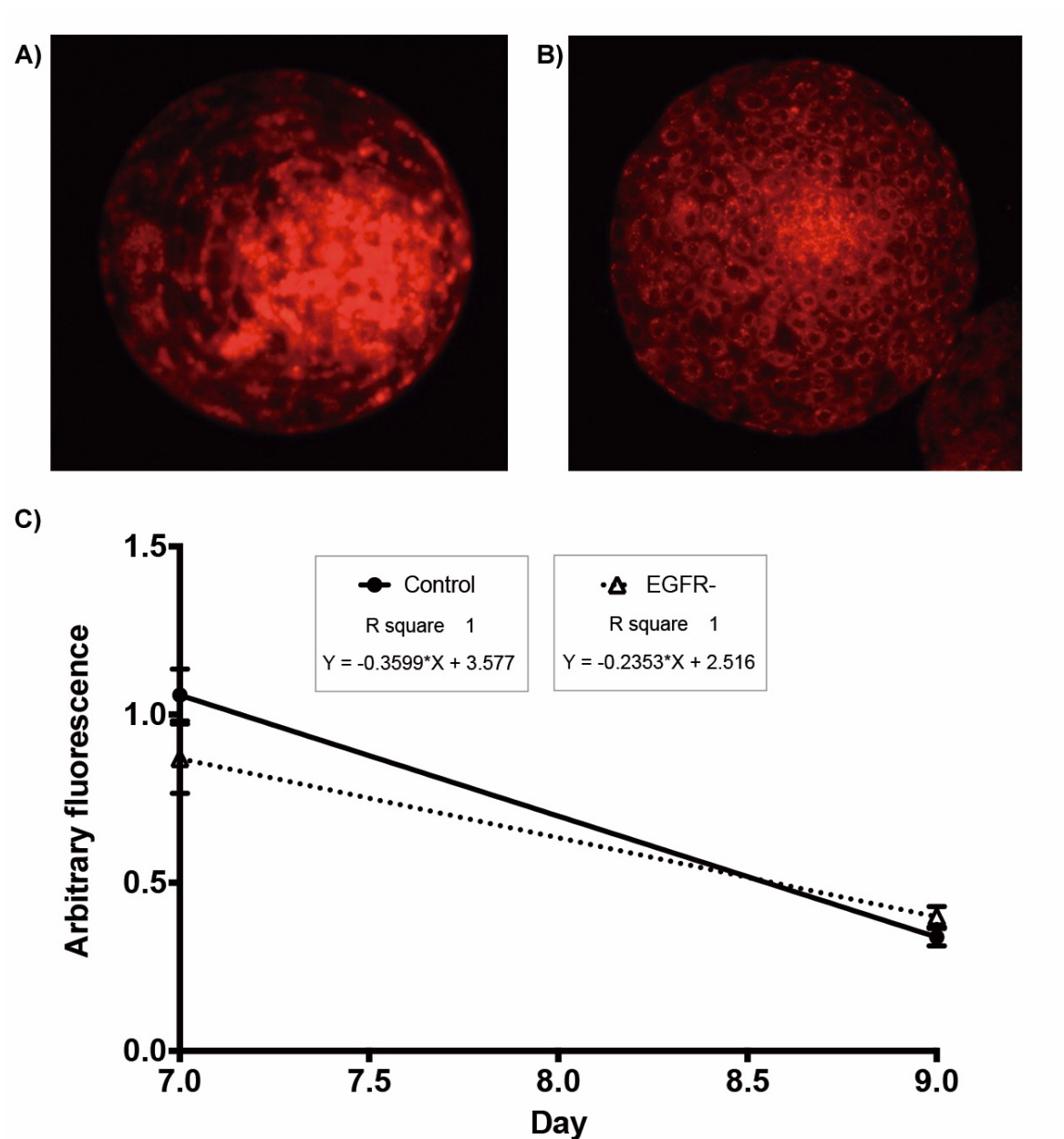
832

833



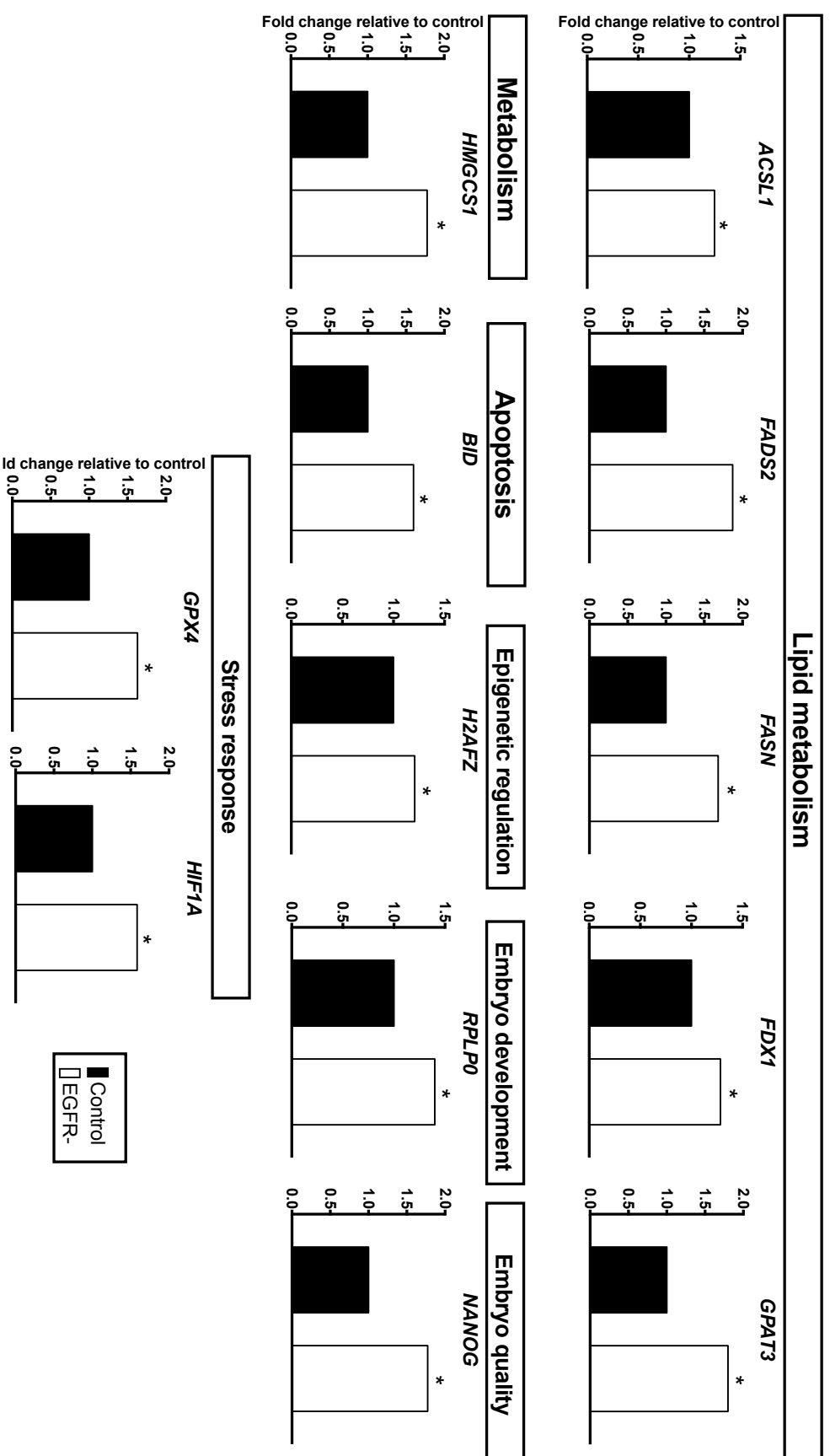
834

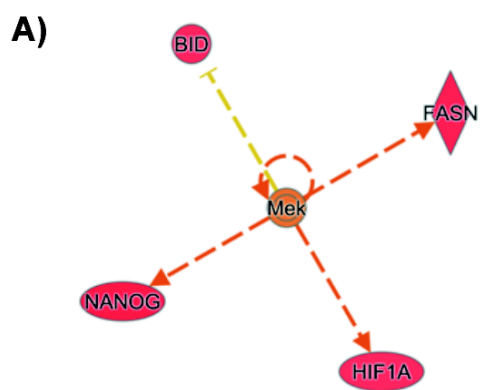
835 Figure 2



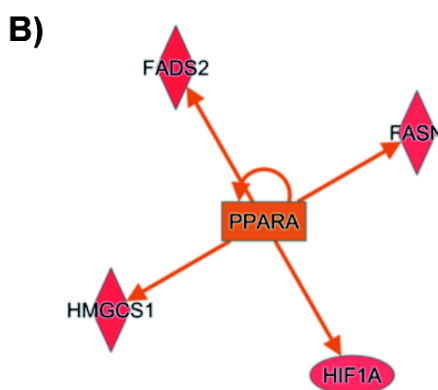
836

837 Figure 3

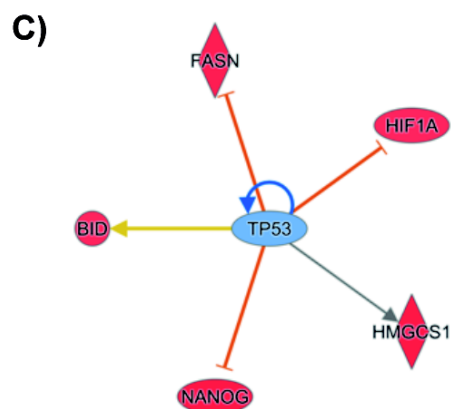




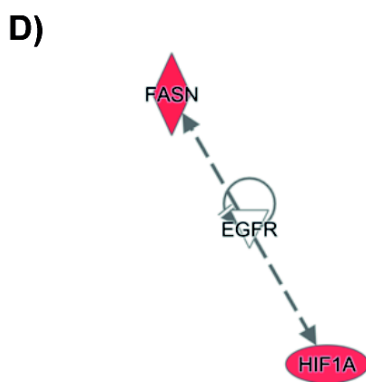
© 2000-2018 QIAGEN. All rights reserved.



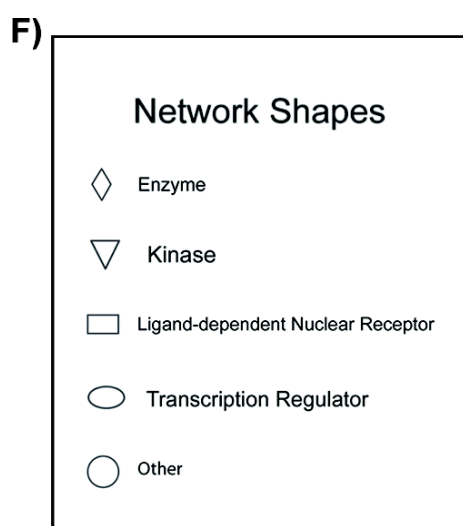
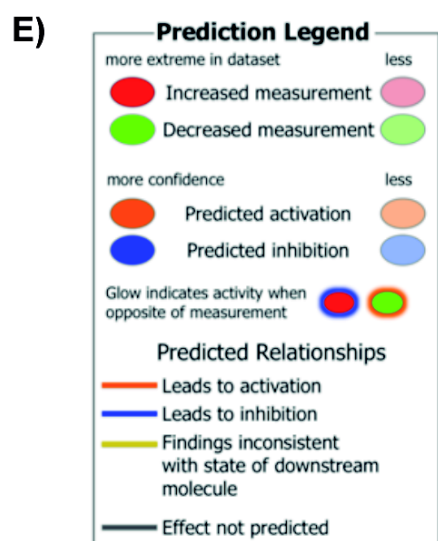
© 2000-2018 QIAGEN. All rights reserved.



© 2000-2018 QIAGEN. All rights reserved.

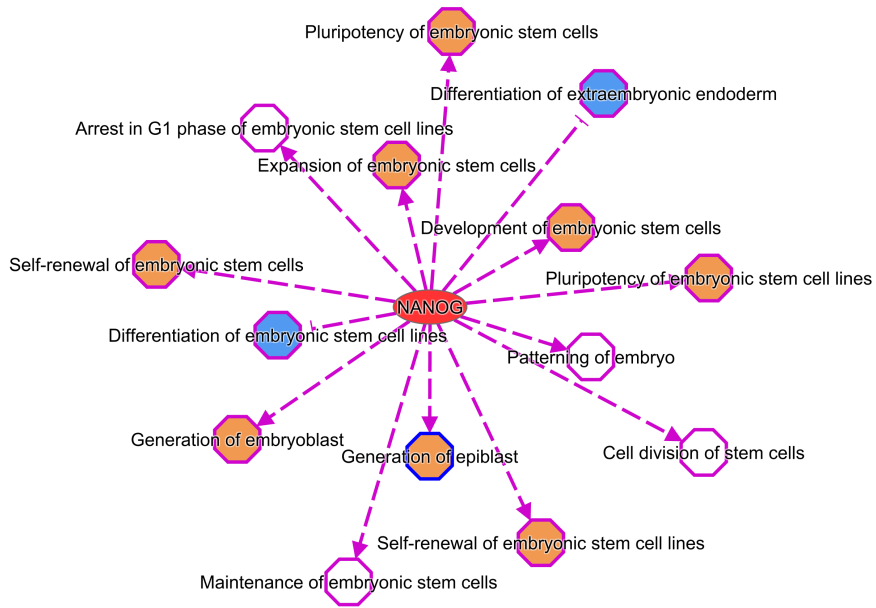


© 2000-2018 QIAGEN. All rights reserved.



840

841 Figure 5



842 © 2000-2018 QIAGEN. All rights reserved.

843 Figure 6

